

10-1995

РАДИО

АУДИО • ВИДЕО • СВЯЗЬ • ЭЛЕКТРОНИКА • КОМПЬЮТЕРЫ

РС КОНТРОЛЛЕР

ПРОГРАММАТОР
ПЗУ ДЛЯ IBM PC



НОВЫЙ МАГАЗИН
РАДИОДЕТАЛЕЙ
В ЦЕНТРЕ М.



АВРИ

1995



ФИРМА "МЭЙ"

Самый широкий выбор электронных компонентов в СНГ.

Любая редкая и дефицитная комплектация. В наличии около 8000 наименований микросхем, транзисторов, а также резисторы, конденсаторы, диоды, СВЧ-компоненты, модули, лампы, кварцевые резонаторы, разъемы, бескорпусная элементная база, около 3600 наименований импортных микросхем и транзисторов. Различные инструменты для радиомонтажников, а также широкий выбор измерительных приборов.

Наличие широких связей с потребителями позволяет оперативно осуществлять деловые контакты.

Обеспечение производственных предприятий различными электронными компонентами, в том числе полная комплектация для обеспечения производственного процесса.

Консультации по гибкому использованию элементной базы с учетом технических и экономических факторов, Рекомендации по применению в конкретных разработках.

Изготовление печатных плат. Разводка, изготовление фотошаблонов, опытных образцов.

Прием заказов с 14 до 18 по телефону (095) 913-5162.

Производственный цех: (095) 127-9714.

Розничная продажа радиоэлектронных компонентов осуществляется в фирменном магазине "КВАРЦ" по адресу: 105023, г. Москва, ул. Буженинова, д. 16. Проезд: ст. метро "Преображенская площадь".

Телефон/факс. (095) 964-0838.

Предлагаем заводам-изготовителям радиоэлектронных изделий и компонентов дилерские услуги по реализации оптовых партий продукции. Решаем вопросы по реализации неликвидов.

За информацией можно обращаться по телефону: (095) 913-5160 и тел./факсу: (095) 460-4033.

Для удобства и быстроты работы подготовьте ваш заказ с указанием точного названия, количества, возможных аналогов и замен и предполагаемой формы оплаты и передайте по факсу: (095) 460-4033.

В максимально короткий срок вы получите ответ с информацией о наличии и действующих ценах (в заказе не забудьте указать ваши координаты).

В телефонных справках будьте коротки вследствие перегруженности телефонных линий.

За информацией можно обращаться по телефонам: (095) 913-5160, 913-5161 и тел./факсу 460-4033.

РАДИО

10-1995

МАССОВЫЙ ЕЖЕМЕСЯЧНЫЙ
РАДИОТЕХНИЧЕСКИЙ ЖУРНАЛ

аудио • видео • связь
электроника • компьютеры

ИЗДАЕТСЯ С 1924 ГОДА

УЧРЕДИТЕЛЬ: РЕДАКЦИЯ
ЖУРНАЛА "РАДИО"

Зарегистрирован Комитетом РФ по
печати 21 марта 1995 г.
Регистрационный № 01331

Главный редактор
А.В. ГОРОХОВСКИЙ

Редакционная коллегия:

И.Т. АКУЛИНИЧЕВ, В.М. БОНДАРЕНКО,
С.А. БИРЮКОВ (отв. секретарь),
А.М. ВАРБАНСКИЙ, А.Я. ГРИФ,
А.С. ЖУРАВЛЕВ, Б.С. ИВАНОВ,
А.А. ИСАЕВ, Н.В. КАЗАНСКИЙ,
Е.А. КАРНАУХОВ, В.И. КОЛОДИН,
А.Н. КОРОТКОШОК, В.Г. МАКОВЕЕВ,
В.В. МИГУЛИН, С.Л. МИШЕНКОВ,
А.Л. МСТИСЛАВСКИЙ,
Б.Г. СТЕПАНОВ (зам. гл. редактора).

Художественный редактор
Г.А. ФЕДОТОВА
Корректор Т.А. ВАСИЛЬЕВА
Компьютерная верстка
Ю. КОВАЛЕВСКОЙ

Адрес редакции: 103045,
Москва, Селиверстов пер., 10

Телефон для справок и группы
работы с письмами — 207-77-28.
Отделы: общей радиотехники —
207-88-18;

аудио, видео, радиоприема
и измерений — 208-83-05;

микропроцессорной техники и тех-
нической консультации — 207-89-00;

оформления — 207-71-69;

группа рекламы и реализации —
208-99-45.

Тел./факс (095) 208-77-13;
208-13-11.

"КВ-журнал" — 208-89-49
ТОО "Символ-Р" — 208-81-79.

Наши платёжные реквизиты: почто-
вый индекс банка — 101000; для ин-
дивидуальных платёльщиков и ор-
ганизаций г. Москвы и области — р/сч.
редакции 400609329 в АКБ "Бизнес"
в Москве, МФО 44583478, уч. 74; для
иногородних организаций-платёль-
щиков — р/сч. 400609329 в АКБ "Биз-
нес", МФО 201791, корр. сч.
478161600 в РКЦ ГУ ЦБ.

Редакция не несет ответственности за
достоверность рекламных объявлений

Подписано к печати 27.09.1995 г.
Формат 60х84/8. Бумага мелованная.
Гарнитуры "Гельветика" и "Прагма-
тика". Печать офсетная. Объем 8,0
печ. л., 4,0 бум. л. Усл. печ. л. 7,4.

В розницу — цена договорная

Отпечатано UPC Consulting LTD
(Vaasa, Finland)

© Радио, 1995 г.

ТЕХНИКА НАШИХ ДНЕЙ

Ю. Кузнецов. СОВРЕМЕННАЯ РАДИОЛОКАЦИЯ

ВЫСТАВКИ

Е. Карнаухов, А. Михайлов "СЕМ'95"

ВИДЕОТЕХНИКА

А. Абрамов. ПОВЫШЕНИЕ КАЧЕСТВА РАБОТЫ ТЕЛЕВИЗОРОВ УПИМЦТ

ЗВУКОТЕХНИКА

А. Демьянов. АКУСТИЧЕСКАЯ СИСТЕМА "VERNA 50-04". А. Хныков. УМЗЧ
С ПЛАВАЮЩИМ ПИТАНИЕМ ОУ (с. 14). М. Наумов. ИНТЕГРАЛЬНЫЙ СТА-
БИЛИЗАТОР В СДП (с. 19). Л. Винокуров. ДОРАБОТКА ПЛЕЙЕРА (с. 20)

РАДИОПРИЕМ

ОБЗОР НАШИХ ПУБЛИКАЦИЙ РАДИОПРИЕМНИКИ

МИКРОПРОЦЕССОРНАЯ ТЕХНИКА

С. Кулешов, Ю. Зауменый. ПРОГРАММАТОР МИКРОСХЕМ ПЗУ. Н. Ши-
хов. ЯЗЫК ФОРТ ДЛЯ "РАДИО-86РК" (с. 25). М. Бун. "SPECTRUM"-СО-
ВМЕСТИМЫЙ КОМПЬЮТЕР (с. 27). Ю. Игнатьев. О ПРОГРАММЕ "СЖА-
ТИЕ" (с. 30)

ИЗМЕРЕНИЯ

В. Жук. ГЕНЕРАТОР СВЧ

"РАДИО" — НАЧИНАЮЩИМ

А. Мохов. УПРАВЛЕНИЕ МОДЕЛЯМИ ПО РАДИО. ПЕРЕДАТЧИК. Д. Мака-
ров. УКВ ПРИЕМНИК В ПАЧКЕ "MARLBORO" (с. 41)

ЭЛЕКТРОНИКА В БЫТУ

Н. Васильев. ГИРЛЯНДОЙ УПРАВЛЯЕТ КОМПЬЮТЕР. Д. Ганженко.
Е. Кабаков, И. Коршун. PIS И ЕГО ПРИМЕНЕНИЕ (с. 47)

ЭЛЕКТРОНИКА ЗА РУЛЕМ

А. Ожegov. АВТОСТОРОХ

ИСТОЧНИКИ ПИТАНИЯ

И. Нецаев. ВАРИАНТ БЛОКА ПИТАНИЯ АНТЕННОГО УСИЛИТЕЛЯ. В. Бор-
зенков. НИЗКОВОЛЬТНЫЙ СТАБИЛИЗАТОР НАПРЯЖЕНИЯ (с. 55)

РАДИОЛЮБИТЕЛЮ-КОНСТРУКТОРУ

А. Трифонов. БЛОК ПОМЕХОЗАЩИТЫ

РАДИОЛЮБИТЕЛЬСКАЯ ТЕХНОЛОГИЯ

М. Еленин. ЭЛЕКТРОННОЕ УСТРОЙСТВО — ЭПОКСИДНЫЙ БРИКЕТ

ЗА РУБЕЖОМ

ИНДИКАТОР НАПРЯЖЕНИЯ СЕТИ

ПУБЛИКУЕТСЯ ПО ПРОСЬБЕ ЧИТАТЕЛЕЙ

ЭЛЕМЕНТЫ РАДИОЭЛЕКТРОНИКИ

СПРАВОЧНЫЙ ЛИСТОК

С. Бирюков. МИКРОСХЕМЫ СЕРИИ KP1554. С. Гвоздев. МИКРОСХЕМА
K174XA34 (с. 62)

РАДИОКУРЬЕР (с. 4). ОБМЕН ОПЫТОМ (с. 18, 49). НА КНИЖНОЙ ПОЛКЕ (с. 55,
58). ДОСКА ОБЪЯВЛЕНИЙ (с. 7, 31—33, 37, 53, 63—66)

НА ПЕРВОЙ СТРАНИЦЕ ОБЛОЖКИ. Интерьер магазина радиодета-
лей "Чип и Дип" (Москва, ул. Гиляровского, 39, метро "Проспект Мира").
О новом магазине читайте на с. 11.

ВНИМАНИЮ НАШИХ ЧИТАТЕЛЕЙ

В редакции (Селиверстов пер., 10, комн. 102) вы можете приобрести
журналы "Радио":

№ 7, 11 и 12 за 1993 г. по цене 2000 руб. за экз. — при пересылке по России и 150
руб. — при покупке в редакции;

С № 1 по № 6 за 1994 г. — соответственно 2800 руб. за экз. и 850 руб.;

С № 7 по № 10 за 1994 г. — соответственно 2800 руб. за экз. и 2000 руб.

№ 2, 4, 5, 6 за 1995 г. — соответственно 6800 руб. за экз. и 5000 руб.;

С № 7 по № 10 за 1995 г. — соответственно 7800 руб. за экз. и 6000 руб.

Внимание! Стоимость пересылки одного экземпляра журнала по странам СНГ
— 7000 руб.

Имеется также в продаже юбилейный сборник "Лучшие конструкции послед-
них лет". Стоимость одного экземпляра с пересылкой по почте 3800 руб. и 1000
руб. — при покупке в редакции.

ДЛЯ КОНТРОЛЯ АВИАЦИОННЫХ ДВИГАТЕЛЕЙ

По сообщениям печати, специалисты американской фирмы "Дженерал электрик" создали первую нашедшую практическое применение в системах контроля авиационных двигателей аналоговую интегральную микросхему на основе специальной керамики — карбида кремния. Датчики с использованием таких микросхем могут выдерживать нагрев до температуры свыше 500 °С, что втрое выше предельной рабочей температуры кремниевых микросхем. В отличие от последних, датчики керамических микросхем не требуют интенсивного охлаждения, которое неизбежно связано с увеличением массы, габаритов систем контроля и дополнительных расходов на их установку и техническое обслуживание.

МИКРОСХЕМЫ ДИНАМИЧЕСКОГО ОЗУ

Южнокорейская компания "Самсунг электроникс" объявила о создании микросхем динамического ЗУ с произвольной выборкой (DRAM) с объемом памяти 256 Мбит. Серийный выпуск новых микросхем намечен на 1997 г.

"ЧЕРНЫЙ ЯЩИК" НА МОРСКИХ СУДАХ

Для повышения безопасности морских перевозок решено устанавливать на судах "черные ящики". Один из вариантов такого устройства, получивший название "Starec", разработан специалистами фирм "Линком" (Норвегия) и JRC (Япония). Установленный на судне "Starec" обеспечивает через спутник надежную связь с соответствующей наземной службой безопасности морских перевозок. Он регулярно передает данные о техническом состоянии корпуса судна, передних и задних заглушечных люков, об уровне воды в трюме, о текущих координатах, скорости и направлении движения. В случае кораблекрушения "черный ящик" всплывает и, оставаясь на плаву, непрерывно передает на наземный пост координаты судна в момент аварии.

"СИГНАЛ 201"

Радиостанция "Сигнал-201" предназначена для организации двусторонней беспроводной симплексной радиосвязи между стационарными или подвижными объектами. В комплект радиостанции входят: приемопередатчик, блок микрофона, выносной громкоговоритель и антенна. Питается "Сигнал-201" от источника постоянного тока напряжением 10,8...15 В.



Основные технические характеристики: диапазон частот — 146...174 МГц; число каналов — 100 с интервалами между соседними каналами — 25 кГц; выходная мощность передатчика — 10 Вт; чувствительность — 0,5 мкВ; селективность по соседнему каналу — не менее 80 дБ; выходная мощность усилителя ЗЧ, работающего на выносной громкоговоритель, — не менее 2 Вт; рабочий интервал температур — +50...-40°С; габариты — 180х180х50 мм; масса — 2 кг.

НОВАЯ ТЕХНОЛОГИЯ ОБРАБОТКИ СИГНАЛОВ

Модем "Дайтапорт-2001" американской компании "Американский телеграф энд телефон" позволяет по обычному телефонному каналу одновременно с разговором передавать факсимильные сообщения, подключаться к компьютерному модему, играть с собеседником в видеоигры. Применяемая в модеме новая технология обработки сигналов "ВойсСпэн" включает в себя аналоговую обработку звукового сигнала и цифровую обработку данных. К недостаткам "ВойсСпэн" следует отнести снижение ско-

рости передачи факсимильных сообщений и данных, когда говорят оба абонента. Ухудшается качество звука во время передачи подобных сообщений.

Новую технологию обработки информации ("ВойсВью") предложила американская компания "Рэди комьюникашн система". В отличие от "ВойсСпэн", в ней используется метод переключения передач, при котором звуковой сигнал передается раздельно от остальной информации.

ПЛАВУЧАЯ ТЕЛЕСТУДИЯ

На десятом Международном рынке кабельного и спутникового телевидения, прошедшем в прошлом году в Каннах, всеобщее внимание прилекло бывшее ледоходное судно "Акуа плюс". Это — первая плавучая телевизионная студия, способная использовать все виды съемок (в том числе с собственных вертолета и двух глубоководных подводных лодок, позволяющих вести съемку на глубинах до 1000 м), а также обработку и передачу изображений. На борту судна водоизмещением 1850 т могут разместиться до 50 человек.

МНОГОКАНАЛЬНАЯ СВЯЗЬ С КОДОВЫМ УПЛОТНЕНИЕМ

Одним из лауреатов Национальной медали США в области техники и технологии за 1994 г. стал руководитель компании "Куалком" И. Джейкобс, разработавший так называемую технологию многоканальной связи с кодовым уплотнением. Она обеспечивает увеличение пропускной способности существующих спотовых систем в 10...20 раз и легкий переход от аналоговых систем к цифровым. Использование новой технологии позволяет телефонизировать обширные районы в кратчайшие сроки. При этом нет необходимости прокладывать дорогостоящие кабельные линии, создавать сложную телефонную инфраструктуру, нужно только установить в районе одну базовую и смонтировать одну базовую станцию.

"СУРА-АВТО"

"Сура-Авто" — это набор деталей, из которых можно собрать автомобильный радиоприемник, позволяющий принимать передачи радиовещательных станций в диапазоне ультракоротких волн (65,8...74,0 МГц). В набор входят: радиоприемное устройство (собранное и настроенное), громкоговоритель, комплект деталей для сборки верньерного устройства, шкала с рамкой; ручки управления, крепежные детали. Питается собранный приемник напряжением 14,4 В.

Основные технические характеристики: реальная чувствительность при отношении сигнал/шум 26 дБ — не менее 4 мкВ; селективность по вертикальному каналу — не менее 40 дБ; номинальная выходная мощность — не менее 2 Вт; ток, потребляемый от борто-



вой сети автомобиля, — 0,3 А; габариты радиоприемного устройства — 200х120х40 мм, громкоговорителя — 186х184х114 мм; масса соответственно — 0,8 и 1,1 кг.

"ЭЛЕКТРОННЫЙ ЗАМОК" В ТЕЛЕВИЗОРЕ

Современные телевизионные приемники некоторых зарубежных фирм снабжаются "электронным замком". Такое устройство позволяет блокировать все функции управления телевизором. Это требуется для того, чтобы предотвратить его включение и нарушение установки органов управления в меру расшалившимися малышами или посторонним человеком, не сведущим в обращении с аппаратом.

Включение телевизора с электронным замком производится с пульта ДУ специальным набором секретного кода, который известен только взрослым членам семьи.

СОВРЕМЕННАЯ РАДИОЛОКАЦИЯ

Ю. КУЗНЕЦОВ, генеральный конструктор ВНИИРТ

Давно известная радиолокация ныне предстает перед нами совершенно в новом свете, если даже в общих чертах познаться с ее последними достижениями. Современному ее состоянию, перспективам и посвящена публикуемая обзорная статья.

В наше время радиолокация получила широчайшее применение. Ее методы и средства используются для обнаружения объектов и контроля обстановки в воздушном, космическом, наземном и подводном пространствах. Современная техника позволяет с большой точностью измерять координаты положения самолета или ракеты, следить за их движением, определять ее телескопические размеры, но и структуру их поверхности. Радиолокационные методы открывают возможность изучать недра Земли и даже внутренние неоднородности поверхностных слоев на других планетах. Но если говорить о чисто «земных делах» — гражданском и военном применении радиолокации, то ее методы незаменимы, например, в организации управления воздушным движением, наведении, распознавании объектов, определении их принадлежности.

В зависимости от конкретного назначения современные радиолокационные станции (РЛС) имеют характерные особенности. Из всего их разнообразия значительную долю составляет РЛС обнаружения. Связано это с тем, что радиолокационный метод обнаружения является основным как на Земле, в воздухе, на море, так и в космосе.

С помощью радиолокации производится так называемая простейшая селекция — обнаружение объекта по отраженному сигналу, временная селекция, когда по задержке возвращения отраженного сигнала устанавливается дальность до цели. Существует еще понятие частотной селекции, позволяющая отслеживать по изменению частотного спектра сигнала радиальную скорость наблюдаемого объекта.

Современные РЛС, как правило, трехкоординатные. Они определяют дальность, угол места и азимут. При этом применяются антенны, имеющие узкие диаграммы направленности в вертикальной и горизонтальной плоскостях. Чтобы обеспечить заданные точности определения угловых координат и на увеличивать время обзора, применяется метод параллельно-последовательного обзора пространства, когда одновременно используется несколько лучей, а зона переключается последовательным перемещением этих лучей, что позволяет сократить количество приемных каналов.

Каким же образом можно избежать мешающих отражений в атмосфере? Здесь, в арсенале радиолокации, — режим селекции по частоте. Его суть состоит в том, что движущийся относительно РЛС объект отражает сигнал со сдвигом по частоте (эффект Доплера). Если этот сдвиг составляет даже всего 10^{-4} от значенной несущей частоты, то современные методы обработки выделяют разницу и радиолокатор «видит» цель. Это обес-

печивается благодаря поддержанию необходимого стабильности сигнала или, как говорят специалисты радиолокации, сохранению их когерентности.

Это важно, например, потому, что объекты, вызывающие мешающие отражения, часто не являются неподвижными (раскачиваются деревья, наблюдается волнение по водной поверхности, перемещаются облака и т. п.). Такие отраженные сигналы также имеют сдвиг по частоте. Чтобы расширить возможности РЛС, применяют различные режимы работы станций и их сочетания. При амплитудном режиме удается добиться большей дальности действия РЛС и определять цели, движущиеся с нулевой радиальной скоростью. Такой метод обычно используется для обзора в дальней зоне, где нет мешающих отражений. Когерентный режим применяют в ближней зоне обзора, где много мешающих отражений.

Для снижения пиковой мощности передатчиков РЛС используют сложные сигналы, которые обеспечивают достаточную точность и разрешающую способность. При этом приходится усложнять аппаратуру. Однако в данном случае компромисс вполне оправдан, так как позволяет обеспечить требуемую дальность обнаружения и не иметь высокого значения пиковой мощности.

Во многих современных РЛС используются фазированные антенные решетки (ФАР), в том числе активного типа, в каждую ячейку которых встроены свой передатчик и входные цепи приемника. Это, конечно, усложняет конструкцию станции и ее обслуживание, однако позволяет снизить потери при передаче и приеме, повысить эффективность работы станции в сложной обстановке, в том числе в условиях искусственных помех. Вместе с тем включение в ФАР приемных передатчиков — один из важных способов повышения надежности РЛС. Даже при выходе из строя нескольких моду-

лей передатчиков и приемников РЛС продолжает работать.

Неправильным качеством современных РЛС является сохранение в течение достаточно длительного времени и в разных погодных условиях стабильности функционирования приемной аппаратуры. Такую задачу помогло решить внедрение в радиолокацию устройств цифровой обработки сигналов.

Важным требованием к современным РЛС обнаружения является их мобильность. Они рассчитаны на движение своим ходом по различным дорогам. На их свертывание и развертывание уходит от 5 до 15 минут. Здесь конструкторам пришлось пойти на резкое ограничение массы и габаритов РЛС. Решить эту задачу во многом удалось без ухудшения основных параметров по дальности, точности, зоне обзора, темпу обзора и т. д.

Как выглядит современная радиолокационная станция обнаружения? Одним из ее главных элементов стала фазированная антенная решетка (рис. 1). Она вращается и формирует обычно несколько лучей на прием и один луч на передачу. Приемлемые сигналы усиливаются, а затем преобразуются в цифровую форму. Дальнейшая обработка информации идет в цифровом виде с помощью элементов вычислительной техники. РЛС фактически в автоматическом режиме обнаруживает цели, измеряет координаты, определяет параметры траектории движения.

Оператор почти полностью освобожден от рутинной работы. Его функции состоят в том, чтобы в необходимых случаях выбрать требуемый режим работы РЛС, т. е. помочь в ее адаптации к обстановке и поддерживать работоспособность РЛС.

Несмотря на общие закономерности построения радиолокационных станций по своему назначению, они весьма разнообразны. Например, современные РЛС обнаружения бывают большой, средней, малой дальности; двух- и трехкоординатные; мобильные, подвижные, стационарные и, наконец, для обнаружения на малых и на больших высотах.

Что вкладывают создатели радиолокационных систем в понятие «современная РЛС»? Во многом оно оценивается критерием «эффективность-стоимость» и может быть выражено отношением, в числителе которого — обобщенные тактико-технические характеристики станции, а в знаменателе — ее стоимость. При такой оценке усовершенствованные РЛС будут иметь невысокий показатель за счет малого числителя, а перусложненные — невысокий показатель за счет большого знаменателя. Оптимальное отношение для современных РЛС соответствует определенной совокупности примененных при ее создании научно-технических достижений, которые позволяют повысить ее возможности, при этом достигая, технологически основных в производстве и поэтому приемлемых в экономическом плане. И наконец, понятие «современная РЛС» еще совсем несомненно означает, что она имеет по всем параметрам лучшие показатели, достигнутые мировой радиолокационной техникой. В каждую конструкцию станции должен включаться такой набор технических нововведений, который наилучшим образом позволил бы ей обеспечить требуемую совокупность характеристик.

Вместе с тем необходимо подчеркнуть, что при функциональной схожести и многоотраслевом характере современных РЛС они, как правило, значительно отличаются друг от друга. В РЛС обнаружения, в зависимости от их назначения, применяются антенны от единиц до со-



Рис. 1. Мобильная РЛС кругового обзора с фазированной антенной решеткой

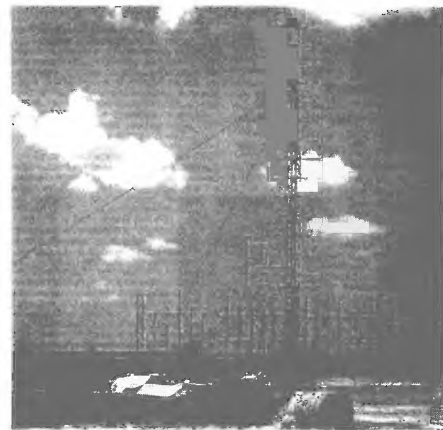


Рис. 2. Трехкоординатная РЛС кругового обзора метрового диапазона

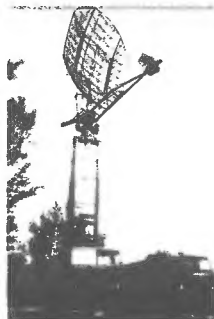


Рис. 3. Мобильная автоматизированная РЛС обнаружения низколетящих целей

тен квадратных метров, средняя излучаемая мощность составляет от сотен ватт до единиц мегаватт.

Естественно, проблемы совершенствования радиолокационных систем сегодня решаются на базе последних достижений механики, электромеханики, энергетики, радиоэлектроники, вычислительной техники и т. д. Все это говорит о

том, что создание современных РЛС является сложной научно-технической и инженерной задачей.

Среди радиолокационной техники, которая появилась в последнее время, особенно выделяются своей надежностью и высокими функциональными характеристиками радиолокаторы военного назначения. К ним можно отнести РЛС для обнаружения средств нападения, выполненной по так называемой технологии "Стелс" ("Невидимка"). Нападение осуществляется на фоне искусственных активных и пассивных помех радиолокационному обнаружению. При этом атаке подвергается и сама РЛС: по сигналам, которые она излучает, на нее наводятся противорадиолокационные ракеты (ПРР). Естественно поэтому, что радиолокационный комплекс, решающий свои основные боевые задачи, должен иметь и средства защиты от ПРР.

Отечественная радиолокация добилась заметных успехов. Ряд созданных в России радиолокационных систем является нашим национальным достоянием и находится на уровне мировых. К их числу вполне можно отнести РЛС метрового диапазона волн, в том числе трехкоординатные станции.

Очевидно, более подробно стоит познакомиться с возможностями одной из новых наших трехкоординатных станций кругового обзора, работающей в метровом диапазоне (рис. 2). Она выдает информацию о местонахождении объекта в виде трех координат: по азимуту — 360°, по дальности на расстоянии до 1200 км и по высоте — до 75 км.

Преимущества таких станций, с одной стороны, — неуязвимость для снарядов самонаведения и противолокационных

ракет, обычно использующих более коротковолновые диапазоны, а с другой — способность обнаруживать самолеты "Невидимки". Ведь одна из причин "невидимости" этих объектов — их специальная форма, имеющая малое обратное отражение. В метровом диапазоне эта причина исчезает, так как размеры самолета сравнимы с длиной волны и его форма уже не играет решающей роли. Невозможно также, не ухудшая аэродинамику, покрыть самолет достаточным слоем радиопоглощающего материала. Несмотря на то что для работы в этом диапазоне требуются антенны больших габаритов, что станции имеют некоторые другие недостатки, указанные преимуществами РЛС метрового диапазона предопределили их развитие и растущий интерес к ним во всем мире.

Несомненным достижением отечественной радиолокации можно назвать работающие в дециметровом диапазоне волн РЛС для обнаружения целей, летящих на малых высотах (рис. 3). Такая станция на фоне интенсивных отражений от местных предметов и метеообразований способна обнаружить цели на малых и предельно малых высотах и сопровождать вертолеты, самолеты, дистанционно пилотируемые аппараты, крылатые ракеты. В автоматическом режиме она определяет дальность, азимут, эшелон высоты и трассу. Вся информация может быть передана по радиоканалу на расстояние до 50 км. Характерной особенностью станций, о которых идет речь, является их высокая мобильность (малое время развертывания и свертывания) и возможность простым способом подъема антенн на высоту 50 м, т. е. над любой растительностью.

Эти и подобные им РЛС по многим своим характеристикам на имеют аналогов в мире.

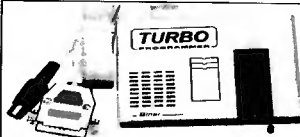
Читатель журнала "Радио", наверное, интересуется, в каком направлении идет развитие РЛС, какими они будут в ближайшем будущем? Прогнозируется, что будут создаваться, как и прежде, станции самого разного назначения и уровня сложности. Наиболее сложными будут трехкоординатные РЛС. Их общими чертами останутся принципы, заложенные в современных трехкоординатных системах кругового (или секторного) обзора. Главными их функциональными частями станут активные твердотельные (полупроводниковые) фазированные антенные решетки. Уже в ФАР осуществляется преобразование сигнала в цифровую форму.

Особое место в РЛС займет вычислительный комплекс. Он возьмет на себя все основные функции работы станции: обнаружение целей, определение их координат, а также управление станцией, включая ее адаптацию к помеховой обстановке, контроль за параметрами станции, проведение ее диагностики.

И это не все. Вычислительный комплекс обобщит полученные данные, установит связь с потребителем и передаст ему полную информацию в готовом виде.

Сегодняшние достижения науки и техники позволяют прогнозировать именно такой облик РЛС ближайшего будущего. Однако считается сомнительной возможность создания универсального локатора, способного решать все задачи обнаружения. Акцент делается на комплексы разных РЛС, объединенных в систему обнаружения.

При этом получат развитие нетрадиционные построения систем — многоопозиционные радиолокационные комплексы, в том числе пассивные и активно-пассивные, скрытые от разведки.



Программатор "ТУРБО"

Универсальность, надежность, компактность.

Алгоритмы - NORMAL, INTEL, QUICK, USER, автоматическая записи/считывание "ПЛАВАЮЩИХ БИТ" (для защиты программ) Vpp - 5.0; 10.5; 12.5; 14.5; 16.5; 19; 21; 23; 25 В. Vcc - 5.0; 6.0 В. Скорость считывания информации 4 Кбайт/сек. (Считывание микросхемы 27256 - 7сек, программирование - 30сек)

Подключается к PC XT/AT/286/386/486/PENTIUM/NOTEBOOK - через любой порт LPT. Порт определяется автоматически.

Размеры 14х10х2см. Вес 200г. Комплектующие - импортные, панелька с нулевым усилением, контакты позолоченные.

Защита от перегрузок, диагностический тест, проверка разъемов на контакт, контроль установки микросхемы (неправильная установка микросхемы не приведет к сжиганию ее из строя).

ПО: дружелюбный оконный интерфейс (более 100 экран), язык английский/русский, демонстрационный режим, поддержка "мышь", сохранение конфигурации, возможность программно изменить порядок расположения адресов и данных, проверка на дозвиги, подсчет контрольной суммы, редактор буфера, графический редактор знакогенератора (матрицы 8 - 48 точек), автоматическая русификация ПЗУ видеоадаптеров и многое другое.

Программатор "ТУРБО" разработан и выпускается фирмой "БИНАР" с 1990г. Режимы работы программатора задаются программно, что позволяет расширять его возможности, вводить в программу новые микросхемы и алгоритмы (20 микросхем за последний год). Обновление версий, консультации - бесплатно.

Комплект поставки:
1 Программатор "ТУРБО". 2. Адаптеры (по желанию Заказчика).
3 Блок питания. 4. Дискета с программным обеспечением, прошивками для русификации принтеров (27 шт.) и справочной информацией по микросхемам 5 Пластиковый футляр.

Программирует микросхемы:
EPROM 2516, 2532, 2564, 2716, 2732, 2764, 27128, 27256, 27512, 27513, 27011, 27100, 27010, 27020, 27020, 27040, 27080 (K573PФ2/PФ4/PФ4Б/PФ5Б/PФ7/PФ8, K1626PФ1)

Программирует и стирает микросхемы:
EEPROM 2804/16/17A/64/256, 48016, 52864 (K16111PФ2, K573PФ2/PФ3, KM558PФ2/PФ3/PФ4, KM1609PФ1/PФ2/PФ3); FLASH 28F256, 28F512, 28F010, 28F020, 28F001BX-T/B.

Считывает мачские микросхемы:
2316 - 238000 (KA1603PЕ1, KP1610PЕ1).

Тестирует STATIC RAM-микросхемы:
6116, 6264, 62256, 621000, 622000 (K53/PV8/PV10/PV17)

Дополнительно через адаптеры программируются:
1. Микросхем контроллеры 8741/42/44/48/49/50/51/52/53/54/58, 89C51/52(FLASH 512B) (KM1816BE48/51, KM1830BE48/51/53). ПЗУ до 64КБ, 3 бита защиты, шифр таблицы 16/32/54/128 байт;
2. Микронтол. PIC16C61/62/63/620/621/622/64/65/71/73/74/84; SEEPROM 2401/02/04/08/16/32/65, 8572/82/92, 9306/46/56/66;
3. EPROM 27102/27102/274096, 271192, 271616 (16 разр.);
4. 8755 (K573PФ10 Порт и EPROM 2 Кбайта);
5. 2920 (KM1813BE1 Процессор обработки сигналов).
(Адаптерами комплектуется по желанию Заказчика)

Гарантия 24 месяца. Фирма "БИНАР" Телефон в Москве: (095) 323-68-48.

ЦЕНТР АЦП фирмы "Руднев-Шилев"

Предлагает устройства сбора, обработки и ввода в ПЭВМ типа IBM PC/XT/AT/EISA аналоговой и цифровой информации:

	ПА-И24	ПА-70	ПА-20	ПА-8	ПА-3	ПА-2	ПА-2105	ПА-25	ПА-110	ПА-320
Интерфейс с компьютером	ISA-B	ISA-8	ISA-16	ISA16	ISA16	ISA16	ISA-8	ISA-16	ISA-16	ISA-16
Количество каналов	2/4/8 дифф.	16 одн. 8 дифф.	8 одн. 4 дифф.	16 одн.	16 одн. 8 дифф.	16 одн. 8 дифф.	16 одн. 8 дифф.	2 синхрон. одн.	2 синхрон. одн.	1/2/4/8 синхрон.
Время преобразования	20 мс	70 мкс	10 мкс	6 мкс	3 мкс	2 мкс	3 мкс	25 нс	10 нс	от 3 мкс до 100нс
Разрядность АЦП	24	12	16	12	12	12	12	10	6	12-14
Входной диапазон АЦП	+/- 2.5	+/- 5	+/- 5	0-4 В +/- 2.5	+/- 5	+/- 5	+/- 5...10	+/- 1	от 0 до 2В +/- 1	+/- 5
Коэффициент усиления	1; 2; 4; ... 84; 128	1; 2; 5; 10	1; 10	пользов.	1; 2; ... 16 10; ... 160	1; 10; 100	1; 2; 4; 8; 16 10; 20; ... 160	1	1; 10	1
Цифровые линии ввода/вывода	1/2/3 вв	16 вв/выв	-	-	6/6	8/6	8/6	4 вв	-	-
Счетчик/таймер	-	-	2	1	3	3	3	-	-	2
Особенности	80C31	дешевое	400 В гальв.р.	4 кВ гальв.р.	точная	дешевое	Встроенная функция БПФ	256К x 24 ОЗУ	32К x 16 ОЗУ	ЦОС
Габариты	100x247	100x180	103x180	100x270	100x270	106x170	98x222	106x176	106x186	106x230
Цена	257	95	565	210	280	175	320	999	677	1458

Доп. устройства: ЦАП и цифровые линии ввода/вывода, в том числе, с гальванической развязкой; таймеры; удлинители и слоты расширения PC BOX; преусилители и фильтры; мультиплексоры и многое другое. Приборы на основе компьютеров: для энергетиков (многоканальные счетчики); комплексы для хромотаграфии; цифровые запоминающие осциллографы ЦЗО; спектральные анализаторы; для АСУ ТП, модули УСО. Телефон: (7-095)203-4967, факс: (7-095)203-8414. Наш адрес: 103907, ГСП-3 Москва, ул. Моховая, д.11, ИРЭ РАН, АОЗТ "Руднев-Шилев".

CEM'95

Е. КАРНАУХОВ, А. МИХАЙЛОВ, г. Москва

Продолжая обзор, начатый в предыдущем номере, следует сказать, что видеотехника на выставке бытовой электроники Consumer Electronics, Moscow в этом году была представлена очень широко. Среди фирм, демонстрировавших свои новейшие разработки, прежде всего нужно назвать PHILIPS, GRUNDIG, SONY, JVC, MITSUBISHI, SAMSUNG, SHARP, DAEWOO, GoldStar, HITACHI, BLAUPUNKT, FUNAI, SOKIA, Roadstar, AKAI, SANYO, AIWA. Показали свои изделия и менее знакомые в нашей стране фирмы SUPRA, ONWA, ELEKTA, OTAKE, NOVA, TENSAT и др. Рассказать подробно о всех моделях видеоаппаратуры в небольшой статье невозможно, поэтому остановимся лишь на некоторых наиболее интересных, на наш взгляд, новинках.

На выставке многих посетителей привлекали модели цветных телевизоров южнокорейских фирм SAMSUNG и GoldStar. Мы уже привели к предостережениям некоторых "затюкано", считающих, что телевизоры "бренды". Однако общеизвестно, что при соблюдении элементарных правил пользования никакие цвета телевизоров не оказывают. Но вот появились модели, в которых можно с уверенностью сказать, что они приносят пользу здоровью зрителей. Это прежде всего — биотелевизоры фирмы SAMSUNG.

Давно замечено, что рассеянное инфракрасное излучение длинноволновой части спектра, невидимое человеческим глазом, благотворно влияет на все живое вокруг. После почти трех лет исследования фирмы SAMSUNG создала кинескопы с биокерамическим покрытием экрана из натуральных компонентов, которое и генерирует рассеянное инфракрасное излучение. К тому же, его уровень растет пропорционально увеличению температуры. Стремление, стоящее за разработкой биотелевизора — экологически улучшить жизнь людей, обеспечить достаточный уровень рассеянного инфракрасного лучей зрителя, которые живут далекие от природы.

К биотелевизорам относятся модели CS-727WPR/CS-627WPR, CS-727WPR, CS-727WPR/CK-627WPR с диагональю экрана 72/63 см и CK-5342A/ATB с диагональю 54 см. Кроме оздоровительной функции, эти цветные телевизоры обеспечивают превосходное качество изображения и звука за счет применения ультраплоских или плоских прямоугольных кинескопов с темным экраном и систем улучшения качества, а также других сервисных функций.

Давно известно, что отрицательные аэроионы в окружающей среде, называемые в научном мире "воздушными витаминами", благотворно влияют на человеческий (и не только) организм. Уже несколько лет в нашей стране выпускают так называемую "листу" Чокеевского, насыщающую воздух в помещении, в котором она находится, отрицательными ионами. И вот фирма GoldStar, кстати, сменявшая свое название в марте этого года на "LG Electronics Inc", начала производство телевизоров, которые также заряжают воздух теми же ионами. Теперь можно смотреть телевизор в приятной окружающей среде, снимающей стресс и усталость. Такая способность телевизора названа "зеленой" функцией. Его обладатели модели CF-

29C44TM и CF-25C44TM, а также могут быть доработаны телевизоры CF-29C80TM, CF-25C80TM, CF-29C80TM. Все модели, кроме последней, имеют суперплоский прямоугольный цветной кинескоп (у последней — плоский прямоугольный) с черным покрытием и маской из инвара, черной матрицей и темным стеклом. Эти телевизоры обеспечивают высочайшее качество изображения и звук.

Широко представляла свою продукцию на CEM'95 японская фирма HITACHI. Не заметит проиводимые ею телевизоры различного класса было невозможно. Их экраны воспроизводили во множестве великолепные разнообразные изображения, дополняемые превосходным звучанием. Они были оборудованы либо суперчерными плоскими прямоугольными широкоформатными кинескопами, либо кинескопами с плоскими квадратными экранами. Высокое качество изображения в широкоформатных телевизорах CMT4298BS, CMT3398, CMT2908 обеспечивалось вновь разработанной микроскопической техникой искусственного интеллекта. К ним относится и модель CF2984TA, в которой, кроме того, система Dolby Surround Pro Logic создает высочайшее стереозвучание.

Открытым выбор моделей телевизоров на кинескопах технологии Trinitron представляла известнейшая японская фирма SONY. Разработавшая эту концепцию кинескопа Black Trinitron, на которой следует остановиться подробнее, позволила ошутимо повысить качество изображения. Оно проявляется в более ярких цветах, повышенной четкости и отсутствии искажений даже в угловых зонах экрана. Это удалось достичь благодаря применению трех новых конструктивных решений: специально спроектированной телевизионной трубки с люминоновым слоем тринитрон, прецизионной электронной пушки и характерной для всех тринитронов целевой струнной маски.

Тринитроны выполнены из затемненного стекла, поэтому цвета кажутся более интенсивными. Кроме того, происходит поглощение большей части света от других источников. Отличительной чертой тринитрона можно также назвать цилиндрическую форму поверхности экрана в отличие от сферической ранее выпускавшихся трубок. В результате получается очень малая кривизна в горизонтальной плоскости и полное отсутствие ее в вертикальной. Именно поэтому падающий на экран проекционный свет отражается не в глаза зрителю, а под ног, что избавляет от раздражающих бликов.

В тринитронах применена специальная электронная пушка, в которой вместо трех используется одна фокусирующая система сразу для трех лучей. Ориентация и положение электронных пушек обеспечивается компьютерной настройкой, благодаря чему гарантируется одинаковое расстояние между ними и основной фокусирующей системой. Это позволило существенно уменьшить размер скеняющей электронной пушки и одновременно повысить разрешающую способность.

Непосредственно перед люминоновым слоем, нанесенным с внутренней стороны экрана, в тринитронах находится струнная целевая маска, имеющая прочный стальной каркас, обеспечивающий постоянство ее формы. При изготовлении маски тринитронов применена так называемая сверх-

плотная технология, что привело к увеличению числа люминоформных пятен, образующих электронными пучками и образующих изображение, и позволило достигнуть значительно более высокого разрешения по всему экрану.

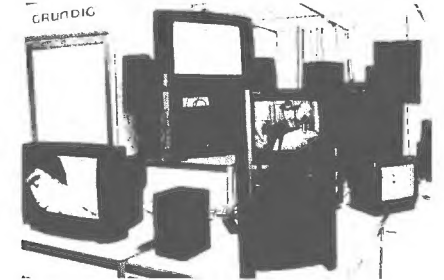
Дальнейшее усиление разработчиков фирмы SONY привели к созданию кинескопа HiBlack Trinitron, в котором экран сделан еще более темным. В результате удалось повысить контрастность изображения еще на 30%. А в кинескопах Super Trinitron получен почти совершенно плоский экран, который в сочетании с электронной пушкой Super Pan Focus, значительно снижающей диаметр пятна, привел к повышению геометрической точности и яркости изображения. Поскольку супертринитрон имеет еще более темное покрытие, в нем достигнута повышенная контрастности на 70% по сравнению с блэктринитронами.

В телевизорах фирмы SONY используются также комбинационные цифровые гребенчатые фильтры (технология Trinitron Plus), устраняющие муары и неустойчивость цветовой переходов, а также улучшающие четкость воспроизведения мелких деталей, повышая частоту смены кадров до 100 Гц при цифровой обработке сигнала Digital Plus, что позволило ликвидировать мерцание, особенно заметное на протяженных участках одного цвета и на ярких частях изображения, а также избавиться от дрожания горизонтальных линий. Для получения высокого качества звука в телевизорах фирмы SONY применяется система обработки сигнала Dolby Surround Pro Logic и акустическая система Full Spectrum Sound.

Фирма SONY выпускает много телевизоров (KV) на кинескопах Trinitron серий S, E, A, X, M, V с размером диагонали экрана от 34 до 86 см и набором самых различных функций. К ним относятся и еще две модели KP-54613 и KV-W2813, обеспечивающие качество изображения и звука, как в кинескопах. Первая модель — трехтрубная проекционная система с глубиной не более 51 см при размере изображения до 117 см по диагонали. В ней применена технология Fine-Pitch для получения высокой четкости. Вторая модель — широкоэкранный телевизор с форматом 16:9 на кинескопе супертринитрон с системой 100 Hz-Digital-Plus-Technology. Кроме последней, в нем применен цифровой гребенчатый фильтр и цифровое подавление шумов, цифровой процессор Surround и другие оснащения.

Голландская компания PHILIPS известна во всем мире. На выставке ее представлял официальный дистрибьютор РОСИНТЕХ. И, конечно, голландской коллекцией по-прежнему была телевизионная система Matchline. Телевизоры этой серии по итогам прошлого года признаны лучшими европейскими телевизорами 1994—1995 гг. В них вместе с технологией цифрового сканирования с частотой 100 Гц фирма применяла устройство Crystal Clear, представляющее собой сочетание новшества, обеспечивающих ошутимое улучшение четкости мелких деталей изображения, повышения его яркости и контрастности. Телевизоры этой системы выпускают с широким панорамным экраном Wide Screen (кинескоп Black Line), а абсолютно плоскими наноэкранными гигантскими экранами (117 см) Super Wide Screen и Superscreen, а также с новейшими кинескопами Superflat Black Line-S. В последнем обеспечены расширенная зона обзора, ослабленное отражение, фокусировка по всему экрану.

В телевизорах Matchline применены режимы AI Picture, Smart Picture и Smart Sound. Первый из них представляет собой устройство искусственного интеллекта.



подстраивающее чистоту изображения под просматриваемую программу. Второй позволяет подобрать цветовую гамму изображения по вкусу, заложить в память телевизора наиболее предпочтительные соотношения цветности, яркости, контрастности и четкости. Третий предоставляет выбор из трех звуковых режимов: речь, музыка и театр. Предпочтительный режим, включая настройку по низким и высоким частотам, также программируемую.

Нельзя было пройти мимо стенда германской фирмы GRUNDIG. Среди представленных ею изделий (см. фото) выделялась модель ETZ-911TOP (на фото сверху), имеющая оригинальный дизайн, разработанный Ф. А. Порше. Ее великолепный внешний вид соответствует высококачественному внутреннему оснащению. В этом телевизоре собрано все лучшее, начиная с суперглюского кинескопа Metatron для сверхчеткого изображения и включая удобную настройку телевизионных каналов с автоматическим запоминанием системой ATS euro plus, а также великолепное звучание трехполосной акустической системы со встроенным усилителем.

Цветной переносный телевизор Steeler (на переднем плане фото) также имеет оригинальный дизайн, специально разработанный под стойку Steeler для размещения другой аппаратуры.

Среди других фирм, демонстрировавших телевизоры, следует отметить по-прежнему великодушный дизайн и возможности аппаратов компании NOKIA, оригинальное оформление переносных телевизоров фирмы Roadstar, большой набор функций при воспроизведении изображений моделей японских и южно-корейских фирм SHARP, JVC, MITSUBISHI, FUNAI, DAEWOO и др.

Почти все упомянутые фирмы производят не только высокочастотные телевизоры, но и другую видеопериферию: видеоманитоны, комбинированные устройства, видеокамеры, календары, студийную аппаратуру и т. д.

В акустических уже давно известны так называемые алмазные головки, применяемые в магнитофонах. И вот, наконец, появились и алмазные видеоголовки. О них объявили южно-корейские фирмы SAM-SUNG и DAEWOO.

Фирма SAMSUNG применила новую технологию нанесения долговечных покрытий. В разработанной ею головке DIAMOND на поверхность видеоголовки и зазора наносится сверхгладкое и обладающее низким

трением углеродное покрытие (DLC), подобное алмазному. Поэтому магнитная лента скользит по поверхности головки при полной чистоте, что резко сокращает скопление грязи, пыли и волокон. Гладкость покрытия существенно уменьшает износ и исключает повреждение ленты. Его твердость резко увеличивает качество изображения при ежедневном использовании видеоманитона и исключает необходимость чистки видеоголовки. Такими головками оборудованы модели SV-300W, SV-S97, SVR-80D, SVR-70D, SVR-40D, SVR-30D и другие видеоманитоны фирмы, содержащие также другие новшества, повышающие удобства пользования ими. Это — и "реактивный привод", обеспечивающий высокоскоростную обратную перемотку ленты (High Speed Rewind/ Jet Drive), и сверхзамедленная запись/воспроизведение (SLP), и автоматическое переключение скорости записи (Just Recording), если оставалась часть ленты не позволяет записать всю программу в нормальном режиме (SP), и индикация времени, оставшегося до конца ленты (Tape Remain), цифровой автотрекинг (Digital Auto Tracking), при котором магнитофон автоматически настраивается на лучшее качество изображения и многое другое.

Компания DAEWOO продемонстрировала барабан блока видеоголовки (ББГ) с напыленным графитовым слоем со структурой алмаза (DLC) в выставочном экземпляре видеоманитона DV-F54D. Очевидно, что и в этом случае существует минимальная вероятность повреждения и загрязнения барабана и видеоголовки, увеличивается их долговечность, обеспечивается превосходное качество изображения (даже при высокой влажности). Барабаны ББГ в видеоманитонах фирмы могут иметь покрытие и из сплава титана.

Модели видеоманитонов и видеоплееров DAEWOO, в которых барабаны ББГ могут быть покрыты графитом структурной алмаза: DV-F34D/DV-F54D, DV-F20D/DV-F40D, DVR-8288W, DVR-4288W, DV-F24D/DV-F44D, DV-F28D/DV-F48D, DVR-1181D, DVR-1989D. Кроме этого, они обладают очень широкими возможностями. Достаточно привести, например, только их перечень для модели DV-F20D/DV-F40D.

Это — монофонический двух или четырехголовочный видеоманитон с каскадным приемником центральной загрузки — BGS — "Mid Size (90 мм), PAL/SECAM — кг, ДК, электронный тюнер (83 канала, память на 40 каналов, кабельные каналы), програм-

мируемый таймер на 385 дней/8 включений, цифровая система поиска и воспроизведения "Shuttle", регулирование скорости в режиме замедленного воспроизведения (1:5...1:30), механизм быстрого старта, цифровой автотрекинг, система программирования на трех языках (английский, немецкий, русский), счетчик в реальном масштабе времени, система повышения качества изображения в режимах стоп-кадра и замедленного воспроизведения, система защиты памяти при обесточивании, пульт дистанционного управления на ИК лучах, воспроизведение NTSC на телевизоре PAL. Другие модели отличаются либо неназначительно, либо уменьшением числа функций (в последних моделях перечня).

Существенно усовершенствована видеоманитоны и фирма SONY. Ее разработчики создали технологию "Trilogic". Теперь большая часть видеоманитонов, выпускаемых ею, оборудована "мгнущимся" микрокомпьютером, который проверяет качество магнитной ленты, записи, состояние видеоголовки и сам подбирает оптимальный режим работы. Он каждый раз так подстраивает видеоманитон при записи, что во время ее воспроизведения яркость, контрастность и цвет приближаются к идеальному уровню. При этом срок службы видеоголовки увеличивается вдвое. Системой трюмики обладают видеоманитоны SLV-E600C, SLV-F500P, SLV-E500P, SLV-836EE, SLV-798EE, SLV-436EE, SLV-288EE, SLV-P52EE, SLV-E400EE, SLV-E800EE, SLV-E150EE.

И наконец, нельзя не упомянуть видеокamеры, созданные фирмами SONY и SHARP по системам "Video Hi8 и Video8". Фирма SONY стала оборудовать свои камеры системами стабилизации изображения Steady Shot оптическими или электронными. Эти системы обеспечивают коррекцию непроизвольных колебаний видеокamеры и предотвращают тем самым смазывание изображения. В оптической системе специальный микрокомпьютер постоянно анализирует движение камеры. При поступлении от сенсоров движения сигналов о неожиданном горизонтальном или вертикальном смещении камеры он отдает системе оптических призм и линз с моторным приводом команды компенсации этих колебаний, которая выполняет противоположное направление движения. При электронном стабилизации коррекция происходит за счет взаимодействия между микрокомпьютером CCD-преобразователя изображения по вертикали и устройством памяти для горизонтальной коррекции. Оптической системой снабжена камера CCD-TR2000E, а электронной — CCD-TR550E, CCD-TR750E, CCD-TR780, CCD-TR530E, CCD-TR585.

Оригинальная конструкция видеокamеры Handycam Vision семейства "Тревеллер" фирмы SONY модели CCD-FX730VE и мини-модели CCD-TRV30, которые имеют жидкокристаллический цветной трайфоновый экран, расположенный на боковой панели. Для просмотра снятого материала достаточно лишь открыть его и расположить в любом удобном для этого положении.

Ряд видеокamер VIEWCAM представила фирма SHARP: VL-H410S, VL-E45S, VL-E41S, VL-E31S, которые также снабжены жидкокристаллическими экранами с размером по диагонали 4 или 3 (последняя модель) дюйма. Дисплей пристыкован сбоку аппарата и его можно повернуть вокруг оси стыковочного разъема в пределах угла 270°.

Конечно, видеотехника, о которой мы рассказывали, далеко не исчерпывает всего многообразия показанной на CEM'95 и выпускаемой аппаратуры.

ПОВЫШЕНИЕ КАЧЕСТВА РАБОТЫ ТЕЛЕВИЗОРОВ УПИМЦТ

А. АБРАМОВ, г. Москва

Несмотря на массовое появление телевизоров новых поколений, в настоящее время все еще находятся в эксплуатации сотни тысяч телевизоров УПИМЦТ ("Рубин Ц-201", "Рубин Ц-202", "Рубин Ц-208", "Славутин Ц-208" и др.). Сравнительно просто можно повысить качество их работы и продлить срок службы, введя некоторые изменения, которые проверены автором в телевизоре "Рубин Ц-201".

Одним из главных дополнительных устройств, которым, по моему мнению, должны быть снабжены телевизоры старых моделей, — это устройство ограничения броска тока накала кинескопа совместно с задержкой подачи высокого напряжения на анод кинескопа. Такие узлы были введены мною два года назад, когда стали заметны признаки старения кинескопа. За прошедшие два года качество работы кинескопа не ухудшилось, что свидетельствует об эффективности принятых мер, приносящих выгоды этот процесс. Ведь известно, что сопротивление холодной нити накала кинескопа значительно меньше горячей. Поэтому при включении телевизора возникает бросок тока накала, который приводит к постепенному разрушению катода. К тому же, пока катод на разогрет и его эмиссионная способность мала, высокое анодное напряжение разрушает его оксидное покрытие.

Для ограничения броска тока накала был использован узел, собранный по схеме на рис. 1. Ток ограничивает дроссель L1. В цепи накала желательно иметь предохранитель FU1 на ток 1 А. Конденсатор C1 предназначен для устранения ларенаципий, которые могут возникнуть при перегибании предохранителя. Резистор R1 служит для точной установки тока накала, был использован резистор C5-16T-5 Вт.

Дроссель L1 имеет индуктивность 44 мГн и содержит 370 витков провода диаметром 0,63 мм, намотанных на Ш-образном магнитопроводе с зазором около 0,3 мм. Сечение магнитопровода — 1,7 см², площадь окна — 3,6 см², но может быть использован и другой магнитопровод с зазором. Индуктивность дросселя (в Гн) определяется по формуле $L=1,26 \cdot 10^{-4} \cdot W^2/S/2l$, где W — число витков, S — сечение магнитопровода (в см²), l — ширина зазора центрального стержня (в см).

Напряжение накала необходимо увеличить с 6,3 В до значения, ориентировочно равного $U_n = I_n Z$, где $Z = \sqrt{R_n^2 + \omega^2 L^2}$, $R_n = 6,3/\Omega$, $\omega = 2\pi f = 314$ с⁻¹, $I_n = 0,9$ А. При указанных параметрах получается $U_n = 15,4$ В. Значит, дополнительное напряжение равно 9,1 В. Экспериментально было определено, что на одном витке силового трансформатора создается напряжение 0,376 В, дополнительное число витков равно 24. Витки распределены поровну на двух стержнях. По образцу, магнитопровода. Направление намотки на разных стержнях должно быть таким, чтобы индуцированные напряже-

ния суммировались.

Регулировать ток накала можно, изменяя ширину зазора в магнитопроводе или число витков в дополнительной обмотке трансформатора. Я пользовался вторым способом, как более простым. Но при этом дополнительная обмотка должна содержать несколько лишних витков по сравнению с расчетным значением. Желательно также контролировать форму тока, чтобы не было насыщения магнитопровода дросселя. Во избежание выхода из строя кинескопа предварительно лучше настраивать узел при включенном выводе нити накала резисторе сопротивлением 7 Ом и мощностью рассеяния 7,5 Вт. Точно настраивать следует при работе на нить накала. В реальном узле после точной настройки на ток 0,944 А (он выбран для "самой" трубки 0,9 м) больше номинального значения 0,9 А) число витков дополнительной обмотки на силовом трансформаторе оказалось равно 21.

Осциллографом были исследованы переходные процессы при включении напряжения сети. В начале переходного процесса напряжение на нити накала равно 3 В, через 10 с — 5,3 В, через 20 с — 6 В. Последнее значение почти равно установившемуся значению при токе 0,944 А. Так как этот ток накала близок к предельно допустимому (по паспорту), то напряжение на нити накала ограничено на уровне 6 В, а не 6,3 В. Ток накала изменялся во время нагрева на 8,7 %, что свидетельствует об эффективности узла ограничения броска тока.

Кроме того, в процессе переходного процесса, существующий и электрический переходный процесс включения R1-цепи в сеть переменного напряжения. Максимальное значение тока будет приблизительно через половину периода после включения. Оно зависит от начальной фазы включения и постоянной времени $\tau = L/R$. В нашем случае $L=44$ мГн и приблизительно (в действительности оно больше) $R = 3$ Ом (3 В/1 А), постоянная времени меньше 15 мс, что меньше периода напряжения сети и способствует быстрому затуханию процесса. Многочисленные включения при разной начальной фазе выявили, что переходный процесс заканчивается на втором периоде напряжения сети, а амплитуда первой полу волны тока превышает амплитуду третьей полу волны не более чем на 10...15%. Это значение меньше, чем полученное при расчете идеального переходного процесса, что связано с неучтенным ларенаципным процессом включения силового трансформатора и влия-

нием емкостных фильтров, которые в первый полупериод заряжаются от других обмоток трансформатора и тем самым снимают напряжения на всех обмотках.

Дроссель улучшает форму тока, который оказывается практически синусоидальным, как показано на рис. 2, при трапециoidalной форме напряжения, возникающей вследствие влияния емкостных фильтров, на которые нагружены другие обмотки трансформатора.

При выключении телевизора ток дросселя не может измениться мгновенно. Он трансформируется в другие обмотки трансформатора, работающие на выпрямители с емкостными фильтрами, благодаря которым исключаются перенапряжения при выключении телевизора.

Узел задержки, принципиальная схема которого изображена на рис.3, обеспечивает задержку подачи высокого напряжения на кинескоп на 25...30 с при включении телевизора. Этого времени достаточно для разогрева нити накала, так как время готовности для кинескопа 61ЛК42 равно 10 с [2, с.136]. Узел содержит эмиттерный повторитель на транзисторе VT1 и триггер Шмитта на транзисторах VT1 и VT2.

В момент включения телевизора конденсатор C1 разряжен, транзисторы VT1 и VT2 закрыты. Транзистор VT1 открыт, и его ток открывает транзистор VT5 в модуле блокировки МБ-1. Тем самым предотвращается включение транзистора VS1. Когда конденсатор зарядится до напряжения, при котором открывается транзистор VT2, происходит изменение состояния триггера. В результате транзистор VT2 открывается, а транзистор VT1 закрывается. Транзистор VT5 также закрывается, и блокировка прекращается. Транзистор VS1 включается, подавая напряжение питания на блок строчной развертки, где формируется высокое анодное напряжение кинескопа.

Узел задержки выполнен в виде навесного модуля, соединенного с блоком МБ-1 тремя проводами, два из которых соединены с проводящими питанием модуля, а третий — с выводом базы транзистора VT5.

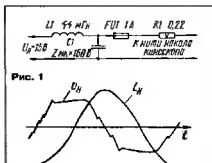


Рис. 2

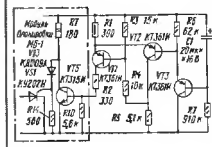


Рис. 3

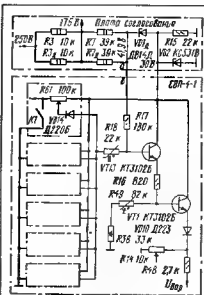


Рис. 4

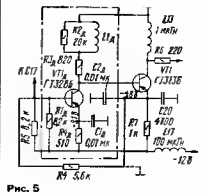


Рис. 5

Изменения введены также в блок управления (СБП-4-1, плата согласования) с целью устранения сбоев в настройке на принимаемую станцию, которые участились после многолетней эксплуатации, что вызвано, по мнению автора, старением элементов и, в некоторой степени, несовершенством заводской разработки. Часть схемы блока СБП-4-1 и платы согласования с изменениями изображена на рис. 4. На ней показано шесть однотипных ячеек, каждая из которых содержит ключ (K1), переменный резистор (R61), который настраивают на принимаемую станцию и с которого напряжение через диод (VD14) и составной эмиттерный повторитель (VT13, VT14) поступает на варикапы, расположенные в блоке радиоканала. В реальном блоке функцию ключей выполняет дешифратор. В каждый момент один из шести ключей замкнут, а остальные пять разомкнуты. На разомкнутых ключах возникает напряжение 50...60 В, которое закрывает диоды в пяти ячейках, что предотвращает их влияние на настройку.

В заводском блоке управления отсутствует стабилизатор VD1. В этом случае при некотором максимальном напряжении, снимаемом с резистора R61, диод VD14 также закрывается и настройка сбивается. Этот уровень зависит от входного тока транзистора VT13 и обратных токов закрытых диодов, причем это влияние зависит от температуры, так как обратные токи увеличиваются прибли-

тельно в два раза при увеличении температуры на 10°C. Вероятно, по этой причине в поздних моделях сопротивление резистора R17 уменьшено с 430 до 180 кОм [2, с.38].

Кардинально решить проблему стабильности настройки можно, подключив верхний вывод (по схеме) резистора R17 к более высокому напряжению. Для этого в блоке управления между резистором R7 и стабилизатором VD2 включен дополнительный стабилизатор VD1 с напряжением стабилизации 11,9 В. Однако подойдут любые другие стабилизаторы на напряжение 8...13 В. Для большей надежности резистор R48 отключен от движка резистора R14 и присоединен к его правому по схеме выводу.

Вместо трех транзисторов КТ315И, используемых в заводском эмиттерном повторителе, были использованы два транзистора (VT13, VT1) КТ3102Б (коэффициент передачи тока базы — не менее 100), у которых обратный ток коллектора на порядок меньше. Точки а и в, расположенные в разных блоках, соединены напрямую, минуя варикапы. Введены также два дополнительных резистора R3, и R7. При этом параллельно соединены резисторы R7 и R7, что близко к значению в более поздних моделях [2, с.38]. После введения этих изменений сбоя в настройке на принимаемую станцию практически не было.

Одним из первых по хронологии было внесено изменение в модуль УМ-1 УПЧ1. Происходили сбои в синхронизации, что, как выяснилось, было вызвано недостаточным напряжением АРУ. Для улучшения работы устройства АРУ в модуль был введен дополнительный усилитель по схеме, изображенной на рис. 5. Размещение его в модуле на вызывает затруднений. Для стабилизации режима по постоянному току вывод резистора R4, соединенный до этого с общим проводом (показано штриховой линией), подключают к выводу эмиттера транзистора VT1. Дроссель L1, представлял собой катушку из 25 витков, намотанных проводом диаметром 0,2 мм на резисторе R2, мощностью 0,25 Вт.

Другое изменение касается предварительного селектора синхронимпульсов на плате БОС (каскад на транзисторе VT1). Он был изменен в соответствии со схемой в более поздних моделях [2, с.48]. Известно, что надежность триггисторов снижается в два раза при увеличении их температуры на 10°C [3]. Поэтому после выхода из строя транзистора строчной развертки и его замены пришлось для уменьшения высокой температуры теплоотводов прикрепить к ним дополнительные медные пластины, в дыни корпуса под блоком строчной развертки и усилителем, который также один раз выходил из строя, были увеличены вентиляционные отверстия и просверлены новые. В верхней части задней металлической крышки в месте изгиба над блоком строчной развертки были просверлены отверстия, а между крышкой и корпусом телевизора оделан зазор 3...4 мм. После этих доработок блок строчной развертки работает надежно уже более 10 лет.

ЛИТЕРАТУРА

1. Гинзбург С. Г. Методы решения задач по переходным процессам в электрических цепях — М. Высшая школа, 1967, с. 34-35.
2. Ельяновский С. А. Цветные стационарные телевизоры. — М. Радио и связь, 1980.
3. Тейсисон С. Технический справочник. Перевод с английского под редакцией Лейбюва В. А. — М. Энергия, 1971, с. 443.

НА НАШЕЙ ОБЛОЖКЕ

НОВЫЙ МАГАЗИН РАДИОДЕТАЛЕЙ

Сообщения об открытии новых магазинов сегодня звучат довольно часто, и мы уже не всегда торопимся познаться с ними. Другое дело, когда речь идет о магазине представляющем интерес для определенной категории покупателей, в частности для радиолюбителей и радиоспециалистов. Тем более, что такими "торговыми точками" не может похвастаться даже Москва, не говоря уже о других городах России.

Фирма "Платин" существует уже более четырех лет и, конечно же, хорошо знакома читателям нашего журнала. Основными ее клиентами являются оптовики. "Индивидуалам" отказ здесь тоже не было, но времени на покупку порой уходило у нас немало, так как обслуживали их в одной очереди с опловыми покупателями.

Для того чтобы разделить розничную и оптовую торговлю и создать больше уюта клиентам, в апреле текущего года при фирме был открыт розничный магазин.

Магазин "Чип и Дип" расположен в центре Москвы, в пяти минутах ходьбы от станции метро "Проспект Мира". Все имеющиеся в продаже радиокомпоненты (всего более 6000 наименований) сведены в специальный каталог, по которому покупатель и выбирает нужный ему товар.

Уже сегодня магазин в состоянии удовлетворить запросы "среднего" радиолюбителя, однако работа по расширению ассортимента ведется непрерывно. Магазин имеет прочные связи с заводскими-изготовителями электронных компонентов, а также с родственными фирмами, которые предлагают для реализации имеющиеся у них импортные радиодетали.

С первых же дней работы в магазине старались помочь покупателям в самом, пожалуй, большом вопросе при выборе и покупке радиодеталей — подборе возможных замен. В торговом зале постоянно находится продавец-консультант, который поможет покупателю, не найдя нужную деталь, подобрать замену. Те же, кто хорошо ориентируется в справочной литературе, могут сделать это самостоятельно, так как в торговом зале магазина такая литература постоянно к услугам посетителей.

Магазин розничной торговли радиодеталей при фирме — дело новое. Поэтому здесь продолжают поиски оптимальной формы обслуживания. Одно из новых направлений — торговля импортными компонентами для ремонта зарубежной бытовой радиоаппаратуры. Это сегодня интересует многих и радиолюбителей, и профессиональных ремонтников.

Руководство магазина "Чип и Дип" уверено, что в ближайшее время оно станет крупнейшим центром торговли радиодетальными.

АКУСТИЧЕСКАЯ СИСТЕМА "VERNA 50-04"

А. ДЕМЬЯНОВ, г. Москва

Читатели журнала "Радио" уже имели возможность познакомиться с двумя моделями АС высокой верности воспроизведения с торговым названием "VERNA". Сегодня мы публикуем описание еще одной модели из этой линейки АС — "VERNA 50-04", разработанной на базе головок громкоговорителей российского производства.

Акустическая система "VERNA 50-04" представляет собой четырехполосный фазоинвертор с полезным объемом 48 дм³. Отличительная особенность новой модели — использование двух головок для воспроизведения низкочастотных составляющих звукового диапазона 35ГДН-1-4 и 25ГДН-3-4, причем последняя работает в отдельном изолированном боксе объемом около 2,4 дм³. Каждая из головок воспроизводит свою полосу частот. Введение второй головки позволило значительно уменьшить направленность излучения на частоте разделения полос, уменьшить коэффициент нелинейных искажений, увеличить подводимую к АС мощность звукового сигнала.

Многочисленные испытания показали, что оптимальный объем для головок 35ГДН-1-4 при использовании фазоинверсного оформления находится в пределах 40...50 дм³. Именно таким он выбран и для АС "VERNA 50-04". Высокая линейность АЧХ и небольшие нелинейные искажения достигаются в этом случае при применении комбинированного звукопоглощения — ватина и хлопчатобумажной ваты. На улучшении параметров АС положительно сказалось и увеличение площади сечения отверстия фазоинвертора (до 25...30% от полезной площади диаметра НЧ головки). Эти и другие (например, правильно выбранные расположение НЧ головки на передней панели и соотношения размеров корпуса) меры по улучшению параметров АС позволили получить неравномерность АЧХ в диапазоне частот 45...500 Гц не более ± 3 дБ и неравномерность АЧХ звукового давления на нижней граничной частоте (для 35ГДН-1-4 это 36...42 Гц) относительно уровня среднего звукового давления — 7...10 дБ. Для сравнения последний показатель у таких известных АС, как "Электроника 100АС-063" и "Электроника 50А-08.4", равен соответственно - 12 и - 15 дБ [1].

Функцию среднечастотной головки выполняет 5ГДШ-5-4 (выпускается одно из предприятий г. Гагарина, Россия) с притянутым специальным составом подвесом и плавной акустической сопротивлением (ПАС). Вообще, выбор конкретной СЧ головки для АС является наиболее сложным. Это обусловлено тем, что в АС высокой верности СЧ головки воспроизводят диапазон частот 300...8000 Гц, где чувствительность слука по всем видам искажений максимальна (субъективные дифференциальные пороги восприятия практически всех видов искажений находятся в области 1...2 кГц). На эту полосу частот приходится и максимум спектральной плотности мощности почти всех

видов музыкальных программ. Все погрешности воспроизведения СЧ головки обычно обнаруживаются экспертами при субъективном прослушивании АС и отмечаются как окрашенность звучания, отсутствие прозрачности и т. д. [2], [3].

К сожалению, ни в России, ни в других странах СНГ до сих пор не освоено про-

мышленный выпуск СЧ головок для АС высокой верности. Неслучайно поэтому выбор пал на 5ГДШ-5-4. Во-первых, как автомобильная головка она имеет необходимую чувствительность, достаточную механическую и электрическую прочность, а также необходимую мощность в диапазоне 800...7000 Гц. Во-вторых, 5ГДШ-5-4 имеет тангенциальный подвес с гофрами в виде трехгранной пирамиды. Такие подвесы получили в последние годы широкое распространение, благодаря своим преимуществам перед подвесками с сферическими гофрированными, использующимися в большинстве отечественных и зарубежных СЧ головок. Дело в том, что у 5ГДШ-5-4 первая и вторая резонансные частоты по частотному диапазону разнесены значительно больше, а значит, гораздо меньше вероятность их совпадения и возможности появления пика (провала) не АЧХ головки. Кроме того, тангенциальные подвесы имеют более линейные характеристики упругости, от которых в небольшой степени зависят и величина нелинейных искажений, и форма АЧХ головки. В-третьих, материал для диффузора головки 5ГДШ-5-4 служит целлюлоза, которая позволяет получить наиболее легкое, прозрачное и чистое звучание [2].

Перед установкой головки 5ГДШ-5-4 необходимо доработать. Доработка сводится к следующему. Подвес с тыльной стороны через окна диффузора держателя следует пропитать двумя слоями мастики, приготовленной на основе герметика, полиизобутилена и авиационного бензина. Окна в диффузоре держателя закрыты искусственным войлоком [3]. Доработанная головка 5ГДШ-5-4 имеет такие основные технические характеристики: паспортная мощность — 15 Вт, номинальное электрическое сопротивление — 4 Ом, диапазон воспроизводимых частот — 300...13 000 Гц; неравномерность АЧХ в диапазоне 400...7000 Гц — ± 2 дБ; уровень характеристической чувствительности — 92,5 дБ/Вт/м; резонансная частота — 185 Гц.

Как показали испытания, эта головка лишь по некоторым параметрам (меньшая неравномерность АЧХ ± 1 дБ; более высокий уровень характеристической чувствительности — 93 дБ/Вт/м, большая паспортная мощность — 50 Вт) уступает одной из лучших среднечастотных головок французской фирмы "AUDAX" 12P25FS-AM [4] и существенно превосходит типовую СЧ головку 20ГДС-3 производства Ивано-Франковского радиозавода (Украина). Последняя имеет более узкий диапазон воспроизводимых частот (430...4650 Гц), большую неравномерность АЧХ (± 7 дБ), меньший уровень характеристической чувствительности (89 дБ/Вт/м). Худшие параметры имеют и СЧ головки 20ГДС-1 (г. Рига, Латвия); 20ГДС-4 (г. Бердск, Россия); 30ГДС-1 (г. Красный Луч, Украина) [1].

В АС "VERNA 50-04" использована ВЧ головка 10ГДШ-2-16 производства Бердского радиозавода. При прочих аналогичных параметрах по сравнению с другими отечественными головками она имеет более полную АЧХ.

Схема раздельных фильтров АС показана на рис. 1. Частоты их раздела — 300, 850 и 7000 Гц. НЧ головки BA1 и BA2 включены через фильтры первого порядка L1R1C1 и L2R2C2C3 с крутизной спада на частоте раздела 6 дБ на октаву. Для СЧ головки BA3 применен комбинированный полосовой фильтр

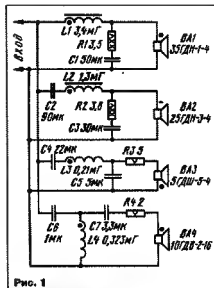


Рис. 1



Рис. 2

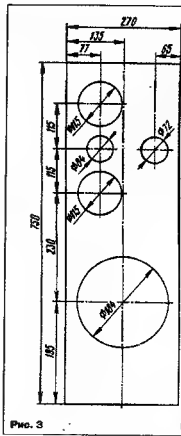


Рис. 3

С4Л3С5R3 — на нижней граничной частоте первого порядка, а на верхней — второго, с крутизной спада 12 дБ/октаву В ВЧ завне использован фильтр третьего порядка с крутизной спада на нижней частоте раздела 18 дБ/октаву.

Указанная на рис. 1 полярность включения головок обеспечивает максимальную линейность АЧХ АС. Катушки L3 и L4 намотаны на пластмассовых каркасах диаметром 20 и высотой 25 мм и содержат соответственно 115 и 135 витков провода ПЭЛ-1 0,67. Катушка L2 намотана на магнитопроводе из феррита 2000НМ размерами 15х8х5 мм, а обмотка содержит 90 витков провода ПЭЛ-1, 12. В качестве магнитопровода для катушки L1 использованы два склеиваемых вместе бруска размерами 15х8х5 мм из феррита 2000НМ. Обмотка этой катушки состоит из 140 витков провода ПЭЛ-1, 12. Намотка — виток к витку.

Конденсаторы С1—С4 — К73-16 на напряжение 63 В, остальные — К73-11 и МЕМ. Мощность резисторов R1 и R2 — 25, а R3 и R4 — 5 Вт.

Детали фильтра смонтированы на стеклоэпоксидной плате, которая через резиновую прокладку шурупами прикреплена к нижней панели АС. Монтаж навесной.

Конструктивно АС выполнена в виде единого корпуса (на рис. 2 — слова, рядом — АС "VERNA 35-02"). Эскиз передней панели показан на рис. 3, а разрез корпуса АС по осям симметрии для установки головок — на рис. 4.

Передняя панель 5 (750х270 мм) и боковые 2 (718х322 мм) изготовлены из фанеры толщиной 12 мм, а верхняя 1 (328х270 мм), задняя 19 (718х246 мм) и нижняя 14 (328х270 мм) — из ДСП толщиной 16 мм. Верхняя и нижняя панели

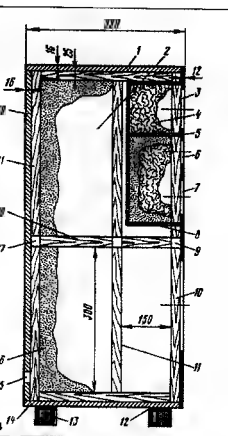


Рис. 4

установлены на торцы боковых, задняя склеена вовнутрь, а передняя крепится снаружи, закрывая своей плоскостью торцы остальных панелей. На всех (кроме верхней и нижней) панелях корпуса с помощью клея ПВА приклеены бруски жесткости 11 сечением 25х25 мм. Между задней и передней панелями установлен брус-стяжка 18 (25х25 мм), соединенный с ребрами жесткости этих панелей 17 и 9. Подставки корпуса служат бруски из твердого дерева 13 размерами 50х50х250 мм, приклеенные к корпусу через пористую резину 12 толщиной 5 мм.

Вся внутренняя поверхность корпуса (кроме передней панели) покрыта эффективным вибропоглопителем. Для этой цели можно использовать плотный войлок, фольгоизол, поронит, герлен, общая толщина покрытия — около 20 мм. На рис. 4 он не показан. Поверх вибропоглопителя проложен слой ватина 16 толщиной 50...60 мм. Головки громкоговорителей установлены снаружи передней панели на торцы соответствующих отверстий 3...5 мм и закреплены шурупами. Диффузоры-держатели окрашены в черный цвет. В отверстиях 3 установлена С4 головка 5ГДШ-5-4, в отверстиях 6—ВЧ головка 10ГДВ-2-16, в отверстиях 7—НЧ головка 25ГД-3-4 и в отверстиях 10—НЧ головка 35ГД-1-4. Отверстие 15 в задней панели корпуса АС (37х44 мм) служит для установки соединительной розетки.

НЧ головка 25ГД-3-4, а также СЧ и ВЧ головки помещены в отдельный бокс 8 внутри корпуса АС. Прием СЧ головки отделена перегородкой от НЧ, бокс изготовлен из фанеры толщиной 10 мм. Вольной части его объема (около 2,4 дм³) размещены головки 25ГД-3-4 и 10ГДВ-2-16,

в меньшей (около 0,8 дм³) — 5ГДШ-5-4. Корпус бокса приклеен к передней панели клеем ПВА. Внутренние поверхности бокса, где установлены 25ГД-3-4 и 10ГДВ-2-16, покрыты тремя слоями ватина 16, а пространство бокса, оставшееся свободным, выполнено хлопчатобумажной ватой из расчета 100 г на дм³ объема. Другая часть бокса (для 5ГДШ-5-4) равномерно заполнена ватой из расчета 120 г на дм³ объема.

Труба фазоинвертора вставляется в отверстие диаметром 72 мм (оно показано на эскизе передней панели). Внутренний ее диаметр — 70 мм, длина 55 мм, толщина стенок — 1 мм. Изготовлена труба из стали, внутренняя поверхность окрашена черной нитроэмалью. Фазоинвертор настроен на частоту 38 Гц.

Для монтажа головок и элементов фильтра использован провод МГШВ сечением 1,5 мм². Для уменьшения потерь характеристической чувствительности, соединительные провода от усилителя мощности к АС должны иметь сечение не менее 1,5 мм² при длине не более 3 м.

Собранный корпус тщательно обработан наждачной бумагой до устранения всех неровностей и ошплен черным тисненным кожзаменителем. Передняя и задняя панели снаружи покрыты одним слоем черного нитролака.

В нижней части передней панели закреплен (на шкантах) декоративный брусок красного дерева, покрытый эмалью НЦ-225; посередине него приклеен шильдик с торговым названием.

Основные технические характеристики изготовленной АС: номинальная (максимальная шумовая) мощность — 50(120) Вт; номинальное электрическое сопротивление — 4 Ом; диапазон воспроизводимых частот — 35...20 000 Гц, неравномерность АЧХ звукового давления в диапазоне частот 63...12 000 Гц относительно уровня среднего звукового давления в диапазоне 40...20 000 Гц — ±2 дБ; суммарный коэффициент гармонических искажений в диапазоне частот 50...350 Гц при уровне звукового давления 94 дБ — 1,8%, 350...800 Гц при уровне звукового давления 90 дБ — 1,3%, 800...15 000 Гц при уровне звукового давления 90 дБ — 1%; габариты — 270х820х350 мм, масса — 45 кг.

Сравнительное прослушивание звучания АС "VERNA 50-04" и АС, выпускаемых в России и странах ближнего зарубежья, показало заметное превосходство описанной АС по легкости, прозрачности и естественности звучания во всем диапазоне воспроизводимых частот. По указанным параметрам звучания "VERNA 50-04" практически не уступала АС многих известных мировых фирм, а в ряде случаев и превосходила такие зарубежные модели средней стоимости, как "ALTEC" 305, "B&W" 804 Matrix, "Bose 401", "ESB" DCM2004.

Автор статьи готов оказать консультацию по вопросам сборки и настройки АС и принимать заказы на индивидуальное исполнение АС различной мощности. Телефон в Москве (095) 145-08-90.

ЛИТЕРАТУРА

- 1 Алдошин И. Бытовая электротехническая аппаратура. — М: Радио и связь, 1992.
- 2 Алдошин И. Электродинамические громкоговорители. М: Радио и связь, 1989.
- 3 Цуров В., Попов Р. Помещение и качество звучания громкоговорителей. — Радио, 1983, № 5, с. 50—52.
- 4 AUDIOGUIDA NF. 1991/1992 Associcat UPSI, Roma.

УМЗЧ С ПЛАВЯЮЩИМ ПИТАНИЕМ ОУ

А. ХНЫКОВ, г. Протвино Московской обл.

Большинство современных ОУ рассчитано на питание от двухполярного источника напряжением ± 15 В. При этом максимальная амплитуда выходного сигнала ОУ не превышает 12...14 В. Однако во многих случаях такое напряжение оказывается недостаточным. Например, его не хватает для раскачки выходных каскадов (эмиттерных повторителей) УМЗЧ мощностью 50 Вт и более. Автор публикуемой статьи предлагает повысить выходное напряжение, применив плавающее питание ОУ, которое позволяет построить УМЗЧ с высокой выходной мощностью и низким коэффициентом гармоник.

Принцип плавающего питания ОУ можно понять на примере работы неинвертирующего усилителя каскада, приведенного на рис. 1. Его переходная характеристика $U_{\text{вых}} = f(U_{\text{вх}})$ при стандартном питании показана на рис. 2а. Как видно из рисунка, неискаженная амплитуда его выходного синусоидального сигнала (как положительной, так и отрицательной полуwave) не превышает 15 В.

Теперь предположим, что напряжения плюсового и минусового источников питания ОУ увеличались на величину $\Delta U_{\text{см}}/2 = +10$ В и стали соответственно $+25$ и -5 В. Переходная характеристика каскада показана на рис. 2б сплошной линией. Здесь неискаженная амплитуда положительной полуwave сигнала заметно увеличилась и приблизилась к величине 25 В. Строго говоря, переходная характеристика каскада в этом случае на будет проходить через начало координат, а сдвинется влево на величину $\Delta U_{\text{см}}$ (см. штриховую линию на рис. 2б). Интересно оценить $\Delta U_{\text{см}}$, воспользовавшись приводимым в справочнике [1] коэффициентом для нестабильности напряжения источников питания ($K_{\text{нп.н}} = 1$) на величину напряжения смещения. Так, для ОУ КР544УД2А $K_{\text{нп.н}} = 300$ мкВ/В. Тогда, поскольку $U_{\text{см}} = K_{\text{нп.н}} \cdot \Delta U_{\text{см}}$, при $\Delta U_{\text{см}} = 20$ В получим $U_{\text{см}} = 300 \times 20 = 6$ мВ. Такой малой величиной $\Delta U_{\text{см}}$ вполне можно пренебречь и считать, что переходная характеристика каскада проходит через начало координат.

Далее рассмотрим пример, когда напряжения плюсового и минусового источников питания получили приращение $\Delta U_{\text{см}}/2 = -10$ В и стали соответственно $+5$ и -25 В. Переходная характеристика каскада для этого случая показана на рис. 2в сплошной линией. Из рисунка видно, что возросла уже амплитуда отрицательной полуwave, достигнув уровня, близкого к 25 В. Как и в предыдущем случае, переходная характеристика не проходит через начало координат, а сдвинута влево на величину $\Delta U_{\text{см}}$ (см. штриховую линию на рис. 2в). Но в силу малости $\Delta U_{\text{см}}$ и здесь этим сдвигом можно пренебречь.

Чтобы амплитуды обеих полуwave сигнала достигали уровня, близкого к 25 В, необходимо, чтобы сдвиги напряжений питания и плюсового и минусового источников проходили синхронно с изменением входного сигнала. В этом случае мы и получим режим плавающего питания ОУ.

Один из вариантов схемотехнической реализации этого режима показан на рис. 3. ОУ DA1 играет здесь роль основного усилителя, на выходе которого нужно получить сигнал амплитудой 25 В. Этот усилитель питается от гальванически развязанного двухполярного источника питания, средняя точка которого подключена к выходу вспомогательного усилителя на ОУ DA2, который и сдвигает напряжения питания ОУ DA1 синхронно с изменением входного сигнала $U_{\text{вх}}$. В результате за счет сдвига напряжений питания ОУ DA1 на $\pm 12,58$ В при подаче на вход сигнала с амплитудой 8,33 В на выходе этого ОУ получим сигнал с амплитудой 25 В.

В табл. 1 приведены сравнительные результаты измерений коэффициента гар-

моник K_g при частоте входного сигнала 20 кГц и коэффициенте усиления $K=3$ для неинвертирующего усилителя с плавающим питанием (рис. 3) и с обычным питанием, причем последнее достигалось простым заземлением средней точки источника питания DA1.

Таким образом, можно утверждать, что плавающее питание ОУ в его неинвертирующем включении позволяет почти вдвое увеличить максимальную амплитуду выходного напряжения и почти на порядок снизить нелинейные усилительным каскадом искажения.

Совершенно очевидно, что все рассуждения о плавающем питании применительно к неинвертирующему включению ОУ будут справедливыми и для инвертирующего его включения. Схема усилителя, реализующего режим с плавающим питанием в инвертирующем включении ОУ, показана на рис. 4. Работает этот усилитель аналогично устройству, изображенному на рис. 3. Результаты измерений коэффициента гармоник на частоте 20 кГц при коэффициенте усиления инвертирующего каскада $K=3$ сведены в табл. 2.

Из данных, приведенных в табл. 2, следует, что плавающее питание ОУ в его инвертирующем включении позволяет почти вдвое увеличить максимальную амплитуду выходного напряжения, однако оно отрицательно влияет на величину коэффициента гармоник, увеличивая его более чем на порядок. По этой причине использовать плавающее питание в инвертирующем усилителе не рекомендуется.

Задачу инверсии сигнала можно решить с помощью обычного инвертирующего повторителя (инвертора), схема которого приведена на рис. 5. Данные по коэффициенту гармоник K_g на частоте 20 кГц приведены для него в табл. 3.

С учетом изложенных выше соображений был разработан УМЗЧ, схема которого приведена на рис. 6. Новый УМЗЧ представляет собой существенно улучшенный вариант ранее публиковавшегося в журнале "Радио" УМЗЧ [2].

Основные технические характеристики усилителя: максимальная звуковая мощность на нагрузке 4 Ом — 100 Вт; неравномерность АЧХ в полосе частот 20...20 000 Гц — на более 0,5 дБ; коэффициент гармоник при амплитуде выходного напряжения 25 В и сопротивлении нагрузки 4 Ом на частоте 2 кГц — 0,0048, 10 кГц — 0,011, 20 кГц — 0,015%; отношение сигнал/шум — 92 дБ; максимальная амплитуда входного сигнала — 0,5 В; входное сопротивление — 200 кОм. УМЗЧ имеет защиту от короткого замыкания в нагрузку, от перегрузки по входу, от попадания в АС постоянной составляющей напряжения, а также тепловую защиту. Предусмотрена и задержка включения АС при подключении УМЗЧ к питающей сети.

Рассмотрим теперь устройство и работу УМЗЧ. Каскад предварительного усиления напряжения выполнен на ОУ DA1. Сигнал ЗЧ поступает на его вход через полосуовой фильтр С1R1C2R2. Этот фильтр препятствует прохождению на вход усилителя сигнала с частотами, лежащими за пределами звукового диапазона 20...20 000 Гц, и лишь незначительно влияет на неравномерность АЧХ усилителя в этом диапазоне. Для снижения уровня шумов УМЗЧ в каскаде предварительного усиления использован малощумящий ОУ КР544УД1А. Напряжение питания ОУ DA1 преднамеренно занижено до $\pm 9,1$ В, что позволяет бес-

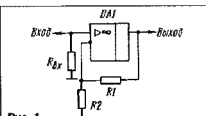


Рис. 1

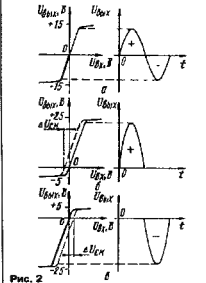


Рис. 2

Таблица 1

Измеряемые параметры	Питание	
	Плавящее	Обычное
$U_{\text{вых}}, \text{В}$	4	8,25
$U_{\text{нагр}}, \text{В}$	12,25	25
$K_{\text{н}}, \%$	<0,002	<0,0037

Таблица 2

Измеряемые параметры	Питание	
	Плавящее	Обычное
$U_{\text{вых}}, \text{В}$	3,95	8
$U_{\text{нагр}}, \text{В}$	12,25	24,5
$K_{\text{н}}, \%$	0,028	<0,072

Таблица 3

Измеряемые параметры	Питание - обычное	
	Плавящее	Обычное
$U_{\text{вых}}, \text{В}$	8	13
$U_{\text{нагр}}, \text{В}$	8,25	12,25
$K_{\text{н}}, \%$	<0,0017	0,0032

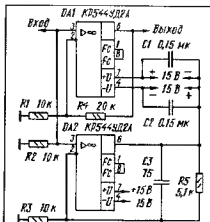


Рис. 3

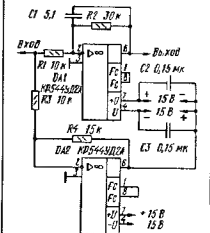


Рис. 4

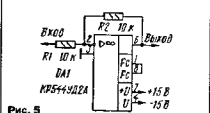


Рис. 5

питания, принцип реализации которого был рассмотрен выше (см. рис. 3). ОУ DA3 обеспечивает сдвиг напряжений питания ОУ DA4 на $\pm 12,58 \text{ В}$.

Выходные транзисторы VT3 и VT4 для облегчения режима их работы включены параллельно. Симметрирование их коллекторных токов добиваются подбором транзисторов с близкими статическими коэффициентами передачи тока базы. Кроме того, при больших мигновеньных значениях коллекторных токов они выравниваются автоматически, благодаря симметрирующему действию резисторов R33, R41, выполняющих к тому же роль датчиков тока. Два параллельно включенных выходных транзистора VT3, VT4 вместе с транзистором VT2 образуют составной транзистор. Как показывает опыт, такого построения оконечного каскада УМЗЧ в сочетании с типом использованных транзисторов (КТ805АМ и КТ864А) позволяет обеспечить высокую надежность его работы. Использование в качестве VT2—VT4 транзисторов КТ827А оказалось невозможным из-за их высокого выхода из строя. Применяемые же в описываемом усилителе транзисторы КТ805АМ и КТ864А имеют большее допустимое напряжение коллектор-эмиттер (160 В) и большую граничную частоту единичного усиления (20 и 15 МГц соответственно). Для предотвращения перегрузки выхода ОУ DA4 по току транзисторы VT2—VT4 должны иметь статический коэффициент передачи тока базы не менее 80...100.

Нижнее инвертирующее плечо усилителя мощности собрано на ОУ DA2, DA5, DA6 и транзисторах VT9—VT11. От верхнего плеча оно отличается только наличием инвертора на ОУ DA2, не охваченного цепью общей ООС. Отказ от инвертирующей схемы включения ОУ DA5, DA6 продиктован невозможностью получения при таком включении и плавящем питании ОУ малого коэффициента гармоник (см. табл. 2).

Каждое плечо усилителя мощности охвачено собственной цепью ООС (R12, R13 и R14, R15) глубиной 76,5 дБ и обеспечивает усиление по напряжению в три раза. Усиление же всего выходного каскада за счет дифференциального включения нагрузки равно удвоенному усилению плеча, т. е. шести.

На транзисторе VT1 собран источник образцового напряжения. Вместе с сумматором R24, R25 он обеспечивает в статическом режиме постоянный ток через резисторы R23, R26, за счет чего притормаживаются выходные транзисторы и обеспечивается работа усилителя мощности в режиме АВ. Ток покоя выходных транзисторов можно регулировать резистором R20. Термостабилизация тока покоя достигается путем установки транзистора VT1 на теплоотвод выходных транзисторов. При этом, если теплоотвод соединен с общим проводом (что позволяет сделать для улучшения экранирования), то он отдает необходимость в электроизоляции от него корпуса транзистора VT1. А это, в свою очередь, обеспечивает их наилучший тепловой контакт, что положительно влияет на эффективность термостабилизации тока покоя.

В статическом режиме между напряжениями база-эмиттер транзистора VT1 и транзисторов VT2, VT3 (или VT4) существует следующая зависимость: $U_{\text{бэ}1} + U_{\text{бэ}2} = R23/R24(1 + R18/R19) \cdot U_{\text{э}1}$, где $U_{\text{э}1}$ — падение напряжения на резисторе R33.

Аналогичная зависимость существует

и между напряжениями база-эмиттер транзистора VT1 и транзисторов VT9, VT10 (или VT11). Подставив в приведенную выше формулу значения сопротивлений резисторов, получим соотношение: $U_{\text{бэ}1} + U_{\text{бэ}2} = 1,1 U_{\text{э}1} - U_{\text{э}2}$, которое характерно для схем подачи смещения на транзистор с фиксированным напряжением база-эмиттер, обычно используемых в усилителях мощности. Как следует из формул, резистор R33, хотя и незначительно, но все-таки положительно влияет на стабильность тока покоя выходных транзисторов, хотя основную роль в его термостабилизации играет, безусловно, транзистор VT1.

Устройство токовой защиты собрано на транзисторах VT5—VT8. В нормальном режиме все они закрыты и не влияют на работу усилителя мощности. При возникновении токовой перегрузки транзисторы VT5—VT8 открываются сигналами, поступающими на них с резисторов-датчиков тока R33, R34, R41, R44. Сигналы от базомиттерных цепей выходных транзисторов и таким образом ограничивают выходной ток усилителя. Уровень ограничения снижается с уменьшением сопротивления нагрузки и при в коротком замыкании достигает минимального значения. Так, если в нормальном режиме амплитуда выходного напряжения составляет 25 В, то ограничение выходного тока начинается с уровня примерно 9,6 А и заканчивается на уровне 6 А в режиме короткого замыкания в нагрузку.

Указанная особенность работы системы токовой защиты положительно сказывается на способности УМЗЧ выдерживать чистое короткое замыкание в нагрузку.

Устройство защиты АС от попадания в них постоянной составляющей напряжения состоит из сумматора R42, R43, фильтра низких частот R48C11, компаратора DA8, транзистора VT14 и реле K1, K2. Работает он следующим образом. В нормальном состоянии напряжение на выходе сумматора отсутствует, выход компаратора находится в высокоомном состоянии, транзистор VT14 от-

печатить защиту входов последующих каскадов на ОУ DA2—DA6 от перегрузок по входному синфазному напряжению, предельно допустимое значение которого для этих ОУ (КР544УД2А) составляет $\pm 10 \text{ В}$. Коэффициент усиления каскада предварительного усиления равен 10.

Выходной каскад УМЗЧ построен по известной схеме усилителя мощности с дифференциальным включением нагрузки. Усилители такого типа даже при обычном питании раскачивающих ОУ обеспечивают достаточно высокий уровень выходной мощности, достигающий 50 Вт на нагрузке 4 Ом [2]. Примененная же плавящего питания позволяет не только существенно повысить выходную мощность УМЗЧ, но и снизить его нелинейные искажения.

Верхнее неинвертирующее плечо усилителя мощности собрано на ОУ DA3, DA4 и транзисторах VT2—VT4. Функции усилителя, определяющего петлевое усиление плеча (глубину общей ООС) и обеспечивающего необходимый уровень выходного напряжения, выполняет каскад на ОУ DA4. Этот ОУ имеет плавящее

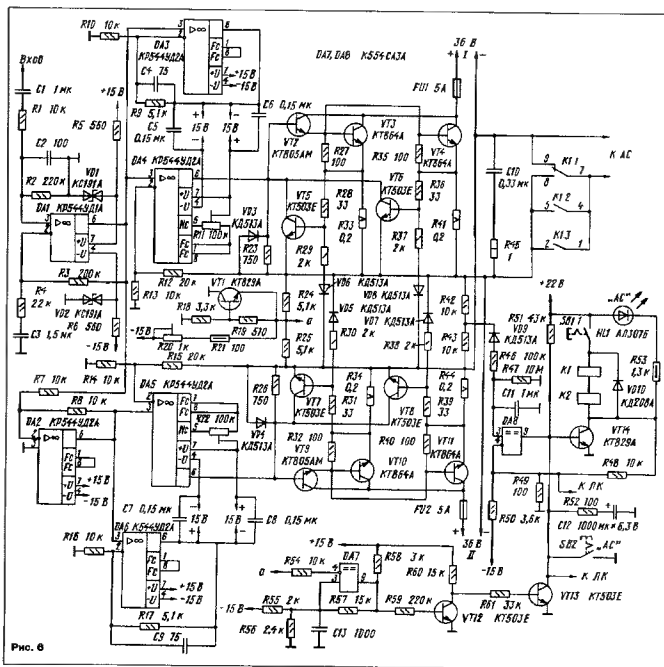


Рис. 6

крыт и контакты реле K1, K2 замкнуты. Появление на выходе усилителя постоянной составляющей напряжения обычно связано с выходом из строя его активных элементов — транзисторов и ОУ. Режим выходной из строя диоды и резисторы. Выходной каскад имеет особенность: во всех перечисленных случаях на выходе сумматора F42R43 появляется исключительно отрицательное напряжение. Фильтр R46C11 выделяет его постоянную составляющую, которая в случае превышения порога срабатывания компаратора DA6, равного $-0,4$ В, вызывает его переключение в низковольтное состояние. Транзистор VT14 при этом закрывается, срабатывают реле K1, K2 и их разомкнувшиеся контакты не позволяют постоянной составляющей напряжения попасть в АС. При исчезновении неисправности диод VD9 оказывается

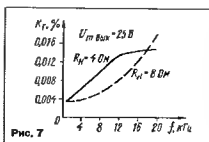


Рис. 7

закрытым и конденсатор C11 медленно разряжается через резистор R47, обеспечивая задержку в возвращении компаратора в исходное состояние. При начальном включении УМЗЧ в сеть, вследствие заряда конденсатора C12,

через резистор R51, транзистор VT14 открывается не сразу, а спустя 3...5 с. Благодаря этому все переходные процессы в УМЗЧ успевают закончиться до того, как к его выходу подключается АС и в них не возникает неприятного на слух щелчка. Щелчок отсутствует и при выключении УМЗЧ за счет быстрого обесточивания обмоток реле K1, K2 при размыкании контактов переключателя SB1.1, вторая секция которого выполняет функции сетевого выключателя (см. SB1.2 на рн. 8). При необходимости АС обоих каналов можно отключить и выключить принудительно с помощью выключателя SB2. Включенное состояние АС индицируется светодиодом HL1. При повторении УМЗЧ в стереоварианте следует иметь в виду, что часть элементов устройства защиты АС является общей как для правого, так и для левого

каналов (ПК, ЛК). К ним относятся транзистор VT14, диод VD10, светодиод HL1, конденсатор C12, переключатели SB1, SB2, резисторы R48—R53. Контакты реле K1 коммутируют АС ПК, а K2 — АС ЛК.

На компараторе DA7 и транзисторах VT12, VT13 собрано устройство тепловой защиты УМЗЧ. В качестве термочувствительного элемента используется транзистор VT1, напряжение на эмиттере которого $U_{\text{э}}$ (в точке А) уменьшается (по абсолютной величине) с увеличением температуры. В исходном состоянии выход компаратора DA7 находится в высокоимпедансном состоянии, транзистор VT12 открыт, а VT13 закрыт и не влияет на работу реле K1, K2. На неизменяющемся входе компаратора DA7 присутствует образцовое напряжение, равное 6,86 В. С ростом температуры теплоотвода, на котором установлен транзистор VT1 и выходные транзисторы УМЗЧ, уменьшается напряжение $U_{\text{э}}$ на инварирующем входе компаратора и при его снижении до -6,86 В, что соответствует температуре теплоотвода 55...60°C, компаратор DA7 переключается в низкоимпедансное состояние. При этом транзистор VT12 закрывается, а VT13 открывается, что в конечном итоге приводит к размыканию контактов реле K1, K2. УМЗЧ начинает работать в режиме холостого хода с низким потреблением тока от источников питания, и теплоотвод постепенно охлаждается. К этому моменту на неизменяющемся входе DA7 присутствует уже другой образцовое напряжение, равное -7,61 В. При достижении $U_{\text{э}}$ этого значения, а происходит это при температуре теплоотвода около 40°C, УМЗЧ возвращается в исходное состояние.

На рис. 7 показана экспериментально снятая зависимость коэффициента гармоник УМЗЧ от частоты при амплитуде выходного напряжения $U_{\text{вых}} = 25$ В для двух значений сопротивления нагрузки 4 и 8 Ом. По этому параметру в соответствии с ГОСТ 24388-88 "Усилители сигналов звуковой частоты бытового назначения" УМЗЧ удовлетворяет требованиям, предъявляемым к усилителям мощности первой группы сложности.

Принципиальная схема источника питания (ИП) правого канала УМЗЧ приведена на рис. 8. ИП левого канала отличается от него незначительно, о чем будет сказано ниже.

Плечи выходного каскада УМЗЧ питаются от двух выпрямителей с нестабилизированным напряжением 2х36 В, собранных на диодах VD1—VD4 и VD5—VD8. Для получения плавающего питания ОУ DA4 используется отдельный двупольный источник напряжением 2х15 В, состоящий из мостового выпрямителя VD9 и стабилизаторов VD12, VD13. Средняя точка этого источника питания соединена с выходом ОУ DA3 (вывод 6). Плавающий источник питания ОУ DA5 обеспечивается таким же двупольным источником питания, выполненным на мостовом выпрямителе VD10 и стабилизаторах VD14, VD15. Его средняя точка соединена с выходом ОУ DA6 (вывод 6).

Остальные ОУ, а также компараторы питаются от обычного двупольного источника напряжением 15 В, собранного на мостовом выпрямителе VD11 и двупольном интегральном стабилизаторе DA1. От этого же источника питаются аналогичные элементы левого канала УМЗЧ.

Нестабилизованным напряжением +22 В с выхода VD11 питаются реле K1 и K2.

В каждом канале УМЗЧ используется свой трансформатор питания. Обусловлено это в основном двумя причинами. Во-первых, как видно из рис. 8, Т1 содержит довольно большое число выводов, размещение которых на обмотках и для одного канала представляет определенные трудности, а для двух — практически нереализуемо. Во-вторых, при выходной мощности УМЗЧ 2х100 Вт габаритная мощность трансформатора оказывается слишком большой для того, чтобы разместить УМЗЧ в эстетически привлекательном корпусе с небольшой высотой.

Обмотки трансформатора Т1 размещены на магнитопроводе ПЛ18х45-90 от трансформатора ТС-250-2М. Для снижения уровня интермодуляционных искажений, вызываемых сетевым питанием, в Т1 введены электростатический экран. Каждая из обмоток состоит из двух половин, размещенных на разных стержнях сердечника. Сетевая обмотка Т1 содержит 2х360 витков провода ПЭВ-2 0,72, обмотки 3-3 и 5-5 на напряжение 28,1 В — по 2х46 витков провода ПЭВ-2 1,18, а остальные (7-7, 9-9, 11-11, 13-13, 15-15 и 17-17 на напряжение 17,1 В) — по 2х26 витков провода ПЭВ-2 0,47.

ИП левого канала, как уже указывалось выше, не содержит двупольного источника питания на напряжение 115 В. В нем нет также предохранителя FU1, переключателя SB1 2 и конденсатора C1.

При монтаже УМЗЧ использованы постоянные резисторы С5-16МВ (R33, R34,

R41, R44) и МЛТ (остальные), подстроечные СП5-2ВЕ (R20) и CF4-1 (R11, R22). Оксидные конденсаторы К50-16, остальные К10-17 и КМ5, переключатели ПКН41-1-2 (SB1) и ПК2 (SB2), реле K1 и K2 — РЭС-22 (паспорт РЭС.223-05 с сопротивлением обмотки 175 Ом).

Транзисторы VT2—VT4 и VT9—VT11 должны иметь коэффициент передачи тока базы 80...100. Транзисторы VT12 и VT13 — с любым буквенным индексом. Вместо диодов КД513А (VD3—VD9) подойдут диоды КД522А.

В источнике питания использованы резисторы МЛТ, конденсаторы К73-17 (С1), К50-16, К50-18. Диоды VD1—VD8, мостовой выпрямитель VD11 и интегральный стабилизатор DA1 — с любым буквенным индексом.

Настроить УМЗЧ следует после проверки правильности монтажа. Начинать настройку нужно с измерения питающих напряжений. Удостоверившись в их наличии, резистором R20 необходимо выставить ток покоя выходного каскада в пределах 30...50 мА. О величина тока судят по падению напряжения на резисторах R33, R34, R41, R44. При этом следует обратить внимание на разбаланс токов параллельно включенных транзисторов VT3, VT4 и VT10, VT11. При условии предварительного подбора по коэффициенту передачи тока базы, о чем уже упоминалось выше, разбаланс не превышает обычно 10...20%, что можно считать нормой.

Подая на вход УМЗЧ синусоидальный

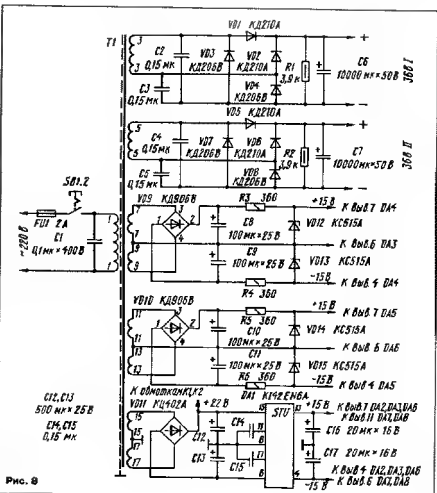


Рис. 8

сигнал частотой 1000 Гц и амплитудой 0,5 В, с помощью резисторов R11 и R22 производят балансировку ОУ DA4 и DA5, добиваясь отсутствия ограничения их выходного сигнала. Эту операцию целесообразно провести при отключенной нагрузке.

Далее, изменяя частоту входного сигнала от 20 Гц до 20 кГц, следует убедиться в том, что УМЗЧ усиливает требуемую полосу частот и на самовозбуждается. В случае обнаружения самовозбуждения необходимо изменить место установки корректирующей цепочки С10R45, отдалив или приблизив ее к нагрузке. Также можно попробовать изменить номиналы элементов этой цепочки. Необходимо помнить, что самовозбуждение может быть вызвано отсутствием или неправильной подкой конденсаторов С4—С9.

Работу токовой защиты можно проверить, соединив коллектор и эмиттер транзистора VT14 (делается это для того, что бы исключить срабатывание реле, которым обычно сопровождается работа токовой защиты) и постепенно уменьшая сопротивление нагрузки до нуля. При некотором его значении, меньшем 4 Ом, должно начаться ограничение выходного напряжения, причем уровень ограничения по мере приближения к короткому замыканию должен уменьшаться. УМЗЧ должен выдерживать короткое замыкание в нагрузке и возвращаться в исходное состояние после его снятия.

Для проверки работы защиты от перегрузки по входному напряжению достаточно подать на вход УМЗЧ сигнал с амплитудой более 0,5 В и убедиться в срабатывании реле K1, K2 и отключении нагрузки.

Подав на постоянную составляющую напряжения в нагрузку (АС) можно имитировать обрывом предохранителя FU1 или FU2. Нагрузка должна при этом быстро отключиться. После восстановления предохранителя через 3...5 с нагрузка должна включиться, что будет свидетельствовать о нормальной работе защиты от попадания в АС постоянной составляющей напряжения, а также о наличии задержки включения АС.

Работа тепловой защиты проверяется при подаче на вход УМЗЧ сигнала частотой 20 кГц и амплитудой 0,3...0,4 В. Такое напряжение обеспечит довольно быстрый нагрев тепловода с выходными транзисторами. При температуре тепловода 55...60°C нагрузка должна отключиться, после чего тепловод начнет медленно охлаждаться, и когда его температура снизится до 40°C, нагрузка должна опять включиться.

В заключение отметим, что уровень выходной мощности 2x100 Вт, достигнутый в описываемом УМЗЧ, не является предельным. Теоретически для данного класса УМЗЧ выходная мощность может достигать 2x200 Вт на нагрузке 4 Ом. Однако достичь такого уровня не так-то просто, так как при этом особенно остро встают вопросы теплообмена и термостабилизации тока покоя. Но, возможно, для некоторых радиодлюбителей это послужит отправной точкой в их исследованиях.

ЛИТЕРАТУРА

- Булочев А. Л. и др. Аналоговые интегральные схемы. Справочник. Минск: Белорусь, 1993.
- Хныков А. УМЗЧ с системой защиты. — Радио, 1993, № 5, с. 13—15.

ОБМЕН ОПЫТОМ

ФИКСИРОВАННАЯ НАСТРОЙКА В ПРИЕМНИКАХ "ВЭФ"

Бесспорное включение хорошо слышимых популярных радиостанций привлекает многих радиослушателей. Такую возможность после небольшой переделки может иметь распространенный приемник "ВЭФ-202" и его более ранние модификации.

В предлагаемой вниманию читателей

статье позволяю точно подогнать нужные емкости контуров, грубо задаваемые постоянными конденсаторами. Переделанные штатные планки дают возможность получать пять фиксированных настроек, а с дополнительными планками их количество можно довести до семи.

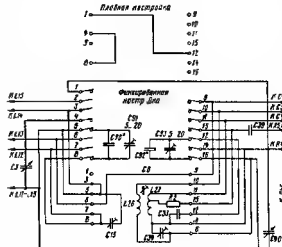
Плавная перестройка по диапозону обеспечивается включением планки, схема которой изображена на том же рисунке сверху. Планка снабжена двумя переключками и выполняет чисто коммутационную функцию, присоединяя к входному и гетеродинам контурам секции КПЕ С3, С40. Для этого действующие в СВ диапозоне контакты 1, 4 переключателя, от которых нужно отключить конденсатор С2 (между контактами 4, 8 на колодке переключателя), а также конденсатор С1 (там же) и теле-спиральную антенну. Снятая с барабана планка СВ крепится к верхней части монтажной

платы приемника со стороны деталей. Вводимые в планку на барабане подстроечные конденсаторы — КПК-М, конденсаторы постоянной емкости — КТК.

Искать станции для фиксированного приема и определять необходимые емкости постоянных конденсаторов можно с помощью блока КПВ-2, секция которого временно включает вместо конденсаторов С90, С92. Предварительно следует установить роторы подстроечных конденсаторов примерно в среднее положение. Приемную станцию, по углу поворота ротора КПК и приведенной в его паспорте таблице можно определить соответствующую емкость. Для установки на планку следует подобрать два постоянных конденсатора с одинаковыми, наиболее близкими к найденным значениям, номиналами. Точной настройки и сопряжения контуров (в одной тоже диапозон — на частоте фиксированного приема) рекомендуется добиваться конденсаторами С91, С93, но в коем случае не трогая сердечник гетеродина катушки L27, подстроечные конденсаторы С15, С34 и катушки, находящиеся на стержне магнитной антенны. Однако манипулировать ими придется, если еще до переделки станет ясно, что контуры расстроены. В этом случае, в первую очередь, необходимо провести их сопряжение на обзорном СВ диапозоне, после чего можно приступать к доработке конструкции и выбору фиксированных настроек.

Схема доработанной части приемника показана на рисунке. Позиционные обозначения штатных радиодеталей соответствуют схеме приемника "ВЭФ-202", приведенной в книге И. Белова и Е. Дрыго (Справочник по транзисторным радиоприемникам, радиолам и электрофонам, ч. I. М. Советское радио, 1976), нумерация нескольких вводимых вновь деталей продолжает исходную.

Для фиксированной настройки можно использовать имеющиеся в составе приемника планки диапозонов ДВ, КВ, с которых снимают оказавшиеся лишними детали, а вместо них устанавливая постоянные конденсаторы С90, С92 и подстроечные С91, С93. Послед-



Ю. ПРОКОПЦЕВ

г. Москва

ИНТЕГРАЛЬНЫЙ СТАБИЛИЗАТОР В СДП

М. НАУМОВ, г. Москва

Большой интерес радиолюбителей к использованию системы динамического подмагничивания (СДП) в магнитофонах оправдан повышением качества записи фонограмм на бытовых кассетных и катушечных магнитофонах. Но не всегда удается найти для устройства нужные радиоэлементы, особенно микросхемы. Вопросу замены некоторых из них посвящена эта статья.

В хорошо зарекомендовавшей себя конструкции СДП-2 [1] применены специализированные микросхемы: К157ДА1 и К157ХП2, не всегда доступные радиолюбителям. В ряде публикаций [2, 3] была предложена замена микросхем К157ДА1 на две операционные усилителя (ОУ). Микросхема регулируемого стабилизатора К157ХП2 также вполне заменяема.

В предлагаемом здесь варианте схемы СДП-2 использованы менее дефицитный и недорогой регулируемый стабилизатор КР142ЕН1А и ОУ К140УД6. Данная замена не ухудшает качества работы СДП-2.

Принципиальная схема устройства приведена на рис 1 (входной каскад показан для одного канала). ОУ DA1 производит дополнительное усиление для линеаризации характеристики детектора огибающей сигнала на элементах V01, C2, а микросхема DA2 КР142ЕН1А обеспечи-

вает регулирование напряжения питания генератора стирания и подмагничивания (ГСП) магнитофона. На схеме в скобках дана нумерация выводов для микросхемы К142ЕН1А. Глубину динамического регулирования подмагничивания ленты устанавливают подстроечным резистором R5. Отключать напряжение питания ГСП можно, подавая на вывод 14 (9) DA2 напряжение положительной полярности от 1,5 до 5 В.

Устройство не критично к выбору элементов схемы, микросхему интегрального стабилизатора можно применять с любыми буквенным индексом. При использовании микросхем К142ЕН1А в перемычке с вывода спогорного напряжения U_{sp} нет необходимости. Вместо примененного ОУ можно рекомендовать и другие ОУ с внутренней коррекцией, например, К140УД7, К140УД6. ОУ с внешней коррекцией необходимо использовать с ре-

комендованными цепями коррекции. Диоды могут быть заменены любыми маломощными кремниевыми, например, КД522Б, КД503Б, а транзистор КТ815А транзистором КТ818 или КТ817 с любым буквенным индексом.

Этот вариант схемы СДП использован автором в магнитофоне "Яуза-220С"; на рис.2 приведен рисунок печатной платы для желаемой повторной конструкции с микросхемой КР142ЕН1А. При монтаже входные цепи устройства соединяют не посредственно с выходами усилителя записи магнитофона, а вывод платы СДП — с шиной питания ГСП, отключенной от источника питания магнитофона.

Налаживание устройства на отличает от описанного ранее [1], однако представляется целесообразным здесь кратко изложить порядок регулировки.

Подстроечным резистором R7 устанавливают напряжение питания ГСП для феррооксидных лент (МЭК), равное 8 В, при этом выключатель SB1 и SB2 должны быть разомкнуты, как это показано на схеме. При нажатой кнопке переключателя типа SB2 резистором R6 устанавливают напряжение питания ГСП для хромдиоксидных лент (МЭК), равное 12 В, что соответствует максимально возможному выходному напряжению для микросхемы.

Регулировку оптимального тока подмагничивания в каналах сначала проводят при отключенной СДП подстроечными резисторами в цепях головок раздельно для каждого канала при записи на феррооксидную ленту по критерию максимально плоской АЧХ при малом уровне записи (—20 дБ). Установив движок подстроечного резистора R5 в среднее положение, включают режим СДП ключом выключателя SB1 и резистором R1 в обоих каналах добиваются максимальной линейности АЧХ канала записи — воспроизведения при уровне записываемого сигнала —10 дБ.

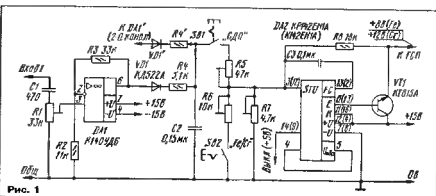
После регулировки чувствительности системы резистором R5 устанавливают пределы изменения напряжения питания ГСП при записи высокочастотных сигналов. Для лент МЭК уменьшение напряжения питания ГСП должно быть около 6 дБ (на 50%), а для лент МЭКII — 4 дБ (на 36%).

Максимальный ток стабилизатора КР142ЕН1А составляет 150 мА и при работе с хромдиоксидной лентой для некоторых магнитофонов может возникнуть необходимость большего тока для ГСП. С этой целью на выходе DA2 дополнительно включен транзистор VT1 типа КТ815А. Если ток, потребляемый ГСП, не превышает максимально допустимого для микросхемы DA2, то транзистор VT1 можно исключить и соединить цепь обратной связи (правый по схеме вывод резистора R8) с выводом 8 (13) DA2 напрямую. В этом случае микросхема DA2 будет обеспечивать питание ГСП непосредственно.

Устройство хорошо работает с различными ГСП магнитофонов, возможна также работа схемы с ГСП, описанными в журнале [4, 5].

ЛИТЕРАТУРА

1. Сухов Н. СДП-2 — Радио, 1987, № 1 с.39, № 2, с.34.
2. Докторенко Д. СДП-2 в "Орбите М 201С" и "Радиотехнике М-201С" — Радио, 1990, № 4, с. 73.
3. Моделев В. Амплитудный детектор в блоке индикации — Радио, 1988, № 5, с. 56.
4. Заряцкий М. Генератор для магнитофона — Радио, 1984, № 3, с. 44.
5. Мейер В. Генератор стирания и подмагничивания. — Радио, 1988, № 1, с. 51.



ДОРАБОТКА ПЛЕЙЕРА

Л. ВИНУКОВ, г. Самара

В предыдущем номере журнала читатели познакомились с рядом простых кассетных плееров. В некоторых из импортных аппаратов надписи на корпусе — например, "стерео" — не всегда соответствуют их содержанию. В публикуемой ниже статье даны рекомендации по доработке таких аппаратов для получения стереофонического звучания фонограмм.

В последние годы прилавки магазинов и палаток заполнили плееры производства фирм стран Юго-Восточной Азии. Как правило, они имеют неплохую исполненную механику, но схемотехника усилителей воспроизведения в них упрощена, вплоть до подмены стереотректа монофоническим, даже если в аппарате установлен двухканальный блок головок.

В результате некорректной доработки, доступной широкому кругу радиолюбителей, в ряде таких аппаратов можно получить стереофоническое воспроизведение и несколько повысить качество работы ЛПМ.

Для примера возьмем простейший плеер, на котором даже может и не быть названия фирмы, с тремя кнопками: "Play", "F.F." и "Stop". Если при осмотре платы окажется, что она заполнена дета-

ответствующей размерам прежней. Если же разработка топологии новой платы покажется сложной, а детали дефицитны, то можно доработать плеер и на его печатной плате.

Вначале несколько слов о снижении фона от двигателя. В нашем плеере шасси пластмассовое, поэтому экран магнитной головки соединен с общей шиной через оплетку экранированного провода. Чтобы снизить уровень фона от двигателя, следует для соединения экрана головки с общей шиной использовать отдельный провод. На плате его подключают к шине в месте установки разъема внешнего питания.

Улучшить работу стабилизатора скорости вращения двигателя можно, заменив, как рекомендовано в [3], резистор R9 на маломощный кремниевый диод в прямом включении.

Для обеспечения возможности прослушивания стереозаписей необходимо заменить воспроизводящую головку на стереофонический блок головок, а на свободных участках платы установить элементы второго канала, идентичные первому. С целью регулировки баланса уровней в каналах нужно между коллектора транзисторов входных каскадов включить переменный резистор сопротивле-

нием 10 кОм, соединив вывод его движка с общим проводом через полярный конденсатор емкостью 2,2 мкФ (на напряжение 10 или 16 В). Номиналы деталей могут отличаться от указанных в схеме, но они должны быть одинаковы в обоих каналах. Транзисторы — маломощные кремниевые (структуры n-p-n), например КТ3102 с индексами Б, В, Е.

Если для замены трудно найти малогабаритный блок головок, применяют обычный, предварительно доработав его. Сначала аккуратно отделяют крепежный фланец от корпуса блока головок. Затем, если необходимо, выпрямляют его и припаивают в средней части экрана, как показано на рис. 1. Величина смещения крепежного фланца определяется перед ее пайкой непосредственно на шасси.

При пайке используют кислотосодержащий флюс, соблюдая соответствующие меры безопасности. Если при замыкании плеере блок головок не выщелкает установочное и извлеченное кассеты, то доработка выполнена правильно. Если кнопка "Play" не полностью возвращается в выключенное состояние, то полную длину блока головок можно уменьшить или отгибанием, или укорочением выводов. Провод при пайке располагают так, чтобы он без петель уходил в сторону и не занимал пространство, предназначенное для перемещения головки.

Для стабилизации положения магнитной ленты по высоте в ЛПМ плеера на месте стирющей головки установлена дополнительная вилка. Иногда она несколько препятствует установке и извлечению кассеты. В этом случае ее достаточно укоротить на 1...1,5 мм.

Для питания плеера от сети пригоден, в частности, блок питания детских игрушек "ПМ-1", в котором имеется трансформатор, корпус и выпрямительный мост. Использовать нужно обмотку с напряжением 5 В. Блок питания дополнен стабилизатором напряжения, схема приведена на рис. 2. С его помощью, используя выпрямитель, можно также отладить стабилизатор скорости вращения двигателя. Обычно при напряжении питания от двух вольт и выше скорость остается стабильной.

Если у пользователя нет соответствующего соединителя для подключения внешнего блока питания к разъему плеера, установленный в нем разъем можно удлинить, а отверстие в половинках корпуса слегка расточить под стандартный микроталевый разъем. Перед установкой его следует со стороны, на которой нет выводов (рис. 3), сточить так, чтобы после фиксации в корпусе крепежной гайкой он не мешал свободному вращению регулятора баланса.

ЛИТЕРАТУРА

- Меркулов А. Кассетные плееры и их ремонт. — Радио, 1995, № 9, с. 22.
- Щакин В. Схемотехника мини магнитофонов — Радио, 1991, № 6, с. 66.
- Хужинков И. Стабилизатор скорости вращения электродвигателя. — Радио, 1993, № 3, с. 30.

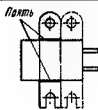


Рис. 1

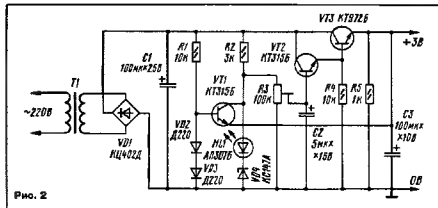


Рис. 2

лями лишь наполовину (много свободных монтажных отверстий и неиспользованных проводников), то скорей всего его схема будет соответствовать приведенной в [1, рис. 1]. Воспользовавшись рекомендациями в [2], нетрудно собрать новый усилитель на печатной плате, со-



Рис. 3

ОБЗОР НАШИХ ПУБЛИКАЦИЙ

РАДИОПРИЕМНИКИ

Конструирование радиоприемной аппаратуры — наиболее массовое увлечение среди радиолюбителей. И это понятно. Конструкции некоторых приемников, например детекторных, настолько просты, что их нередко рекомендуют для повторения начинающим радиоинженерам.

Но детекторный приемник, пользовавшийся популярностью у наших отцов и дедов, не утратил своего значения и сегодня. Его доступность, простота (он даже не требует никакого источника питания) и дешевизна привлекают к созданию радиотехники тысячи молодых людей. Именно конструирование детекторного приемника зачастую становится первым шагом в мир радиозабот.

Следующий по сложности — приемник прямого усиления. Он также привлекает радиолюбителей простотой сборки и налаживания, возможностью выполнить конструкцию практически любых габаритов. Но случается на страницах журнала "Радио" достаточно часто публикации материалов о приемниках прямого усиления.

Приобретая опыт в конструировании простейших устройств, радиолюбители непременно обращаются к более совершенным моделям, обладающим лучшими параметрами и широкими функциональными возможностями. К ним относятся приемники супергетеродина типа и прямого преобразования.

В предлагаемом обзоре наших публикаций приняты уже знакомые читателям формы представления материалов. Первые две цифры указывают не год издания, последующие — на номер журнала и страницу. Затем следуют фамилия автора, название статьи и в скобках — краткие теоретические характеристики. Если были опубликованы дополнительные сведения, то ссылка на них дается непосредственно за указанным номером журнала, в котором были помещены основная публикация.

1. ДЕТЕКТОРНЫЕ ПРИЕМНИКИ

- 92-9-51 В. Хомский. Детекторный приемник на базе ТBC.
93-11-14 А. Федорова. Приемник без источника питания (ДВ, 1 тр.)

2. ПРИЕМНИКИ ПРЯМОГО УСИЛЕНИЯ НА ТРАНЗИСТОРАХ

- 86-5-49 Д. Прохин, Г. Алтеев, Г. Потупов. Радиоконструктор "Юность 105" (СВ; +6 В, P=150 мВт, 4 тр.)
86-9-51 В. Иванов, Самодельный из Ижевска — приемник-радиоточка (ДВ, +1,5 В; P=10 мВт, 2 тр.)
87-5-38 Ю. Гусак. Повышение чувствительности "Юни"
87-6-51 В. Поляков, Б. Сергеев. Эффективность, качество и простота пяти мини-конкурса "Юность"
87-7-35, 87-8-49 В. Сергеев. 200 приемников "Юность 105" (3 схемы) — ДВ-СВ; +6 В, P=150 мВт, 7-8 тр.)
87-12-33 (88-8-52 69-10-87) В. Воротин. Модернизированный приемник "Юность 105" (СВ; +6 В, P=150 мВт, 11 тр.)
88-9-50 (88-10-90) Г. Алтеев, В. Воротин. Радиоконструктор "Юность 102" (СВ, +9 В, P=150 мВт, 8 тр.)
89-10-81 В. Егоров. Приемник беспроводной связи (акустическое сопровождение ТВ, -4,5 В, P=10 мВт, 3 тр.)
90-2-78 (88-2-32) И. Нечев. Приемник прямого усиления с переменной полосой пропускания (ДВ, СВ, +8 В, P=0,5 Вт, 8 тр., 1 мс.)
90-6-71 Г. Прилуков, О. Прилуков. Миниатюрный радиоприемник (СВ, -2,5 В; P=5 мВт, 4 тр.)
90-10-78 С. Левченко. Экономичный приемник с фиксированной настройкой — 2 схемы (КВ, -0,3...-0,7 В, P=2,5 мВт, 3 тр.)
91-10-73 В. Носенко. Универсальный детектор (радиодетектор ДВ, СВ, КВ; +12 В, 3 тр.)
93-1-38 Ю. Прокопцев. Приемник с дистан-

ционным управлением (СВ, +9 В, P=1,5 Вт; 3 тр., 1 мс.)

- 93-2-38 Ю. Выхало. Приемник-приставка к магнитофону (радиодетектор СВ, -1,5 В, 1 тр.)
93-7-26 И. Александров. Экономичный приемник с низковольтным питанием (ДВ, +1,5 В; P=2,5 мВт, 5 тр.)
93-9-19 В. Поляков. Приемник прямого усиления (СВ, +1,5 В; P=2,5 мВт, 3 тр.)
93-12-12 В. Поляков. Двухканальный усилитель приемника прямого усиления (радиодетектор СВ, +6 В, 2 тр.)
93-12-24 Ю. Прокопцев. Двухканальный приемник прямого усиления (СВ, -9 В; P=150 мВт, 5 тр.)
94-2-27 "Радио" — начинающим. Экономичный радиоприемник (ДВ, -4,5 В, P=30 мВт, 4 тр.)
94-3-10 В. Поляков. Автоматич. синхронный приемник (СВ; +8 В; P=100 мВт, 7 тр.)
94-6-24 В. Поляков. "Карманный" для рыбалки — 2 конструкции (ДВ или СВ, -1,5 и +1,5 В, P=2 мВт, 2 и 3 тр.)
94-8-23 В. Поляков. Транзисторный громкоговоритель (ДВ-СВ, +3 В; P=100 мВт, 9 тр.)
95-2-21 В. Михайлов. Трех РЧ для приемников (радиодетектор ДВ-СВ, -3 В, 4 тр.)

3. ПРИЕМНИКИ ПРЯМОГО УСИЛЕНИЯ НА МИКРОСХЕМАХ

- 91-7-60 Г. Рыбаков. Миниатюрный радиоприемник (СВ, +5 В; P=60 мВт, 1 мс, 3 тр.)
91-12-72 И. Януков. Радиоприемник на микросхеме K174XA10 (ДВ или СВ, +4,5 В, P=100 мВт)
92-5-50 (93-3-45) Ю. Прокопцев. Радиоприемник на двух микросхемах (СВ, +4,5 В; P=50 мВт, 2 тр.)
92-9-30 А. Васильев. Многобандный двухканальный приемник прямого усиления (СВ, +7,5 В; P=15 мВт, 1 мс, 3 тр.)
93-3-37 И. Нечев. Радиоприемник без катушек индуктивности (радиодетектор ДВ, +9 В, 1 мс.)
94-7-18 И. Нечев. Радиоприемник на многофункциональной микросхеме (ДВ; +3 В, P=10 мВт, 1 мс, 1 тр.)
94-10-22 И. Нечев. Миниатюрный радиоприемник (ДВ, +2,4 В; P=5 мВт, 1 мс, 2 тр.)
95-2-14 Б. Ленковский. Приемник прямого усиления (ДВ-СВ, +3,7 В, P=5 мВт, 1 мс, 3 тр.)

4. ПРИЕМНИКИ ПРОСЕДНОГО ВЕЩАНИЯ

- 88-10-43 (89-5-61, 69-7-88) Д. Миши. Приемник транзисторный на ИМС (-2 В, P=0,5 Вт, 6 мс.)
90-6-46 А. Лобков. Как снизить фон в "Сирень-203".
90-11-48 (91-6-82) А. Майоров. Трехпрограммный приемник (-220 В, P=1 Вт, 6 тр.)
94-2-22 М. Дорофеев. Простой высококачественный трехпрограммный... (-220 В, P=2 Вт; 1 мс, 2 тр.)
94-5-28 И. Нечев. Громкое вещание через радиоприемник (приставка, +4...12 В, 1 тр.)
94-12-18 И. Александров. Трехпрограммный приемник на одной микросхеме (+9 В, P=100 мВт, 1 мс.)

5. ПРИЕМНИКИ СУПЕРГЕТЕРОДИННОГО ТИПА

- 86-6-49 С. Демин. Малогабаритный УКВ приемник (СВ-КВ; +9 В, P=0,1 Вт, 10 тр., 1 мс.)
89-1-56 (89-9-93) И. Малишевский. Малогабаритный радиодетекторный приемник (ДВ, СВ, +9 В; P=0,012 Вт, 10 тр.)
89-1-65 И. Нечев. Радиоприставка к трехпрограммному громкоговорителю (ДВ, СВ, -9 В, вых. РЧ 3 тр.)
90-2-87 Зерубицкий. Конвертер для УКВ приемника (УКВ-1; +12 В, вых. РЧ 2 тр., 1 мс.)
90-4-78 (91-1-75, 92-8-80, 93-7-45) И. Нечев. УКВ приставка к трехпрограммному громкоговорителю (УКВ-1, -9...12 В; вых. РЧ 1 мс.)
90-6-48 (91-2-91, 92-2-31) Г. Прилуков, О. Прилуков. КВ радиодетекторный приемник (КВ-25 м, -3,7 В, P=0,050 Вт, 13 тр.)
90-6-80 Зерубицкий. КВ конвертер (КВ 4, 18 МГц; +12 В, вых. РЧ 3 тр.)

- 90-9-50 90-10-62 (91-8-85) Р. Балинский. Малогабаритный КВ приемник (КВ; +6 В; P=0,15 Вт; 9 тр., 4 мс.)
90-12-81 (91-5-74, 94-7-44) М. Монахов. УКВ конвертер (УКВ-1; +1,5 В, вых. РЧ 3 тр.)
91-5-88 (94-4-48) И. Нечев. Радиоприемная приставка к трехпрограммному громкоговорителю (ДВ, СВ, питание от ПТ, вых. РЧ 4 тр., 1 мс.)
91-9-54 И. Нечев. УКВ-КВ приемник (КВ, -9,5...12 МГц УКВ-1, +9 В; P=0,1 Вт; 1 мс, 5 тр.)
91-8-42 (93-3-45) В. Трошев. Ультракоротковолновый переносный радиоприемник (УКВ-1 +9 В, P=0,1 Вт, 9 тр., 4 мс.)
91-12-62 Ю. Прокопцев. КВ приставка к радиоприемнику
91-12-61 А. Флоранс. Прием УКВ ЧМ стандарт на зарубежных приемниках (УКВ-1)
92-6-21 Г. Соловьев. КВ тонер (КВ 5,8 18 МГц, -2,5 В; P=0,01 Вт, 8 тр.)
92-8-44 (92-9-59) И. Александров. УКВ конвертер (УКВ-1, +3...5 В, вых. РЧ 2 тр.)
92-12-19 И. Нечев. Конвертеры КВ диапазонов (2 схемы) КВ 13...40 м, -6 В, вых. РЧ 2 тр.)
93-5-27 Ю. Прокопцев. КВ приставка к радиоприемнику (КВ, +4,5 В; вых. РЧ 1 мс.)
93-7-12 (94-2-41) В. Полеткин. УКВ приемник с часами (УКВ-1, -220 В, P=15 Вт, 6 мс.)
94-4-15, 94-7-57, 94-6-14 М. Алтыгулер. Экономичный УКВ приемник (УКВ-1, -9 В, P=0,1 Вт, 20 тр., 4 мс.)
94-8-6 И. Герасимов. Двухдиапазонный УКВ приемник (УКВ-1, УКВ-2, +2,2 В, P=0,015 Вт, 6 тр., 1 мс.)
94-10-13 В. Степанов. Универсальный УКВ конвертер (УКВ-1, УКВ-2, вых. РЧ 2 тр.)
94-12-19 Турки. УКВ конвертер (УКВ-1, УКВ-2, +3 В, вых. РЧ 1 тр.)

6. ПРИЕМНИКИ ПРЯМОГО ПРЕОБРАЗОВАНИЯ

- 85-12-26 (87-2-63) А. Захаров. УКВ ЧМ приемник с ПАЧТ (2 схемы) — УКВ-1, +3 и +1,5 В, P=0,05 и 0,005 Вт; 5 и 7 тр.)
86-5-36 И. Погожев. УКВ приемник с ПАЧТ (УКВ-1, +6 В, вых. РЧ 4 тр.)
87-10-15 (89-9-34) А. Захаров. "Колыбель" стереосигнала в УКВ ЧМ приемниках (2 схемы) — УКВ-1, +1,5 и +3 В, P=0,01 Вт; 6 и 4 тр.)
88-10-55 В. Ринский. УКВ приемник на выделенной микросхеме (УКВ-1, +4,5 В, P=0,01 Вт, 1 мс.)
90-1-44 А. Захаров. Стереодетектор с коррекцией частотных предельных (УКВ-1, стерео, +1,5 В, P=0,005 Вт, 10 тр.)
90-11-49 Д. Александров. Простой УКВ ЧМ приемник (УКВ-1, +1,5 В, P=0,005 Вт, 3 тр.)
91-10-66 (92-7-60) В. Власов. Простой ЧМ детектор (УКВ-1 стерео, +3 В, P=0,01 Вт, 7 тр.)
91-10-73 В. Костенко. Универсальный детектор (ДВ, СВ, КВ, +12 В, вых. РЧ 3 тр.)
92-6-43 А. Есенков. Синхронный АМ детектор на одной микросхеме.
94-1-15 И. Герасимов. Двухдиапазонный УКВ-стерео (УКВ-1, УКВ-2, +4...9 В, P=0,025 Вт, 11 тр., 4 мс.)

7. ДОРАБОТКА ГРОМКОВУЩЕНЫХ ПРИЕМНИКОВ

- 88-10-42 В. Скорик. Прием звукового сопровождения телевизионной программы (Ирэн-401)
89-5-70 Н. Гладков. Динамическое снижение шума в тонере "Ластик-300-стерео".
90-6-34 Ю. Трухачев. Изменение диапазона приема "Синд" (ведение диапозона 19...25, 25...31, 31...41 м)
90-7-56 Е. Карнухов. Диапазон 16...49 м в радиоприемнике "Харц РГ 308"
91-6-47 И. Бурнашев. "Ирэн-401" — УКВ тонер автомобильного радионауслеска
91-6-47 Д. Астахов. Диапазон 19 м в "Синдоре-231"
91-7-58 Ю. Прокопцев. Диапазон 19, 16 и 13 м в радиоприемниках "Синдоре" и "ВЭФ"
92-4-30 В. Поляков. Стереоскопическая система радиовещания с пилоттоном (2 схемы)
93-1-30 И. Савельева. Переключатель УКВ диапазонов (УКВ-1, УКВ-2)
93-2-32 И. Ветков. Перекрытие импортных приемников на отечественный УКВ диапазон (УКВ-1)
93-3-43 И. Гаврилов. Диапазы 16 м в "Гарнет-дес-стерео".
93-8-18 Ю. Беляков. Конвертер для приема звукового сопровождения телевизионных передач (11—12 каналы ТВ; -9 В, вых. РЧ 2 тр.)
94-3-31 В. Кузнецов. Прием звукового сопровождения III телевизионного канала ("VEF-214")

ПРОГРАММАТОР МИКРОСХЕМ ПЗУ

С. КУЛЕШОВ, Ю. ЗАУМЕННЫЙ, г. Балашиха Московской обл.

Предлагаемый вниманию читателей программатор ПЗУ для IBM PC относительно прост, но по сравнению с другими устройствами подобного назначения обладает рядом преимуществ: благодаря применению однокристалльной микро-ЭВМ он компактен и экономичен; мощное программное обеспечение делает работу на нем удобной и эффективной; изменением внутренней программы его можно приспособить для программирования новых типов микросхем. Желающие могут приобрести программатор в редакции журнала.

В огромном многообразии изделий электронной техники семейство программируемых микросхем занимает особое место. В него входят программируемые постоянные запоминающие устройства (ППЗУ), однокристалльные микро-ЭВМ (ОЭВМ), программируемые логические матрицы (ПЛМ), программируемые логические интегральные микросхемы (ЛИИС). Сюда же можно отнести так называемую флеш-память, популярность которой стремительно возрастает. Трудно представить современное цифровое устройство, в котором не использовались бы представители этого семейства. Так, например, для управления микропроцессорными устройствами используются программы, как правило, хранящиеся в ППЗУ, на базе ОЭВМ все чаще разрабатываются различные контроллеры, ПЛМ и ЛИИС вытесняют традиционные логические микросхемы малой и средней степени интеграции. ППЗУ широко применяются в персональных компьютерах: в них хранятся BIOS, шрифты энциклопедических видеоадаптера и принтера.

Специфика программируемых микросхем на позволяет использовать их без подготовки: перед установкой в устройство их необходимо определенным образом настроить — запрограммировать. Делают это с помощью специальных устройств — программаторов.

Программаторы делят на автономные и неавтономные, внутренние и внешние, специализированные и универсальные. Автономный программатор может работать самостоятельно, неавтономный управляется компьютером, к которому его можно подключить через стандартный порт — последовательный или параллельный (в этом случае программатор — внешний), либо (если программатор выполнен в виде платы расширения компьютера) установить в корпус системного блока (такой программатор называют внутренним). Универсальные программаторы рассчитаны на работу с микросхемами различных типов, а специализированные — только вполне определенного типа.

Определив, какой программатор необходим, можно, толкаясь исходя из решаемых задач. Автономные программаторы, не имеющие связи с компьютером, можно использовать только как копировщики микросхем, и поэтому они вряд ли подойдут разработчикам электронной

аппаратуры. Внутренние программаторы работают, как правило, намного быстрее, чем внешние, но их лучше использовать в специально выделенном компьютере, тогда как внешний программатор можно быстро и просто подключить к любому компьютеру. Наконец, понятно, что чем больше микросхем обслуживает программатор, тем лучше, но, во-первых, их существует программатор, который мог бы выучить во всех случаях (ведь разработчики микросхем ППЗУ постоянно пополняют список своих изделий), а во-вторых, такие программаторы существенно дороже. Поэтому, если известно, с какими микросхемами предстоит работать, вполне подойдет и специализированный программатор.

Авторы статьи с 1992 г. занимаются разработкой и производством программаторов серии "Мастер". На примере одного из них — программатора "Мастер РФ" (предназначен для программирования ППЗУ 2716—27512) — мы познакомим читателей с проблемами, возникающими при разработке устройств такого рода, и попробуем оценить удачность найденных решений. Условимся, что далее под ПЗУ мы будем подразумевать ППЗУ со стиранием информации ультрафиолетовым облучением. Итак,

ПРОГРАММАТОР "МАСТЕР РФ"

Принципиальная схема программатора изображена на рис. 1. Его основной элемент — ОЭВМ DD1 (KP1816BE31). Сие содержит встроивший тактовый генератор, к выводам X1 и X2 которого подключен внешний кварцевый резонатор ZQ1 на частоту 11 МГц. Такое значение частоты позволяет устанавливать максимальную скорость обмена по последовательному порту 57600 бит/с. Системный сброс осуществляется подачей импульса положительной полярности на вход RESET, для чего к нему подсоединен электролитический конденсатор C1. При включении питания цепь R1C1 формирует короткий импульс положительной полярности, запускающий ОЭВМ. Управляющая программа находится во внешнем ПЗУ DD3. Поскольку ОЭВМ DD1 имеет совмещенную шину данных и младших восьми бит адреса, регистр DD2 формирует младшие восемь адресов при

обращении к ПЗУ. Для формирования старших адресов используются пять разрядов порта P2 ОЭВМ. "Защелкивание" младших адресов осуществляется сигналом ALE. Для обращения к ПЗУ используется сигнал PSEN. (Заметим, что применение ОЭВМ с внутренним ПЗУ значительно упростило бы схему, но, к сожалению, отечественные аналоги ко времени разработки не были освоены промышленностью, а импортные ОЭВМ серии 6751 стоили на порядок дороже микросхем без ПЗУ). ОЭВМ KP1816BE31 имеет внутреннее ОЗУ объемом 128 байт, которое используется для организации буферной памяти программатора.

Микросхемой DD8 на схеме обозначена 40-гнездная розетка, в которую вставляются выводы программируемых микросхем. Так как описываемое устройство рассчитано на программирование ПЗУ с объемом памяти от 2 до 64 Кбайт, схемотехника программатора должна позволять использовать некоторые выводы розетки в одном случае для подачи сигнала адреса, а в другом — для подачи управляющего или питающего напряжения. Данные для программируемой микросхемы поступают на розетку с порта P1 ОЭВМ DD1.

Регистры DD12 и DD13 служат буферными усилителями адресных сигналов программируемой микросхемы, при этом сигналы A0—A10, A12, A14 подаются на порадостовно на гнезда розетки, а адресные входы A11, A13 и A15 для разных микросхем используются по-разному.

Ключи, собранные на транзисторах VT2, VT3 и VT5, работают одинаково и позволяют подавать на розетку либо сигнал адреса, либо программирующее напряжение, в зависимости от установленной микросхемы. Ключ на транзисторе VT6 обеспечивает подачу на гнездо 28 питающего напряжения для микросхем ПЗУ в корпусе DIP24 (K573PФ2, K573PФ5, 2716, 2732). Сигналы управления подводят к ключам с регистра DD11.

На вход программатора, кроме напряжения питания +5 В, подаются напряжения +10 В и +30 В, из которых с помощью управляемых стабилизаторов DA1 и DA2 формируется необходимый набор программирующих напряжений. Элементы DD7.1, DD7.2, DD7.3, DD7.4 и DA2 позволяют получить напряжения 12.5; 21, 23 и 25 В соответственно. Транзистор VT4 и стабилизатор DA1 служат для формирования питающего напряжения на контактный устройства. 5 В при этом информации из микросхемы и 6 В при программировании. Для выбора того или иного напряжения используются свободные выходы регистра DD11 и выходы T0, T1 ОЭВМ DD1. Выходы INT0 и INT1 используются для формирования сигналов CE и OE соответственно.

Элементы DD10.1, DD10.2, DD10.3 выполняют функцию дельфиторов при обращении к регистрам DD11—DD13. Светодиод HL1 (VD8) загорается после включения питания и мигает во время выполнения программатором какой-либо операции.

ОЭВМ DD1 имеет встроивший последовательный порт (выводы TXD, RXD), поэтому организован прием и передача информации по последовательному каналу несложно. После сброса программатор настраивается на скорость обмена 9600 бит/с.

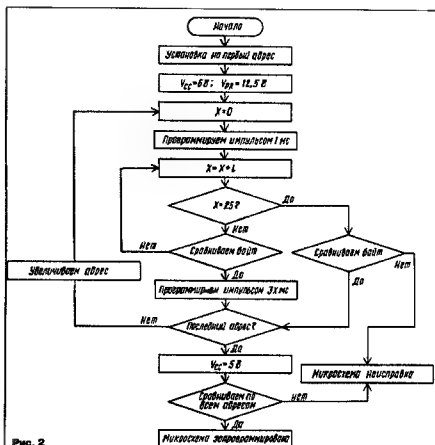


Рис. 2

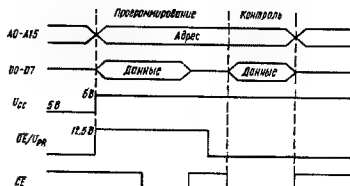


Рис. 3

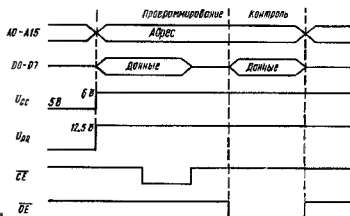


Рис. 4

СВЯЗЬ ПРОГРАММАТОРА С IBM PC

Для работы с программатором последовательный порт компьютера должен быть запрограммирован следующим образом: длина слова восемь бит, без контроля четности, два стоп-бита и скорость 9600 б/с. Схема соединительного кабеля для 25-контактного разъема показана на рис. 5.

Компьютер управляет программатором с помощью определенного набора команд. Общий формат команды.

<I>— <код+тип> <надр.> <кадр> <кс>.

где I—1 — байт длины команды, уменьшенной на 1, в данном случае 4; код+тип — байт, определяющий команду и микросхему (перечень возможных команд — см. ниже); надр. — начальный адрес в ПЗУ (два байта); кадр. — конечный адрес в ПЗУ (два байта); кс — младший байт контрольной суммы (контрольная сумма подсчитывается следующим образом: в послышке суммируются все байты, кроме байта длины и байта контрольной суммы).

Передача команды, компьютер должен получить подтверждение от программатора о ее успешном приеме. Такая же процедура используется и при обмене данными, что значительно уменьшает вероятность появления ошибок.

Команды управления программатором: #00 — выбор типа микросхемы; #30 — проверка чистоты ПЗУ; #20 — чтение информации из ПЗУ, #10 — программирование ПЗУ, #40 — включение/выключение повышенной скорости обмена.

УПРАВЛЯЮЩАЯ ПРОГРАММА

Управляющая программа должна обеспечить пользователю удобную работу по программированию микросхем. Программное обеспечение описываемого программатора позволяет:

- выбрать тип ПЗУ (из списка);
- установить в нем начальные и конечные адреса;
- проверить ПЗУ на чистоту;
- считать его содержимое в буфер;
- программировать ПЗУ содержимым буфера;
- считать файл в буфер;
- поддерживать различные форматы файла (BIN/HEX);
- устанавливать смещения от начала файла;
- устанавливать смещения в буфере;
- сохранять содержимое буфера в файл;
- сравнивать содержимое ПЗУ и буфера;
- просматривать и редактировать считанную информацию.

Под буфером здесь понимается область оперативной памяти компьютера, где временно размещаются данные.

Компьютер и программатор обмениваются данными согласно описанному выше протоколу. Поскольку память программатора невелика, на компьютер вселожена функция передачи и приема данных порциями. Величина порции данных равна максимальному объему памяти программатора, выделенной под буфер.

ЗАКЛЮЧЕНИЕ

Растущая популярность ОЗВМ сформировала потребность в доступных устройствах для их программирования. Оказалось, что описанный программатор с небольшими изменениями может быть использован и для программирования ОЗВМ. Дело в том, что для микросхем семейства 8748 и 8751 применяются те же алгоритмы, что и для ПЗУ (STANDARD 50 ms, INTELLIGENT 1 ms 3X, QUICK-PULSE) и почти такой же набор программируемых напряжений (12,5; 12,75, 18, 21 и 25 В). Поскольку ОЗВМ семейства 8751 имеют средства защиты, программатор должен позволять программировать биты секретности микросхем.

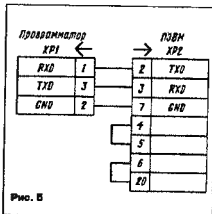


Рис. 5

В настоящее время серийно выпускаются программаторы "Мастер РФ" (предназначен для программирования ПЗУ 2716—27040), "Мастер МК" (для ПЗУ 2716—27512 и ОЗВМ 8748, 8749, 8751, 8752), "Мастер ПЛИС" (для ПЛИС фирмы ALTERA 85C220, 85C224, 85C22V10, EP600, EP900). Все они выполнены в пластмассовом корпусе размерами 170х90х50 мм и внешне различаются только типом и числом разъемов для установки микросхем (применительно используются розетки с нулевым усилием РС2-40-7). По указанной в начале статьи классификации все названные программаторы — автономные внешние специализированные. Каждый из них имеет отдельный блок питания, выполненный в виде сетевой вилки, и подключается к компьютеру через последовательный порт.

Список программируемых устройств микросхем постоянно увеличивается. Так, например, в перечень ПЗУ уже сегодня включены микросхемы с 16-битной организацией данных (271024—274096), на очереди поддержка ПЗУ с влоскратным стиранием информации и флэш-памяти.

ЯЗЫК ФОРТ ДЛЯ «РАДИО-86РК»

СОВЕТЫ ПО ПРОГРАММИРОВАНИЮ

Н. ШИХОВ, г. Козьмодемьянск, Республика Марий-Эл

СТРУКТУРНОЕ ПРОГРАММИРОВАНИЕ

Как и подобает любому солидному языку, а в этом он превосшел, пожалуй, и ПАСКАЛЬ, язык ФОРТ позволяет писать структурированные программы любой степени сложности без использования меток. Хотя словарь ФОРТА на фиксирован, и даже начинающий программист может описать слово, вводящее понятие метки, он быстро убедится в полной бесполезности этого открытия, так как в базовом словаре имеются все необходимые слова для описания ветвлений, циклов с проверкой условия как в начале, так и в конце цикла, а также циклов со счетчиком. Основным словом, позволяющим реализовать упомянутые структуры, является слово IF. Как и прежде, рассмотрим его работу на простом примере:

```
IF ПРИМЕР1 KEY DUP [ HEX ] 20 =
: IF " ПРОБЕЛ " DROP
ELSE EMIT
THEN " - ЭТА КЛАВИША ИСПРАВНА " ;
```

Как работает это слово? Слово KEY ожидает нажатия клавиши и помещает в стек код символа, введенного с терминала. Затем слово DUP кладет в стек число 20H, а слово = сравнивает эти числа и возвращает в стек либо TRUE (т. е. -1), если эти числа равны, либо FALSE (т. е. 0), если они не равны. Слово IF берет логическое значение, оставленное словом =, и если оно имеет значение TRUE, то выполняет операторы, расположенные за словом IF (см. пример 1), если бы введен код пробела 20H, то будет напечатано слово "ПРОБЕЛ". Затем слово ELSE передает управление на операторы, стоящие после слова THEN. Если же слово IF возьмет из стека значение FALSE, то оно передаст управление на операторы, стоящие после слова ELSE. Слово THEN не выполняет никаких действий, а лишь расставляет на этапе компиляции правильные адреса для ссылки вперед в слове ELSE или IF (если ELSE отсутствует). Конечно же, парность операторов IF THEN абсолютно необходима, и хотя в данной версии она и не проверяется самим компилятором, программист должен сам строго следить за соблюдением этого правила. В общем виде структуру слов с операторами ветвления можно описать примерно так:

полная альтернатива:

```
: имя <операторы, оставляющие в стеке условие>
IF <операторы выполняются, если в стеке было TRUE>
ELSE <операторы выполняются, если в стеке было FALSE>
THEN <операторы выполняются всегда>;
```

или неполная альтернатива:

```
: имя <операторы, оставляющие в стеке условие>
IF <операторы выполняются, если в стеке было TRUE>
THEN <операторы выполняются всегда>;
или неполная альтернатива с инверсией:
: имя <операторы, оставляющие в стеке условие>
IF ELSE <операторы выполняются, если в стеке было FALSE>
THEN <операторы выполняются всегда>;
```

Для инверсии логического значения на стеке можно применить и слово OR-, но это несколько медленнее, чем ELSE.

После столь подробного описания операторов ветвления желательнее поупражняться в написании слов с их использованием. Заметим, что все структурные операторы имеют признак IMMEDIATE и могут использоваться только в описаниях других слов в режиме компиляции. В режиме интерпретации они на выполняются, о чем было сказано выше. На самом деле эти слова только компилируют на вершину кодофайла несколько машинных команд, которые будут исполняться только при исполнении слова, внутри которого они скомпилированы. В табл. 8 приведен список слов, которые также используются только в режиме компиляции.

Для демонстрации работы операторов цикла приведем несколько примеров:

```
ПРИМ2 BEGIN KEY DUP 20 = IF ELSE
REPEAT DROP " ПРОБЕЛ " ;
```

Это слово циклически спрашивает клавиатуру и печатает ASCII коды нажатых клавиш, при нажатии клавиши с кодом 20H (пробел) цикл заканчивается. Следующее слово работает примерно так же, но цикл заканчивается при нажатии на клавишу управления с кодом < 20H.

```
: ПРИМ3 BEGIN KEY DUP 19 > IF EMIT
REPEAT SPACE " Это код управления " ;
```

Следующее слово сразу после написания поздравит вас три раза:

```
DECIMAL : HELLO 22 10 6+ DO CR " ПОЗДРАВЛЯЮ " REPEAT ; HELLO <BK>
```

ПРОГРАММИРОВАНИЕ В МАШИННЫХ КОДАХ

До этого мы использовали только примитивы базового словаря, но подпрограммный шитый код позволяет вставлять в описания слов непосредственные машинные команды. Например, слово S, включая команды PUSH H и POP B и расценивая содержимое арифметического стека без его изменения:

```
: S. DUP [ HEX E5 C, C1 C. ] 107A -2 + DO
I @ . REPEAT ;
```

или то же самое:

Окончание. Начало см. в "Радио", 1995, № 7, 8

Таблица 2

№	Состояние стека	Комментарий
1	→	Передает систему в режим интерпретации
1	→	Передает систему в режим компиляции
1	→	Компилирует команду RET и передает систему в режим интерпретации
IF XXX	C →	Если C=TRUE, то исполняется XXX
ELSE YYY	→	Если C=FALSE, то исполняется YYY
THEN ZZZ	→	ZZZ исполняется всегда
BEQW ZZZ	→	Начало цикла с условием. ZZZ исполняется всегда и обрывается в стеке логическое значение
IF XXX	C →	Если C=TRUE, то исполняется XXX, если C=FALSE, то выходы из цикла
REPEAT	→	Операторы стека, парные с BEGIN IF, образуют операторы цикла ZZZ и XXX
DO XXX N1 N2 N3	→	Считает со стека количество N1 и начальное N2 значение параметра цикла N3 и выводит: DOXXX-N2/N1 раз; при завершении параметр N3 выводится из цикла
REPEAT	→	Операторы стека, парные с DO, образуют операторы цикла ZZZ
1	→	Каждый в стеке значение оператора цикла
1	→	Каждый в стеке значение внешнего (обобщенного) цикла при выводе значения цикла
1	→	Вычисляется на протяжении сообщения

Таблица 3

Адрес (HEX)	Назначение
0000-0FFF	Коды базового словаря
1000-10FF	Стеки операторов
1000-1042	Вектор F809, вектор на подпрограмму вывода символов для KEY
1043-104F	Вектор F809, вектор на подпрограмму вывода символов для END
1050-107F	Вектор адреса LFA последнего стека в словаре
1080-109F	Вектор перемещения HERE
10A0	Вектор отсоединения текущей системы от машины
10B0	Вектор прихода режима 00 - интерпретации, FF - компиляции
10C0-10AF	Вектор адреса чипотранспортируемого символа (символы LETTERSET)
10B0-10AF	Вектор адреса, по которому ФОРТ записывает расширенный словарь
1050-107F	Вектор для преобразования числа в строку символов (тогда)
1000-107F	Арифметический стек
1070-107F	Вектор адреса
1080-10FF	Вектор для вывода кодов с терминала
1100	Начальный адрес области кодирования слов

Таблица 4

Регистр	Назначение
PC	Используется при выводе
DE	Используется при выводе
BC	Векторы арифметического стека
SP	Указатель арифметического стека
BP	Указатель стека возвращаемых значений
PC	Счетчик команд

граммы происходит обращения по абсолютным адресам), приведем распределение адресного пространства, адреса рабочих ячеек интерпретатора и назначенные регистры процессора (табл. 3 и 4).

Как видим, верхнее число, лежащее в стеке, на самом деле находится в регистрах паре BC, чем и объясняется высокая скорость работы ФОРТ-системы с вершины стека (вспомните S.) Слово DUP делает копию содержимого регистра пары BC примерно так:

```
MOV M B
DCX H
MOV M C
DCX H
а слово DROP снимает число с вершины
стека так:
INX H
MOV C M
INX H
MOV B M
```

Регистровыми парами PSW и DE пользуются почти все слова базового словаря, поэтому сохранность информации в этих регистрах не гарантируется.

Для упрощения попробуем написать в машинных кодах слова, повторяющие функции слов DUP и DROP. Следует избегать повторного использования имен слов, так как в данной версии их поиск производится от начала словаря, и всегда будет исполняться слово, написанное раньше. В версиях языка, где список связан от конца к началу, повторное описание слова делает недоступным более раннее описание.

В заключение приведем текст небольшой вирусной программы, которая, будучи один раз исполненной, перехватывает вектор вывода на дисплей и обрабатывает код 09H, что командой горизонтальной табуляции. Для ее написания потребовалось всего несколько минут. Читателю предлагается обратить внимание не действие слов, ограниченных словами [] и, и расшифровать их смысл.

```
CREATE CUR 0
TAB DUP TAB [ 01 HERE 3 - C' ] 1044 !
DUP 9 -
IF 20
BEGIN
F809 EXECUT
CUR @ 1 + DUP CUR ! 7 AND
IF REPEAT DROP
ELSE
DUP 0D =
IF 0 CUR !
ELSE CUR @ 1 + CUR !
THEN F809 EXECUT
THEN ;
```

Как видим, написание вируса не такое уж и сложное дело. Но вряд ли стоит этим заниматься. Гораздо полезнее написать полезную программу. Вручая читателю свой труд, автор надеется, что именно этому они посвятят свое время и безграничную фантазию.

ПЕРЕМЕННЫЕ

В предыдущем примере мы использовали слово CUR, которое описано не через двоичные, а словом CREATE. Что это за слово? Это — переменная. Переменные в языке ФОРТ называются словами, являющиеся на вершине стека адрес этой переменной (точнее, адрес PFA, в котором и хранится информация). Переменные могут быть одно- и двухбайтными и образуются следующим образом:

```
CREATE <ИМЯ ПЕРЕМЕННОЙ> 1 ALLOT
или
CREATE <ИМЯ ПЕРЕМЕННОЙ> N C,
```

двухбайтные переменные:

```
CREATE <ИМЯ ПЕРЕМЕННОЙ> 2 ALLOT
или
```

```
CREATE <ИМЯ ПЕРЕМЕННОЙ> N .
```

В последних примерах переменной еще и присваивается начальное значение N. Доступ к переменным обеспечивается словом:

```
C! — записи байта из стека в переменную;
```

```
1 — записи числа из стека в переменную;
```

```
@ — чтение байта из переменной в стек,
```

```
@ — чтение числа из переменной в стек.
```

Попробуйте практически ознакомиться с переменными, так как личный опыт, к сожалению, ничем заменить нельзя.

МАССИВЫ

Массивы — более общий случай переменных и отличаются от последних только размером. Например, команда

```
CREATE ARR3 0, 0, 0,
```

```
или
```

```
CREATE ARR3 6 ALLOT
```

создает массив из трех слов (т. е. шесте байт). Особый интерес представляют массивы, заполненные литералами. Попробуем создать такой массив командой

```
CREATE ARR3 " МАССИВ, ЗАПОЛНЕННЫЙ
```

```
ТЕКСТОМ"
```

Попробуйте распечатать этот массив командой

```
ARR3 TYPE CR .
```

Слово TYPE распечатает текст, записанный в массиве, и вернет адрес стоп-байта, записанного в конце массива словом " (кавычки). Так как в стоп-байте семь бит несут информацию о длине массива, то не рекомендуется записывать в массив больше 127 символов (хотя этим правилом можно иногда и пренебречь). Эти же рекомендации относятся и к слову " , которое используется услугами слова " .

КОНСТАНТЫ

Константы в данной версии языка проще всего описывать так же, как и другие ФОРТ-слова, через двоичные. Например:

```
TRUE -1 ; FALSE 0 ; и так далее.
```

Но иногда необходимо создать константу со значением, взятым из стека. В этом случае можно поступить двояко: либо создать константу и записать в нее новое значение, либо описать слово, которое будет само создавать константу. Одно из возможных решений — слово CONST:

```
CONST CREATE HERE 3 -1 ;
```

Обращение к этому слову имеет вид

```
<НАЗНАЧЕНИЕ> CONST <ИМЯ КОНСТАНТЫ>
```

Например:

```
-1 CONST TRUE 0 CONST FALSE
```

РАСШИРЕНИЕ СИСТЕМЫ ФОРТ

Конечно, расширение языка ФОРТ происходит и без вашего желания, хотя и не без вашего участия. Чтобы не "изобретать велосипед", старайтесь больше читать и использовать возможно большее число слов, уже достаточно установленных или стандартизированных в других версиях. Это облегчит чтение ваших программ и позволит использовать программное обеспечение, написанное другими.

Начать легче всего с включения в ФОРТ-систему стандартных подпрограмм МОНИТОРА и программ или подпрограмм, написанных на АССЕМБЛЕРЕ. Для

```
: S.DUP [ HEX C1E5 , ] 107A -2
+DO ! @ . REPEAT ;
```

Программирование в машинных кодах является обобщенным свойством данной реализации, поэтому для того, чтобы не нанести непоправимого вреда ФОРТ-системе (особенно, если в про-

примера опишем процедуры ввода кода нажатой клавиши и опроса состояния клавиатуры:

```
:?KEY 0 F81B EXECUT [4F C,];
: ?TERM DUP F812 EXECUT [4F47,];
```

Подобным же образом, используя вставки в машинных кодах, можно описать обращения к любым программам и подпрограммам (например, так подключают редактор "МИКРОН"). Следует только позаботиться о стандартной передаче параметров через арифметический стек, т. е. регистровую пару BC и область памяти, адресуемую парой HI. Следует также позаботиться и о том, чтобы вставленные программы на нарушали работы вставки. Исходные текст программы, написанные на АССЕМБЛЕРЕ, можно включить в ФОРТ-систему и другим способом, используя тот факт, что область кардифайла пользователя и область трансляции АССЕМБЛЕРА "МИКРОН" расположены в одном и том же месте ОЗУ, начиная с адреса 1100H. Снабдите все ваши подпрограммы заголовком, аналогичным полям LFA и NFA других слов ФОРТ-системы.

На АССЕМБЛЕРЕ это выглядит так:

```
LFA: DW @PFA           ; поле LFA
NFA: DB 'IMY'          ; ASCII-ходы имени
STB DB STB-NFA+80H     ; стоп-байт
CFA ...                ; коды программы
```

```
...
PIET ...                ; параметры
PFA: ...                ; программы
```

```
@PFA: ...                ; конец описания слова
```

Загрузите АССЕМБЛЕР "МИКРОН", скомпилируйте программу, а затем, загрузив ФОРТ, занесите в ячейки памяти по адресу 80CH адрес LFA последнего слова, а по адресу 80EH — слово, записанное по этому адресу, т. е. @PFA (см. выше). Запустите или перезапустите ФОРТ командой COLD, вы включите описанное слово в ФОРТ-систему. Подобным образом можно унифицировать и включить в систему любую программу, написанную на АССЕМБЛЕРЕ. Еще один способ позволяет написать программу, которая может использоваться и без ФОРТА. Введите команды:

```
HEX 7400 HERE — ALL0T
2F3E, C23D, 7402, 0021
3E21, CD08, F806, 00FA
7774, C232, 7409,
```

После этого по адресу 7400H будут вписаны коды программы, которую можно запустить командой 7400 EXECUT или из МОНИТОРА командой G7400 <BK>. Не вдаваясь в подробности, отметим, что эта программа позволяет вводить с кассеты тексты, записанные в формате редактора "МИКРОН", не только с начала, но и с любого места, даже с середины.

На этом описание работы с ФОРТОМ можно закончить. Остается только добавить, что после того, как написано и установлено какое-либо слово в пультосов режиме, желательно командой 0 EXECUT выйти в редактор и "увековечить" находку в виде текста, который затем будет автоматически исполняться после входа в ФОРТ систему или после "холодного" старта словом COLD.

Желаю успехов!

«SPECTRUM» - СОВМЕСТИМЫЙ КОМПЬЮТЕР

М. БУН, г. Москва

ПОРТЫ ВВОДА-ВЫВОДА

Sp-компьютер, как и любой другой, использует в своей работе различные устройства, которые подсоединяют к линии микропроцессора через предназначенные для этого порты ввода-вывода. В общем случае порт ввода представляет собой ряд трехстабильных элементов, выходы которого подключены к шине данных, а порт вывода — регистр, входы которого также подключены к этой же шине. Для обращения к порту процессор выставляет на линии адреса код, соответствующий его номеру, и активизирует линию I/OQ и одну из линий либо RD (при чтении данных из порта ввода), либо WR (при записи в порт вывода). Состояние всех названных сигналов дешифрируется и подается либо на вход разрешенных выходов трехстабильных элементов, либо на вход записи данных регистров.

Все внешние устройства, используемые Sp-компьютером, условно можно разделить на основные и вспомогательные. Основные расположены непосредственно на плате Sp-компьютера, они необходимы ему для обеспечения нормальной работы. К таким устройствам относятся клавиатура, регистр цвета бордюра, вход-выход накопителя на магнитной ленте и звуковой канал. Вспомогательные устройства ввода-вывода, расширяющие функциональные возможности компьютера, подключают к нему через разъемные соединители. К ним относятся джойстик-манипулятор, принтер, накопитель на магнитных дисках и т. п. устройств.

Различные вспомогательные устройства с точки зрения схемотехники имеют разную конструкцию подключения. Так, например, джойстик и принтер соединяют с компьютером через разъемы, к которым в компьютер подключены порты с конкретными адресами (I/FH и D/FH — джойстик, Z/FH — данные принтера, I/FH — управление принтером). В то же время накопитель на гибких магнитных дисках подключают через устройство, называемое контроллером накопителя, к шине

процессора. Контроллер содержит ряд портов, которые управляют самим накопителем и процессами считывания данных с диска и записи на него.

Среди портов Sp-компьютера особое место занимает порт с номером 254 (FEH). Он имеется в любом компьютере, совместимом с "ZX Spectrum". Номер порта выбран не случайно. При обращении к нему процессор в младшем байте адреса выставляет код, в котором в нулевое состояние установлен единственный разряд A0. В этом случае максимально упрощается аппаратная реализация дешифрации номера порта, которая осуществляется одной линией A0 шины адреса.

Каждый из разрядов порта 254 выполняет различные функции. Назначение битов приведено в табл. 2.

При обращении к порту 254 процессор активизирует (устанавливает в нулевое состояние) сигнал шины управления I/OQ и в зависимости от операции (чтение или запись) либо сигнал RD, либо WR. Они подаются (см. рис. 21) на входы элементов D012.1 и D012.4, на выходы которых формируются сигналы с нулевым логическим уровнем, либо RD.I/OQ (чтение из внешнего устройства), либо WR.I/OQ (запись во внешнее устройство), которые подаются к входам соответственно элементов D012.2 (выход 4) и D012.3 (выход 10). На их выходы входы через буфер D07 поступают в младший разряд шины адреса A0, который установлен в состояние логического 0. Таким образом, на выходе элемента D012.2 формируется сигнал чтения из порта 254 — RD.254, а на выходе D012.3 — запись в порт 254 — WR.254.

Сигнал WR.254 поступает на входы C регистра D034 и триггера D025.2 и D025.1. Фронтот тактового сигнала состояния трех младших разрядов шины данных записывается в регистр D034, а состояние четвертого и пятого разрядов в триггеры D025.2 и D025.1 соответственно. Выходы регистра D034 (высходы 13, 12, 11) управляют цветом свечения бордюра. Сигнал с выхода триггера D025.2 через корректирующую цепь C31C32P68 подается на вход записи магнитофона, благодаря чему можно сохранить имеющуюся в компьютере информацию (программы, коды, данные) на кассете.

Два взаимозаменяемых сигнала, снимаемые с выходов триггера D025.1, преобразуются в звуковой сигнал пьезоэлектрической головкой BQ1.

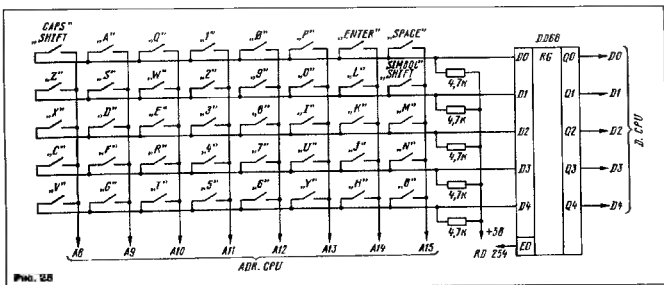
КЛАВИАТУРА

Базовая клавиатура компьютера "ZX Spectrum" содержит 40 клавиш. Они объединены в матрицу 8x5 по схеме, показанной на рис. 26. Восемь вертикальных линий матрицы являются линиями опроса и подключены к восьми старшим раз-

Таблица 2

Номер	Операция	
	Чтение	Запись
0	Данные клавиатуры	Цвет бордюра
1	" "	" "
2	" "	" "
3	" "	Выход из магнитофона
4	" "	Выход на дисководную головку
5	Разрешен	Разрешен
6	Вход с магнитного	" "
7	Разрешен	" "

Продолжение. Начало см. в "Радио", 1994, № 11; 1995, № 2, 4, 6—8.



рядом шины адреса, пять горизонтальных — линиями ответа и подключены к входам первых разрядов порта 254. Код нажатой клавиши считывает непосредственно сам процессор. Происходит это следующим образом.

Как говорилось выше, дисплейный контроллер 50 раз в секунду (с частотой кадровой развертки) вырабатывает импульс прерывания INT1, который подается на вход маскируемого прерывания микропроцессора DD4 (вывод 16). С появлением этого импульса процессор переходит на выполнение некоторых подпрограмм, расположенных в ПЗУ Sp-компьютера и начинающихся с адреса 38H. Одна из них — подпрограмма опроса клавиатуры. Суть ее в том, что процессор последовательно считывает информацию из восьми портов. Младший байт их адреса всегда равен 254, в старший меняется, причем в нем поочередно появляется код, в котором один из разрядов установлен в логический 0 (т. е. у первого порта разряд A8 установлен в состояние логического 0, а остальные — логической 1; у второго разряда A9 — в состояние логического 0, остальные — логической 1 и т. д.)

Таблица 3

Классиф.	
Дополнительные	Основные
STOP	BS-A
EDIT	CS-1
CAPS LOCK	CS-2
GRAPH	CS-3
EXIT	CS-25
DEL	CS-0
1	BS-2
2	BS-W
3	BS-P
4	0
5	CS-4
6	CS-ENTER
7	BS-0
8	CS-2
9	BS-SPACE
10	BS-A
11	BS-ENTER
12	CS-5
13	CS-6
14	CS-7
15	CS-8

Таким образом, на вертикальных линиях матрицы формируется сканирующий логический 0, который в случае нажатия на клавишу проходит через все замкнутые

контакты и поступает на один из входов порта 254. Далее чередует этот порт код считывается процессором, который по программе определяет местонахождение клавиши в матрице.

Из 40 клавиш компьютера 26 занимают латинские символы, 10 — цифры, остальные четыре — ENTER (ввод), SPACE (пробел), CAPS SHIFT (сдвиг регистра) и SYMBOL SHIFT (сдвиг символа). Помимо основных, каждая клавиша (за исключением трех последних) имеет пять или более различных дополнительных функций. К ним относятся операторы, функции и команды языка БЕЙСИК; арифметические, логические знаки; знаки препинания и пунктуации; команды компьютера и т. д. Действие, производимое клавишей, определяется режимом, в котором в данный момент находится клавиатура (он включается либо автоматически, либо нажатием определенных клавиш), и клавишами CAPS SHIFT (CS) и SYMBOL SHIFT (SS), которые в различных комбинациях нажимают одновременно с другими клавишами. Например, нажатие клавиши J в режиме K вызывает отображение команды БЕЙСИКА LOAD

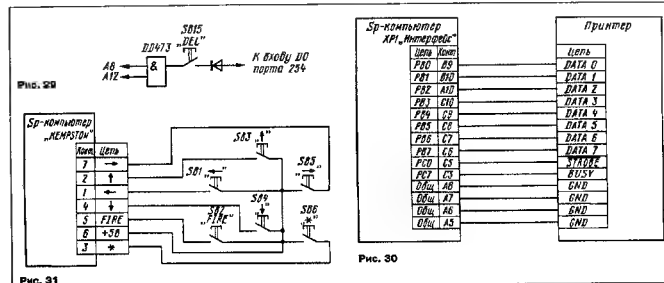


Рис. 30

(газрука); в режиме I — отображение строчной буквы j; в режиме С — одновременным нажатием CS (далее по тексту нажатие двух клавиш будем обозначать в виде CS+J) — отображение прописной буквы J; в том же режиме SS+J — отображение знака "-" (минус); в режиме E — отображение функции Бейсика VAL, в этом же режиме CS+J — отображение функции VAL\$.

При работа с компьютером отдельные команды и знаки требуют частого ввода с клавиатуры, при этом необходимость нажатия двух или более клавиш нередко вносит путаницу и, конечно, неудобно. Для предотвращения этого клавиатуру "расширяют", т. е. вводят в нее дополнительные клавиши, каждая из которых имитирует одновременное нажатие двух других. В фирменном "ZX Spectrum" применялись клавиши с двумя группами контактов, каждая из которых подключалась параллельно соответствующим клавишам. В описываемом Sp-компьютере использованы кнопки с одной группой контактов, поэтому "расширение" клавиатуры выполнено "электронным" способом по принципу, представленному на рис. 29, где показано, как подключена дополнительная клавиша DELETE (удаление символа перед курсором), которая заменяет клавиши CS+0.

Как видно из рис. 28, при нажатии клавиш CS+0 разряды A8 и A12 соединяются с линией D0 и поступают (рис. 29) на входы элемента DD47.3. В момент опроса, когда любой из них оказывается в состоянии логического 0, на выходе элемента также установится низкий логический уровень, который пройдет через замкнутые контакты клавиши на вход D0 порта 254. Аналогичным образом подключены и другие дополнительные клавиши. Соответствие основных и дополнительных клавиш приведено в табл. 3.

Кроме общепринятого "расширения" клавиатуры, в Sp-компьютере несколько дополнительных клавиш подключены иным способом. Связано это с введением символов русского алфавита. Проблема здесь в следующем. Как указывалось выше, в клавиатуре под символы отведено 26 клавиш, в то время как русский алфавит содержит 32 буквы. До недавнего времени традиционным способом "русификации" клавиатур было размещение "лишних" символов на местах редко используемых знаков (апострофа, коммерческого @ и т. п.). Этот способ обладает рядом недостатков: во-первых, русские буквы оказываются размещенными на клавиатуре совершенно бессистемно, во-вторых, для выбора нужного символа необходимо нажимать две, а иногда и более клавиш, и в-третьих, прописные и строчные буквы оказываются на разных клавишах.

Иной способ "русификации" клавиатуры использован в популярной в настоящее время операционной системе IS-DDS. Именно си применен и в предлагаемом Sp-компьютере. Для размещения букв русского алфавита на поле клавиатуры в соответствии со стандартным расположением не хватает семи клавиш. Эти клавиши включаются в матрицу (рис. 28) в виде дополнительной горизонтальной линии, которая подключена к резервному шестому разряду порта 254. Эти клавиши на поддерживаются операционной системой ZX48, т. е. Sp-компьютер не реагирует на их нажатие. Для пользова-

Таблица 4

Режим работы	Обозначение вывода					Номер порта
	CS	PS	WR	A0	A1	Sp-компьютеры
Чтение из порта						
PA → D.CPU	0	0	1	0	0	1FR, 9FR, 0FR
PC → D.CPU	0	1	1	0	0	3FR, 8FR, 7FR
PD → D.CPU	0	0	1	1	0	1FR
PE → D.CPU	0	0	1	1	1	5FR
Запись в порт						
D.CPU → PA	0	1	0	0	0	1FR, 9FR, 0FR
D.CPU → PC	1	0	1	0	0	3FR, 8FR, 7FR
D.CPU → PD	0	1	0	1	0	1FR
D.CPU → PE	0	1	0	1	1	5FR

Примечание. Запись в порт PA → D.CPU обозначает, что данные канала PA поступают на вход данных процессора D.CPU, в запись D.CPU → PA — что данные входа D.CPU поступают в канал PA.

ния этими клавишами обязательно надо загрузить в компьютер соответствующий драйвер клавиатуры, который поддерживает данный способ "русификации".

Вернемся к принципиальной схеме Sp-компьютера (рис. 21). Восьмью старших разрядов шины ADR.CPU с выходов буферного регистра DD8 через диоды подаются на линии опроса. На элементах микросхем DD47—DD52 формируются сигналы, необходимые для "расширения" клавиатуры. Линии ответа подключены к входам регистра DD68. При чтении из порта 254 низкий уровень сигнала DD.254 поступает на вход E0 регистра и переводит его в состояние из третьего состояния в активное, благодаря чему процессор считывает информацию, записанную в этот регистр.

На вход шестого разряда регистра DD68 (вывод I7) подается сигнал с магнитофона, который подключен к нему через ограничитель на элементе DD69.1, усилитель на DD69.2 и формирователь на DD69.3. Считывая состояние шестого разряда, микропроцессор загружает в CPU компьютера информацию с внешнего носителя — магнитной ленты.

ВНЕШНИЕ УСТРОЙСТВА ВВОДА-ВЫВОДА

Неполная дешифрация номера порта 254 (с помощью одной линии A0) ограничивает использование номеров других портов. Это ограничение связано с тем, что линия A0 устанавливается в нулевое состояние при обращении к любому порту с четным номером, и следовательно, в этом случае активизируется один из сигналов: DD.254 или WR.254. Таким образом, для предотвращения конфликта на шине (он может возникнуть при одновременном обращении к двум портам), номера портов, через которые подключаются какие-либо внешние устройства, должны обязательно иметь нечетный адрес (линия A0 должна находиться в состоянии логической 1).

Принцип неполной дешифрации, существенно упрощающий аппаратную часть, используется во всем семействе компьютеров "ZX Spectrum". Так, например, системные порты "ZX Spectrum-128" дешифруются аналогичным образом, но другой линией адреса — A1. Это вносит дополнительное ограничение на использование номеров портов внешних устройств, которые не должны иметь логическое 0 не только в нулевом, но и в первом разряде. Таким образом, для внешних устройств можно использовать адреса, в

которых разряды A0 и A1 обязательно установлены в состояние логической 1. При такой комбинации на выходе элемента DD3.4 (рис. 21) формируется сигнал с низким логическим уровнем, который инвертируется элементом DD6.3 и поступает на вход элемента DD14.1. С выхода этого элемента сигнал логического 0 поступает на вход CS микросхемы DD65, которая представляет собой программно-управляемое параллельное устройство ввода-вывода. Активизация микросхемы происходит при одновременном появлении напряжений с уровнем логического 0 на входах CS и одним из входов WR или RD, на которые поданы сигналы WRLDQ и RD.LDQ с выходов элементов DD12.4 и DD12.1 соответственно.

Микросхема DD35 позволяет компьютеру обмениваться данными с внешним устройством по трем независимым каналам PA (выходы 1—4, 37—40), PB (выходы 18—25) и PC (выходы 10—17). Каждый из них может работать как на прием, так и на передачу данных. Направление обмена и режим работы задаются программно через регистр управления (RC). Связь с шиной процессора осуществляется через восемь трехстабильных линий D0—D7 (выходы 27—34). С точки зрения программирования микросхема состоит из восьми регистров: управления (RC), состояния (RS) и регистров каналов (трих доступных для чтения и трех — для записи). Обращение к конкретному регистру микросхемы DD35 осуществляется комбинацией сигналов RD.IORQ, WR.IORQ и сигналов, поданных на входы A0 и A1, которые через элементы DD28.5 и DD1.1 соединены с адресными линиями процессора A5, A6 и A7. Состояния линий микросхемы при выборе регистров и соответствующие им номера портов в адресном пространстве Sp-компьютера приведены в табл. 4.

Внешние устройства, подключаемые непосредственно к каналам PA, PB и PC, линии которых выведены на плату разъемного соедлителя XP1. В основном он предназначен для подключения принтера (схема его подключения представлена на рис. 30). Кроме принтера, к этой вилке можно подключить программатор, цифровой логический или аналого-цифровой преобразователь и т. п. Линия канала PA подведена также к розетке XS3, к которой подключают joystick-манипулятор (KEMPSTON). Принципиальная схема такого устройства изображена на рис. 31.

Как уже говорилось, внешние устройства могут подключаться непосредственно к шинам микропроцессора через соответствующие контроллеры. Для предотвращения конфликта между портами контроллера и микросхемы DD36 используется сигнал BLK.IORQ (блокировка IORQ), который подается на вход (вывод D1) элемента DD14.1 с контакта E3 розетки XS5. При этом адрес порта в контроллера дешифрируется более полно, чем в компьютер, т. е. с использованием не только младших разрядов A0 и A1, но и каких-либо других (эти разряды должны вносить различия в адреса портов контроллера и микросхемы DD36). Сигнал с дешифратора в контроллере должен активизировать соответствующий порт и одновременно перевести сигнал BLK.IORQ в состояние логического 0. При этом на выходе элемента DD14.1 устанавливается сигнал с высоким логическим уровнем и микросхема DD36 не будет выбрана

(Окончание следует)

О ПРОГРАММЕ "СЖАТИЕ"

Ю. ИГНАТЬЕВ, г. Москва

Программы "сжатия" ассемблерных текстов, разработанные В. Власовым (см. его заметку "Снова "Сжатие" в "Радио", 1995, № 9, с. 38), хорошо себя зарекомендовали и используются радиотехниками при работе с большими файлами. К сожалению, в журнале программы

руемого, записывается значение ОDH, что соответствует символу ВК, т. е. началу новой строки.

На первом этапе анализа выясняется, является ли следующий символ текстовым сообщением (по наличию признака сообщения — апострофа, если это так,

Таблица 1

PROGRAM "СЖАТИЕ-2"	LL4:	SP1 20H;	УПРЕОД
RATON H, HANDE	JZ LL5;	DA - HE	
DEL 100H	DSX D;	ЗАПИСАТЬ ЕГО,	
НАЧАЛЬНЫЕ УСТАНОВКИ		NET - ЗАПИСАТЬ	
LXI H, TEXTUP		ПОДПРОГРАММА ЗАПИСИ КОДА СИМВОЛА	
MOV D, H;	MOV A, H;	СИМВОЛ ЗАПИСАТЬ	
MOV B, L;	CALL D;	В РЕГИСТРЕ В	
MOV B, 00H;	TEST D, 0;	И ЗАПИСАТЬ В РЕГИСТРЕ В	
ПРЕДВЫДЕНИ СИМВОЛА - ПО УКАЗАНИЮ	INX D;	СЛЕДУЮЩЕГО ПЕРЕКЛА	
КОНЦА СТРОКИ		ПОДПРОГРАММА ПРОВЕРКИ НА ОКОНЧАНИЕ ТЕКСТА	
НАЧАЛО АНАЛИЗА СИМВОЛА	MO:	INX H	
ADDDI TEXTUP, C	SP1 OFFH;	КОНЦ ТЕКСТА	
MOV A, H;	JZ BEGINNET;	НАЧАТЬ АНАЛИЗ	
SP1 27H;	JMP AIN;	DA - ВЫЙТИ В АССЕМБЛЕР	
JZ CON;			
NET - ОБРАБОТАТЬ КАК ПРОГРАММУ, DA - СОХРАНИТЬ			
ПОДПРОГРАММА СОХРАНЕНИЯ ТЕКСТОВЫХ СООБЩЕНИЙ			
TEXT:	INX D;	ПЕРЕСАДКА СООБЩЕНИЙ	
INX D;		ПО НОВЫМ АДРЕСАМ	
INX H			
MOV A, H			
SP1 27H;			
JZ CON;			
ТЕКСТ, ТЕКСТА			
DA - ЗАВЕРШИТЬ ЛИНКА,			
NET - ПРОДОЛЖИТЬ			
ПОДПРОГРАММА АНАЛИЗА			
CON:	JZ 38H;	КОММЕНТАРИЙ	
JZ 38H;		NET - ПЕРЕСАДКА РАДИОПРИЕМНИКА	
ПОДПРОГРАММА УКАЗАНИЯ КОММЕНТАРИЯ			
CMH:	INX H;	DA -	
MOV A, H;		ПРОМАСКА БЕЗ ЗАПИСИ	
SP1 00H;		ТЕКСТ СТРОКИ	
JZ CON;		NET - ПРОДОЛЖИТЬ	
ПРОДОЛЖЕНИЕ АНАЛИЗА			
38H:	SP1 00H;	ТЕКСТ СТРОКИ	
JZ 38H;		DA - ОБРАБОТАТЬ НОВУЮ СТРОКУ	
JZ 20H;		УПРЕОД	
JZ LL3;		DA - ПРОВЕРИТЬ	
MOV A, B;		ПРЕДВЫДЕНИ СИМВОЛА	
SP1 20H;		УПРЕОД	
JZ 38H;		DA - ПРОВЕРИТЬ НЕ ЗАПИСАТЬ	
JZ 38H;		УПРЕОД	
MOV A, B;		ПРЕДВЫДЕНИ СИМВОЛА	
SP1 00H;		78K	
JZ 38H;		DA - НЕ ЗАПИСАТЬ	
JMP LL4;		NET - ПРОДОЛЖИТЬ АНАЛИЗ	
LL3:	SP1 20H;	УПРЕОД	
JZ LL5;		DA - ПРОДОЛЖИТЬ АНАЛИЗ	
SP1 38H;		УПРЕОД	
JZ 38H;		NET - ЗАПИСАТЬ	
LL5:	MOV A, B;	ПРЕДВЫДЕНИ СИМВОЛА	

LL4:	SP1 20H;	УПРЕОД
JZ LL5;	DA - HE	
DSX D;		ЗАПИСАТЬ ЕГО,
		NET - ЗАПИСАТЬ
: ПОДПРОГРАММА ЗАПИСИ КОДА СИМВОЛА		
LL4:	MOV A, H;	СИМВОЛ ЗАПИСАТЬ
DS:	CALL D;	В РЕГИСТРЕ В
MOV A, H;		И ЗАПИСАТЬ В РЕГИСТРЕ В
INX D;		СЛЕДУЮЩЕГО ПЕРЕКЛА
: ПОДПРОГРАММА ПРОВЕРКИ НА ОКОНЧАНИЕ ТЕКСТА		
MO:	INX H	
	SP1 OFFH;	КОНЦ ТЕКСТА
	JZ BEGINNET;	НАЧАТЬ АНАЛИЗ
	JMP AIN;	DA - ВЫЙТИ В АССЕМБЛЕР
AIN:	DSU 000H	
TEXTUP:	DSU 2100H	
END		
В РЕГИСТРОВ ПАРЕ HL ХРАНИТСЯ СТАРИНА АДРЕС АНА-		
ЛИЗУЮЩЕГО БАЙТА		
В РЕГИСТРОВ ПАРЕ DE ХРАНИТСЯ НОВЫЙ АДРЕС АНА-		
ЛИЗУЮЩЕГО БАЙТА		
В РЕГИСТРЕ В ХРАНИТСЯ СОДЕРЖАНИЕ ПРЕДЫДУЩЕГО		
БАЙТА		

Таблица 2

ORG 1100H	
LXI H, TEXTUP	
MOV D, H	
MOV E, L	
MOV B, 00H	
SP1 27H	
INX D;	
TEST D, 0;	
JZ CON	
INX D	
INX H	
MOV A, A	
SP1 27H	
JZ TEXT	
CON:	SP1 38H
JZ BC	
CANE: INX H	
MOV A, H	
SP1 00H	
JZ CON	

Таблица 3

ORG 1100H	
LXI H, TEXTUP	
MOV D, H	
MOV E, L	
MOV B, 00H	
SP1 27H	
INX D;	
TEST D, 0;	
JZ CON	
INX D	
INX H	
MOV A, H	
SP1 27H	
JZ TEXT	
CON:	SP1 38H
JZ BC	
CANE: INX H	
MOV A, H	
SP1 00H	
JZ CON	

приведены в виде машинных кодов, что существенно затрудняет их использование в уже существующих программах, такие как пакет "МИКРОН" и т. п. Упростить процедуру встраивания и модификации можно, перейдя от машинных кодов к исходным текстам.

Исходный текст дисассемблированной и снабженной комментариями второй из опубликованных программ "сжатия" приведен в табл. 1. Принципы работы программы просты, поэтому требуются лишь некоторые пояснения.

В блоке начальных установок в регистровые пары H1 и DE записывается адрес начала обрабатываемого текста (для редактора из пакета "МИКРОН" он равен 2100H). В регистр B, в котором в процессе работы программы хранится значение байта, предшествующего анализу

он без изменений переносится в новый текст программы, если же далее идет сообщение, то осуществляется переход к следующей стадии обработки.

Прежде всего делается проверка на наличие комментария, и если результат положительный, он из текста программы исключается, а если отрицательный, анализ продолжается и в текста программы исключаются лишние пробелы. Обработка продолжается вплоть до окончания исходного текста.

Работу двух программ сжатия В. Власова хорошо иллюстрируют табл. 2, в которой дан фрагмент текста программы из табл. 1, обработанный программой "Сжатие-1", и табл. 3, в которой приведен тот же фрагмент, но обработанный программой "Сжатие-2". Результаты, как видно, говорят сами за себя.

После розыгрыша лотереи "Радио-95" редакция получила счастливыми обладателям призов письма с сообщениями о доставшихся им выигрышах. И тут, откровенно говоря, неожиданно, "сработала" обратная связь. В своих ответах читатели благодарят редакцию за приятные вести из Москвы, в некоторые к словам благодарности добавляют краткий рассказ о себе. Строчки этих незамысловатых писем мы предлагаем вниманию наших подписчиков. Думаем, что они будут им интересны.

ГОВОРЯТ ПРИЗЕРЫ

— Дорогая редакция, — пишет нам Юрий Васильевич Фомин из г. Санкт-Петербурга. Благодарю Вас и благосклонную ко мне судьбу за дорогой подарок — подписку на журнал "Радио" на 1996 год!

Я являлся детства 1 гр (колесничник). Увлекаюсь радиотехникой с четвертого класса и выписываю журнал почти 39 лет. Мне повезло, что моя работа довольно близко соприкасалась с радиотехникой. Сейчас я на пенсии, но до сих пор с нетерпением жду получения каждого номера и рад, когда нахожу в нем интересный для себя материал. Сейчас в моем положении его почти единственный источник радиотехнической информации. Надеюсь, что раскодная часть моего бюджета позволит мне и в дальнейшем оставаться вашим подписчиком еще многие-многое годы!

А тот что написал в редакцию Александр Александрович Штыко (UACJCU) из г. Анальса:

—Для меня было приятной неожиданностью узнать о своем выигрыше. Какие только лотерейные билеты я не покупал, но никогда не выигрывал, а тут вдруг выиграл как рядовой подписчик журнала "Радио". Кстоти, выписываю его уже много лет.

Раньше из-за лимита на подписку приходилось выписывать журнал через знакомых в сельской местности или использовать другие ухищрения. Теперь все проще. И это хорошо. Да и сам журнал изменился. Новое оформление делает его красивым, привлекательным, а содержание становится все более и более разнообразным. Конечно, в одном номере не удовлетворить желания всех подписчиков, но лично я всегда нахожу две-три странички с новой для себя информацией.

На этот же раз мне вообще повезло: я оказался в числе обладателей призов лотереи "Радио-95", выиграл магнитофу "Вега PM-251C". Спасибо!

—Согласно Вам спасибо за приятное сообщение о выигрыше радиоприемника "Вега РП-240", — пишут в своем письме радиолюбители супруги Алексее из г. Азнакев (Татарстан). — Желаем редакции доброго здоровья, успехов в издании нашего журнала! А мы, со своей стороны, постараемся, пока живы, не расставаться с ним.

Хорошие, добрые письма! Редакция, в свою очередь, еще раз благодарит всех подписчиков за участие в нашей лотерее. Выражаем уверенность, что число участников лотереи "Радио-96" пополнится новыми друзьями журнала.

Удачи всем!

СКОЛЬКО НУЖНО СДЕЛАТЬ ТЕЛЕФОННЫХ ЗВОНКОВ,
ЧТОБЫ КУПИТЬ ВСЕ НЕОБХОДИМЫЕ ВАМ ЭЛЕКТРОННЫЕ КОМПОНЕНТЫ?
ТОЛЬКО ОДИН.

ЗВОНИТЕ В ФИРМУ "ЭЛЕКТРОННЫЕ КОМПОНЕНТЫ".

РОЗНИЧНАЯ И ОПТОВАЯ ПРОДАЖА ТОВАРОВ.



ЕКА
I.T.T.
SONY
SHARP
GEBRA
SANYO
PHILIPS
DIEMEN
SANKEN
HITACHI
TOSHIBA
SAMSUNG
MITSUBISHI
TELEFUNKEN
MATSUSHITA
SGS-THOMSON
HAKKO METAL IND.

Около 10000 наименований деталей для сервиса компьютеров, TV-, VIDEO-, и AUDIO-техники со склада в Москве и более 20000 наименований под заказ по разделам:

- ☒ интегральные микросхемы;
 - ☒ полупроводниковые элементы;
 - ☒ оптоэлектроника;
 - ☒ пассивные элементы;
 - ☒ строчные трансформаторы;
 - ☒ ремонтное и паяльное оборудование;
 - ☒ измерительные приборы;
 - ☒ источники питания;
 - ☒ механика для видеотехники;
 - ☒ справочники фирм-производителей (CD-версии, SGS, Siemens, Samsung IC-Master);
 - ☒ техническая литература
- ✉ прием заказов по факсу и телефону;
✉ по России возможна почтовая доставка;
✉ каталог высылается по запросу

☎ (095)281-0429; 281-4025
E-mail: meta@elcomp.msk.ru

ДОСКА ОБЪЯВЛЕНИЙ

КОНСУЛЬТАЦИОННО-ТЕХНИЧЕСКИЙ ЦЕНТР

КТЦ-МК ПО МИКРОКОНТРОЛЛЕРАМ МОДЕ "MARC"

МИКРОКОНТРОЛЛЕРЫ:
MCS-48, MCS-51, MCS-96,
MCS-251, 386EX (INTEL),
80c51 (PHILIPS),
AD2100 (ANALOG DEVICES),
Microchip-PIC, Z86 (Zilog)

Вы можете разместить
заказ на машинную прошивку

ОТЛАДОЧНЫЕ СРЕДСТВА
программные и аппаратные

**СПРАВОЧНАЯ
ИНФОРМАЦИЯ**
по импортной комплектации

ПРОГРАММАТОРЫ
для ПЗУ и микроконтроллеров

Тел./факсы:
(095) 972 3416,
973 1923, 973 1855
Rekom: cec@csc.msk.ru

ПЗУ 27CXXX, ОЗУ 62XXX,
FLASH 28FXXX,
EEPROM 24XX/96XX

80C31 (1830BE31),
80C85 (1821BM85),
81C55 (1821PV55)

**АЛФАВИТНО-ЦИФРОВЫЕ
И ГРАФИЧЕСКИЕ
ЖК-ДИСПЛЕИ**

на базе процессоров
HD44780A/HD61202
(HITACHI)

ЛОГИКА:
74АС., 74НС., 1554

Принимаем заявки от
предприятий и частных лиц,
на разовую и регулярную
поставку отечественной
и импортной комплектации

ЛОРАА-СЕРВИС



ПРЕДЛАГАЕТ

**ИМПОРТНЫЕ
КОМПЛЕКТУЮЩИЕ**

Всегда в наличии!

**Интегральные Схемы
Микропроцессоры
Транзисторы
Диоды
Видеоголовки
и многое другое...**

Широкий выбор
от
зарубежных
производителей

Приглашаем розничных
и оптовых покупателей

☎ 388-13-00
Факс: 388-13-09

Здесь можно сделать любой заказ!

АУДИО-ВИДЕО: Ремонт импортной техники
388-13-11 любых марок!

КОМПЬЮТЕРЫ: Сервис, консультация, сборка
по индивидуальным заказам,
388-15-36 проектирование и установка сетей.

Москва, ул. Чертановская 45а кор.1



ELECTRONIC COMPONENTS AND MATERIALS

«NEDIS» — ВАШ ПАРТНЕР ПО СНАБЖЕНИЮ ЭЛЕКТРОННЫМИ КОМПОНЕНТАМИ

Наша фирма поставяет оптовикам во всем мире свыше 35 000 наименований электронных компонентов непосредственно со склада.

В нашу программу входят:

- запасные узлы и детали для аудио- и видеотехники
- принадлежности для аудио-, видеотехники и телефонной аппаратуры
- активные компоненты
- пассивные компоненты
- инструменты и измерительная аппаратура

Дополнительно к нашему обширному ассортименту изделий (поставка 95 % со склада гарантирована) предлагаем:

- бесплатный цветной каталог
- полное техническое сопровождение
- бесплатный доступ к базе данных (свыше 400 тысяч записей)
- привлекательную структуру цен

Более 27 000 заказчиков во всем мире сотрудничают с «NEDIS».

Надеемся, что скоро к ним присоединитесь и Вы.

Мы — к Вашим услугам

За дополнительной информацией поставляемых изделий просьба обращаться по факсу

+ (31) 73 5992344

(на английском, немецком или французском языке)

указав координаты

Вашей фирмы.

NEDIS EXPORT • P.O. BOX 70 • 5320 AB HEDEL • Tel +31 073 599 2395 • Fax +31 073 599 1195

ИНСТРУМЕНТЫ СРЕДСТВА ДЛЯ ОДНОКРИСТАЛЛЬНЫХ МИКРОКОНТРОЛЛЕРОВ

1816/1830 BE31/51, MCS-48, MCS-51,
MCS-96, Microchip PIC, Motorola, Zilog

Кросс системы для языков: C-51, C-96, PL/M-51, ASM-48/51/96, ASM-Z80, ASM-PIC16CXX/17CXX.

Интегрированные среды разработки.

Отладчики-симуляторы ОЗВМ фирм: Intel, Philips, Motorola, Microchip PIC, Zilog, и существующих отечественных аналогов.

Внутрисхемные эмуляторы реального времени с поддержкой полной символической отладки на ASM, PL/M, C.

Контроллеры-конструкторы на базе: 80C196, 1816BE31, 80C552+PIC16CXX.

Программаторы РПЗУ, FLASH, и ОЗВМ фирм: Intel(MCS-48, MCS-51), Philips, Atmel, Microchip PIC, и существующих отечественных аналогов.

Дисассемблеры для 8048, 8051, 8080/85, 8088/86, Z-80.

Поставка микропроцессоров и ЖКИ.

ФИТОН

127 474 Москва,
Дмитровское шоссе д.62 кор. 2
телефакс: (095)-481-05-83, 481-13-83
E-mail: Phyton@phyton.mmtel.msk.su

ARGUSSOFT

надежный дистрибьютор электронных компонент

- профессиональные консультации и справочно-информационные материалы по выбору и применению импортных электронных компонент
- поставки со склада в Москве и по контракту по наилучшим ценам:
- ANALOG DEVICES - микросхемы и модули
- TRACO ELECTRONIK - DC/DC преобразователи
- STANDISH LCD - жидкокристаллические индикаторы
- микросхемы памяти
- другую импортную комплектацию

ПРИГЛАШАЕМ К СОТРУДНИЧЕСТВУ

региональных дилеров и представителей предприятий

129090, Москва, ул.Щепкина 22, подъезд 3, офис 29

Тел. (095) 288-1536

Факс: (095) 971-6283

288-2145

288-3602

288-2172

E-mail: solo@arguss.msk.su

РАДИОСВЯЗЬ ДЛЯ СЛУЖБЫ, ОТДЫХА И БЫТА!

Сертифицированный
Министерством

Связь без проблем!

**ПЕЙДЖЕРЫ,
МИНИ-АТС
и другое
телефонное и
радиоборудование**



**Гарантия 1 год
Все виды
систем**



РАДИОСТАНЦИИ
базовые
автомобильные
портативные

Диапазон
СВ (27МГц)
УКВ (130-174МГц)

СПЕЦИАЛЬНЫЕ МОРСКИЕ РАДИОСТАНЦИИ

Судовые, портативные, непортативные

Москва, ул. Ткацкая, 1. Приглашаем к сотрудничеству в области радиосвязи



Москва: (095) 962-9200, 952-9201
С-Пб.: (812) 535-3875, 535-2948
Корсаков: (42435) 232-44

АО «Синтез» высылает наложенным платежом:

- **НОВИНКА! "Hi-Fi Calibration cassette".** Измерительная аудиокассета высшего класса для проверки и настройки профессиональных и бытовых магнитофонов. Записывая на кассету сигналы, поможет Вам приобрести качественный магнитофон и все время поддерживать в нем отличный звук! Телепорт и инструкция. Цена: 18 \$
- **НОВИНКА! "Микропередатчик ФИЛИН-1. Радио-набор".** Применяется для локальной связи на частоте 90-98 МГц. Чувствительность микрофона — 10 м. Дальность трансляции — 150 м. Полный комплект для сборки и инструкция. Цена: 12 \$
- **Три антенны усилителя "Рипар".** Усиляют слабые телепередачи на следующих каналах "1-60", "21-60", "1-12". Телепорт и инструкция. Цена каждого: 15 \$
- **Ремонт видеоманитонов "Электроника" — схемы и инструкция.** BM-12 (5 \$), BM-25, 27, 1230, BMЦ - 6220 (10 \$)
- **Альбомы схем самых популярных в СНГ инф. Телевизоров (30 \$), видеоманитонов (30 \$).**
- **"Техническая разведка и контрразведка".** Сборник схем микропередатчиков. Цена 4 \$
- **"Ремонт игровых приставок на 8 бит. Инструкция по ремонту".** Устранение наиболее частых неисправностей в приставках "Dendy" и "Sega". Принципиальные схемы. Цена: 8 \$
- **"Устройство и ремонт АОНов"** Инструкция и схемы. Цена 8 \$

103045, Москва, вб.яц. 121.

Каталог — бесплатно

Внимание, радиомастера! Принимаем от вас заказы на комплектацию и радиотовары!

ГЕНЕРАТОР СВЧ

В. ЖУК, г. Минск, Беларусь

В предыдущем номере журнала читатели имели возможность познакомиться с одним из самых необходимых приборов для настройки ВЧ и СВЧ трактов радиоэлектронной аппаратуры — милливольтметром. Другим нужным устройством для настройки аппаратуры является СВЧ генератор. Два этих прибора потребуются для налаживания разнообразной аппаратуры связи на высокочастотных радиолюбительских диапазонах, а также аппаратуры для приема спутникового телевидения.

Генератор СВЧ вырабатывает синусоидальные колебания в диапазоне частот 10...1700 МГц. Несмотря на простоту конструкции, он обладает высокими метрологическими характеристиками. Кратковременная нестабильность частоты составляет 10^{-8} на нижней границе диапазона и 10^{-5} — на верхней. Уровень тре-

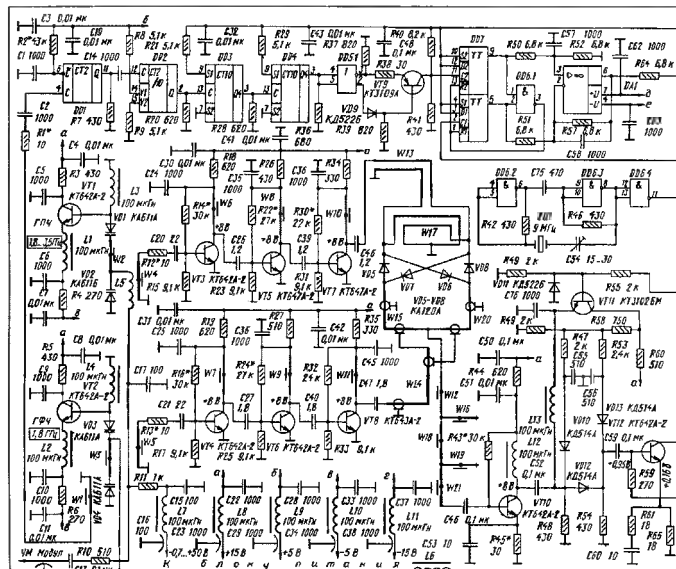
тьей гармоник — 40 дБ, спектральная плотность шумов при расстройке на ± 1 кГц от несущей не более 60 дБ. Генератор СВЧ позволяет обеспечивать качение частоты при цифровом управлении от ЦАП или от микросхемы КР1051ХА2 в полосу от 240 кГц до полного диапазона. Принципиальная схема генератора СВЧ

приведена на рис. 1. Он построен по однопетлевой схеме с кварцевой стабилизирующей частотой опорного генератора на транзисторе VT2, вырабатывающего колебания с частотой 1,6 ГГц. Построен опорный генератор по схеме с общим коллектором и последовательным контуром в цепи базы генераторного транзистора. Резонансный контур состоит из двух СВЧ варикапов VD3, VD4 и полосковой линии W3, обладающей свойствами индуктивности. Параметры LC-контра рассчитываются при напряжении на варикапе $U_0 = 8$ В по формуле: $L = 1/(2\pi)^2 C_0 2\omega_0$, где $f = 1,6$ ГГц — частота опорного генератора, $C_0 = 1,8$ пФ — емкость варикапа при напряжении смещения $U_0 = 8$ В; $0,9$ нГ — паразитная индуктивность варикапа.

При заданных соотношениях параметров контура полосковая линия W3 должна обладать индуктивностью 6,6 нГн. Линейные размеры линии W3 определяются из выражения [1]

$$l = L/C_0 \sqrt{\epsilon_{\text{ср}}}$$

где l — длина проводни-



DD1 KM193HE7; DD2 KM193HE8; DD3, DD4 K500ME137; DD5 K500PM105; DD6 KP1533HA3; DD9 KP1533HE6; DA1, DA2 KP1404J208; DA3 KP4454J1.

Рис. 1

ка в мм, $c = 3 \cdot 10^8$ мм/с — скорость света; Z_0 — волновое сопротивление линии; $\epsilon_{\text{эф}}$ — эффективное значение диэлектрической проницаемости среды несимметричной плосковой линии.

Диэлектрическую проницаемость среды такой линии рассчитывают по формуле

$$\epsilon_{\text{эф}} = 0,5(\epsilon_1 + 1) + 0,5(\epsilon_2 - 1) \cdot (1 + 10h/w)^{-0,3},$$

где ϵ_1 — диэлектрическая проницаемость материала СФ1-35;

h — 1,5 мм — толщина подложки;

w — 1,6 мм — ширина плосковой линии; $Z_0 = 50$ Ом.

Расчет параметров колебательного контура генератора на транзисторе VT1 на диапазон частот 1,8...3,5 ГГц осуществляется по эмпирической методике.

Синусоидальные колебания, вырабатываемые опорным генератором фиксированной частоты (ГФЧ) на транзисторе VT2 и генератором перестраиваемой частоты (ПЧ) на транзисторе VT1, усилива-

ются трехкаскадными СВЧ усилителями на транзисторах VT3—VT6 до величин 3...5 мВт и поступают на вход двойного балун-соединителя (ДБС) на диодах VD5—VD8. В качестве согласующих цепей на гетеродине входе ДБС используются коаксиальные линии W14, W15 и W20 с волновым сопротивлением 50 Ом. Согласование сигнала входа осуществляется симметричными линиями W13 и W17 с таким же волновым сопротивлением.

В результате преобразования на выходе ДБС появляется разностная частота $f_{\text{н}} = f_1 - f_2 = (1,8...3,5 \text{ ГГц}) - 1,8 \text{ ГГц} = 0...1,7 \text{ ГГц}$, однако реально используется диапазон частот ПЧ 10...1700 МГц. Промежуточная частота с выхода ДБС поступает на вход фильтра нижних частот (ФНЧ) на плосковых линиях W12, W16, W18, W19, W21, имеющего частоту среза 1,75 ГГц и предотвращающего поступление на выход генератора СВЧ частот от ГПЧ и ГФЧ. На транзисторе VT1 собран предварительный усилитель ПЧ, обеспечивающий согласование выходного сопротивления ФНЧ с входным сопротивлением регулятора мощности и выходной усилитель, такие же, как и в СВЧ генераторе [2]. Выходное напряжение на разъеме XW1 составляет около 200...250 мВ (1 мВт) и устанавливается при регулировке подстроечным резистором R75.

Для повышения стабильности частоты на выходе генератора СВЧ частота опорного генератора на транзисторе VT2 стабилизирована системой фазовой автоподстройки частоты (ФАПЧ). Частота ГФЧ с выхода связанной линии W1 поступает на вход счетчика DD1, обеспечивающего деление частоты не 4. Устранение самовозбуждения микросхемы DD1 обеспечивается наличием начального смещения, подаваемого на вход С (вывод 6) через резистор R2. На счетчике DD2 выполнен делитель частоты с коэффициентом деления 20, который задается соответствующим включением входов V1 и V2. Счетчики DD3 и DD4 имеют коэффициенты деления 10.

Таким образом, общий коэффициент деления частоты ГФЧ составляет

$$K_{\text{дел}} = K_{\text{д1}} \cdot K_{\text{д2}} \cdot K_{\text{д3}} \cdot K_{\text{д4}} = 4 \cdot 20 \cdot 10 \cdot 10 = 8000,$$

где $K_{\text{д1}} \dots K_{\text{д4}}$ — коэффициенты деления счетчиков DD1—DD4.

Импульсы подделенной на $8 \cdot 10^3$ частоты ГФЧ поступают через преобразова-

тель уровней на микросхеме DD5 и транзисторе VT9 на вход С2 микросхемы DD7, на которой выполнен частотно-фазовый детектор. На другой вход С1 поступают импульсы подделенной на 40 опорной частоты (8 МГц) от кварцевого генератора. Частотно-фазовый детектор осуществляет фазовое детектирование частоты, равной $f_{\text{н}}/8000$. Временная диаграмма работы детектора приведена на рис. 2.

В случае, если частота фиксированного генератора ниже частоты опорного генератора на выходе Q1 микросхемы DD7 появляется серия положительных импульсов, которая после интегрирования цепочкой R57C5B и инвертирования операционным усилителем (ОУ) DA1 приводит к появлению на его выходе отрицательного сигнала разбаланса. Сигнал разбаланса, усиленный инвертирующим усилителем DA2, поступает на варикапы VD3 и VD4, уменьшая их емкость и соответственно увеличивая частоту генерации. Таким образом замыкается петля фазовой автоподстройки частоты.

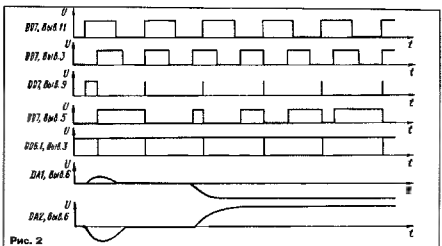
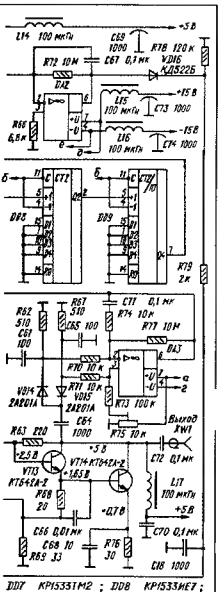
Питание устройств осуществляется от стабилизированного источника, принципиальная схема которого приведена на рис. 3. Напряжение перестройки в пределах $-0,7 \dots -1,50 \text{ В}$ от блока питания (см. рис. 3) поступает на основную плату на вход LC-фильтра для варикапов генератора СВЧ. Для обеспечения частотной модуляции может быть применен узел модуляции, описанный в [2].

Конструкция и монтаж прибора имеют некоторые особенности, часть компонентов и деталей должны отвечать ряду требований к СВЧ элементам.

Генератор СВЧ собран на печатной плате размерами 185x125 мм из фольгированного стеклотекстолита толщиной 1,5 мм (см. примечание редакции). Все детали и генератора размещены со стороны печатных проводников. Плата генератора помещена в экран из луженой латуни, припаянной к плате по периметру с нижней и верхней сторон.

Разводка питания по отсекам, образованным на печатной плате, осуществляется по лучевому принципу проводом марки МТФФ 0,07, причем питание микросхем DD3—DD7 и DA1, DA2 подводится отдельно через проходные конденсаторы C69, C73, C74.

К конструкции источника питания особые требования не предъявляются. Обмотки трансформатора питания соединены с выпрямителями блока через разъем ГРПМ-31 (XW1). Целесообразно полностью использовать контакты раз-



ема, соединив параллельно по 4 контакта для цепи питания +5 В, и по 2 контакта для остальных цепей (на принципиальной схеме контакты не пронумерованы). Трансформатор Т1 выполнен на магнитопроводе ШЛМ сечением 20х20 мм. Обмотка I содержит 1900 витков, намотанных проводом ПЭЛ 0,25, обмотки II и III по 70 витков проводом ПЭЛ 0,8, обмотки IV—VII — по 187 витков проводом ПЭЛ 0,5, обмотки VIII и IX — по 410 витков проводом ПЭЛ 0,15. Микроосхемы DA1—DA4 стабилизаторов напряжения установлены на радиаторах с площадью 100 см².

В конструкции применены резисторы МЛТ-0,125 или МЛТ-0,25 в низкочастотных цепях и Р1-12 в цепях СВЧ, подстроечный резистор СП5-3, переменный резистор СП3-24 (Р4). В качестве разделительных и блокировочных конденсаторов использованы керамические конденсаторы К10-17в, К10-42, К10-47в и К10-56, причем конденсаторы С26, С27, С39, С40, С46, С47 должны иметь группу ТКЕ М47. Конденсаторы указанных серий могут быть заменены другими К10-43в, К10-50, К10-57, К10-60в, К26 4 В низкочастотных цепях использованы керамические конденсаторы типов КД, КМ. Дроссели L1-L4 должны быть типа ДМ-0,1, остальные — типов ДК-0,2, ДМ-0,2, ДН-0,2. Индуктивности L5 и L6 — четвертьволновые дроссели, они представляют собой отрезки провода ПЭЛ 0,1 длиной 45 мм, навитого в катушку с диаметром намотки 1 мм.

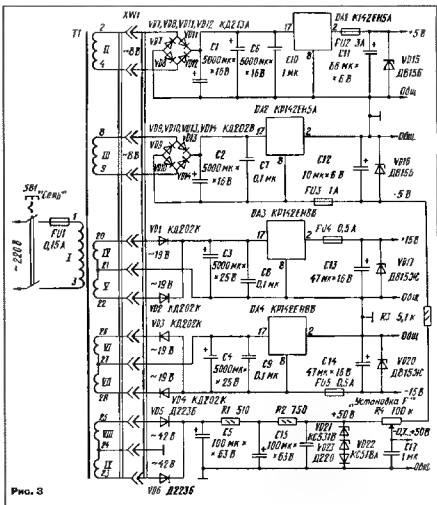
Согласующие линии W14, W15 и W20 выполнены из микрокабеля типа РК-50-1-23. Линия W14 имеет длину (по медной трубке) 13 мм, а линии W15 и W20 — 10,5 мм. Согласно линии W13 и W17 выполнены из симметричного кабеля типа РД50-1-21 и имеют размеры 17,5 и 10 мм соответственно без учета выводов под пайку (по фторопластовой оболочке). Размеры полюсовых линий генераторов, усилителей и ФНЧ показаны на плате.

Микроосхемы DD1 типа КМ193ИЕ7 заменимы на К193ПД5 или КМ193ПД5, микроосхемы К193ИЕ8 — на К193ПД4А (или с индексом В), вместо К500ИЕ137 подойдут 100ИЕ137, однако каждая замена требует корректировки печатной платы. Микроосхемы серии КР1533 могут быть заменены микроосхемами серии К555, вместо КР140УД7 подойдут КР140УД6 или КР544УД1.

Вместо транзисторов КТ642А-2 можно использовать КТ640А-2 — КТ640В-2, КТ648А-2, вместо КТ647А-2 подойдут КТ648А-2, КТ657А-2, КТ682А-2, КТ682В-2, КТ671А-2. Транзисторы КР1309А заменимы на КТ6363М или КТ326В. Вместо диодов КА120А можно применить КА104А, КА104Б, КА105А, КА105Б, КА109А, вместо КД514А — КД512А или КД419А.

Настройка генератора СВЧ начинается с проверки цепей питания. После подключения питания налаживают генератор ГФЧ. Для этого дроссель L6 оплавляют от конденсатора С12 и поддают на варикапы полусовской линии W3, устанавливая его частоту в пределах 1,7...1,9 ГГц. Подбирают резисторы R16, R24, R32 устанавливают коллекторное напряжение транзисторов V74, V76 и V78 в пределах, указанных на схеме (см. рис. 1). Выходное СВЧ напряжение на коллекторах транзисторов V78 должно быть не менее 50 мВ, в противном случае подбирают конденсаторы С27, С40, С47 или изменяют ширину полюсовых линий W7, W9, W11, уменьшая скалпеллем их ширину или припаяв сверху узкую полосу фольги.

После настройки СВЧ генератора



частотометром проверяют частоту кварцевого генератора на выходе 11 микроосхемы DD5.4. Точное значение частоты устанавливается подстройкой конденсатора С54. Частота импульсов на входе С1 микроосхемы DD7 должна быть равна 225,0 кГц, в противном случае проверяют исправность микроосхем DD8 и DD9. После установив дроссель L6 на место измеряют значения частоты на входе С2 микроосхемы DD7, которые должны составлять 225,0 кГц, что свидетельствует о работоспособности узла ФАПЧ, в противном случае проверяют исправность микроосхем DD7, DD6.1, DA1, DA2.

Процедура настройки ГПЧ на транзисторе V71 и СВЧ усилителя на транзисторе V73, V75, V77 аналогична вышеприведенной.

При изменении напряжения настройки на варикапах VD1, VD3 в пределах ст -0,7 до +50 В частота на выходе генератора с транзистором V71 должна изменяться от 1,8 до 3,5 ГГц, в противном случае изменяют ширину полюсовой линии W2. СВЧ усилитель канала ГПЧ настраивают подбором конденсаторов С26, С39, С46 или ширины полюсовых линий W6, W5, W10 таким образом, чтобы выходное напряжение на коллекторе транзистора V77 было не менее 75 мВ на верхней границе диапазона.

Настройка ФНЧ сводится к подбору длин линий W16 и W18 путем соединения пайкой настроечных площадок с целью получения частоты среза фильтра 1,75 ГГц.

Процесс настройки регулятора мощности и выходного усилителя подробно описан в [2]. Настройкой прибора можно считать законченной, когда при изменении напряжения настройки на варикапах VD1, VD2 ст -0,7 до +50 В значения частоты сигнала на выходе XW1 изменяется от 10 до 1700 МГц. Генератор СВЧ работает и без системы ФАПЧ. В этом случае на варикапы VD3, VD4 следует подать постоянное напряжение, соответствующее частоте генерации 1,8 ГГц. При исключении системы ФАПЧ (всех цифровых микроосхем и ОУ DA1, DA2) до временная нестабильность частоты ГФЧ может увеличиться так, что изменится нижняя граница генерируемых прибором частот. В этом случае следует периодически осуществлять подстройку частоты фиксированного генератора на транзисторе V72.

Генератор СВЧ может быть использован для построения устройств настройки селекторов телевизионных каналов, СВЧ усилителей и приемных систем спутникового телевидения.

ЛИТЕРАТУРА

- 1 Справочник по расчету и конструированию СВЧ полупроводниковых устройств (под ред. Волына В.И.) — М.: Радио и связь, 1982 г.
- 2 Жук В. СВЧ генератор. Радио, 1992, № 8, с. 65, № 9, с. 69.

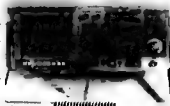
Принимая редакцию. По вопросам приобретения чертежей печатной платы с готовыми конструкциями желаемым способом прибор обращаться в редакцию письменно или по телефону (095) 208-63-05.

АО "ЭЛИКС" предлагает:

новинки сезона 1995 года:

1. Осциллографы Pintek

Являясь по основным параметрам аналогами хорошо известных отечественных приборов С1-126, С1-127, С1-131, С1-137 - осциллографы "Pintek" значительно превосходят их по возможностям, характеристикам, дизайну и удобству в использовании.



типичный

С новыми приборами просто приятно работать! И это еще не все!

Осциллографы "Pintek" и по стоимости аналогичны отечественным приборам!

Модель	Количество каналов	Полоса пропускания В/Гц	Коэф. деления мВ/дел	Коэф. развертки см/дел	Тележка с выносными
PS-1000	2	100 МГц	1 мВ - 5 В	20 мс / 0,5 с	Индикация параметров измеряемого сигнала
RS-608	2	60 МГц	1 мВ - 15 В	0,1 мкс / 0,5 с	Запоминающий, с интерфейсом RS-232C
PS-605	2	60 МГц	1 мВ - 5 В	0,1 мкс / 0,2 с	
DS-303P	2	30 МГц	1 мВ - 5 В	0,1 мкс / 0,5 с	
PS-250	2	25 МГц	1 мВ - 5 В	0,1 мкс / 0,2 с	

Все приборы имеют унифицированный корпус 324х132х398 мм, размер экрана 80 х 100 мм, входной импеданс: 1 МОм/25 пФ, максимальные входное напряжение: 400 В, питание от 110 до 240 В, мощность 40 - 60 Вт, вес 7,6 - 8,5 кг.

2. Мультиметр DMM 645

При своих сравнительно небольших габаритах и очень низкой цене, прибор имеет 10 функций и 31 диапазон измерений.

Наилучшее соотношение цена/возможности! Мультиметр обладает следующими характеристиками:

- Базовая погрешность 1%
- Режим проверки диодов
- Дисплей: 3 1/2 разряда, размер цифр 16 мм
- Входное сопротивление 10 МΩ
- Индикация разряда батареи
- Защита от перегрузки
- Режим звуковой прозвонки
- Питание 9В
- Габариты и вес: 120 х 75 х 30 мм, 180 гр.

Производит измерения в следующих пределах:	
Постоянное напряжение	0,1 мВ - 1000 В
Переменное напряжение	0,1 мВ - 600 В
Постоянный ток	1 мкА - 10 А
Переменный ток	1 мкА - 10 А
Емкость	1 пФ - 20 мкФ
Сопротивление	0,1 Ом - 20 МОм
Частота	10 Гц - 20 МГц

3. Набор инструментов ТК1001А

Идеальный набор инструментов для любой переносной лаборатории. Выполнен в жестком кейсе, с отведенными ячейками под каждый инструмент.

Набор содержит в себе: 3 крестообразные отвертки, 3 плоские отвертки, плоскогубцы, кусачки, паяльник, вакуумный отсос, пинцет, держатель паяльника, припой, лезвие для зачистки, при желании набор комплектуется мультиметром DMM 645.



АО "Эликс" предлагает более 300 наименований различной контрольно-измерительной аппаратуры, с гарантией 1 год.

Мультиметры, осциллографы, вольтметры, генераторы, частотомеры, измерители импеданса, урны, модуляторы, дедемодеры, анализаторы спектра, осциллографы цифровые, характеристикографы, тестеры, источники питания, установки поверочные, компараторы, меры сопротивления, меры образцовые, аксессуары, измерительные головки, электрические счетчики, приборы шитовые, самопишущие.

Осуществляем рассылку приборов по почте, гарантийный и послегарантийный ремонт.

Просим Вас обращаться по адресу: 115612, Москва, Каширское ш., д. 57, корп. 5.

☎ / факс (095) 344 8476, ☎ (095) 344 6707

СПРАВОЧНИКИ

«РЕМОНТ ЗАРУБЕЖНОЙ ТЕХНИКИ» Телевизоры, видеонаблюдатели, сценки, описания, детали, решения. Цена за два тома 80000р. Подписка почтовым переводом: 117168 Москва, Кривокозского 14 корп. 1, Агентство "КИТА-СЕРВИС". В графе "для письма" напишите свой адрес, и название: "Справочники. Ремонт зарубежной техники". Телевизоры и видеонаблюдатели, оплата за два тома!

Техническая книга-ночтой.

634045, г. Томск, а/б. ящ. 2553. Тел. (3822) 21-55-57

АО завод "ЭКРАН" предлагает: радиорелейные станции, передатчики радиоспешательные, приемники спутникового ТВ, ультразвуковые счетчики расхода жидкостей (см. "Радио" N 4/95).

Адрес: 443022, г. Самара, пр. Кирова, 24.

Телефоны: (8462) 27-18-54, 27-18-34.

РАДИОЛАМПЫ ЛЮБЫХ ТИПОВ

Телефон/факс (095) 112-44-22

Фирма "Пирокон" реализует оптом и мелким оптом со склада в Москве и по заказам электронные комплектующие изделия производства России и стран СНГ, аксессуары к оргтехнике, ТНП.

Адрес: г. Москва, 1-ый Волоколамский проезд, д. 10 а.

Телефоны: (095) 196-60-53, 196-68-98.

Факс (095) 491-65-03.

Фирма DELESTA производит узлы для переделки телевизоров NTSC 3,58 в стандарт PAL/SECAM (транскодеры, конвертеры, ПЛАЗЫ для УПЧН). Телефоны (095) 484-58-79, 205-04-01.

FORTH-83 V1.0

На базе стандарта FORTH-83. Любые типы операционных систем (MS-DOS, RT-11 и т.д.). Подробное руководство.

Прислать схему программирования в виде файла: "TNA7A". 121490 Москва, Юго-Восточный проезд, д. 1, т.ф. (095) 404-0350

Основные черты:

- полное блочное устройство, почти на уровне Assembler;
- быстрая загрузка/выгрузка, перемещение;

НПКФ "ТЕТРАН". Тензопреобразователи давления и силы для датчиков давления "Салфит-22", ремонт датчиков. Телефон (095) 217-2314.

РАДИОТОВАРЫ - ПОЧТОЙ КНИГА - ПОЧТОЙ

- Жителям РОССИИ высылаем: Широкий ассортимент радиотехнической, справочной и литературы по программированию издательств России и Ближнего зарубежья;
- Комплектующие для ремонта и модернизации отечественной и зарубежной аудио-, видеотехники;
- Комплектующие и рекомендации для самостоятельной сборки компьютеров IBM различной конфигурации.

Для получения БЕСПЛАТНОГО каталога присылайте конверт в конверте с указанием интересующих разделов

109147, г. Москва, а/я 30, "ДЕССИ"

тел./факс (095) 264-74-02 с 10 до 16 ч.

УПРАВЛЕНИЕ МОДЕЛЯМИ ПО РАДИО

А. МОХОВ, г. Москва

В предыдущем номере журнала вы ознакомились с общими принципами построения системы радиоуправления моделями. В этой статье речь пойдет о передатчике такой системы.

ПЕРЕДАТЧИК

Предполагается, что ваша работа по конструированию приемной радиоаппаратуры будет двухэтапной. Сначала вам предстоит изучить, смонтировать и освоить одноканальную аппаратуру дискретного действия, а затем, когда накопится опыт, — двухканальную, четырехкомандную дискретно-пропорциональную управления. Но передатчик для обоих вариантов приемной аппаратуры будет общим, только при четырехкомандном варианте могут быть задействованы четыре кнопки (или переключателя) на пульте управления, а при одноканальной — только выключатель источника питания передатчика.

Принципиальная схема такого передатчика показана на рис. 5. Основой его шифратора служит мультивибратор на транзисторах VT1 и VT2, генерирующий колебания 3Ч прямоугольной формы. При указанных на схеме номиналах частото- задающих конденсаторов C1 и C2, резисторов R2 — R7 и положений контактов ключонных переключателей SB1 — SB4 мультивибратор симметричный. Частота следования генерируемых им колебаний — 125...130 Гц, период (T) одного колебания — около 8 мс, а длительность импульсов и пауз между импульсами — 4 мс. Графическое изображение колебаний симметричного мультивибратора вам уже знакомо по рис. 3, а первой статьи.

Длительность импульсов и пауз между ними можно увеличивать или, наоборот, уменьшать ступенчатым изменением сопротивлений частото- задающих цепей, образованных резисторами R2 — R7. Делают это ключонными переключателями SB1 — SB4 в обход плечам мультивибратора. Так, например, при замыкании контактов кнопки SB3, когда в частото- задающей цепи правого (по схеме)

плеча остается лишь резистор R6, длительность импульсов уменьшается до 3 мс, а при размыкании контактов кнопки SB4 — увеличивается до 5 мс. При этом длительность пауз остается прежней (примерно 4 мс), если, конечно, в это время контакты других кнопок остаются в исходном (по схеме) состоянии.

Аналогично кнопками SB1 и SB2 плечо мультивибратора изменяют длительность паузы между импульсами: при замыкании контактов кнопки SB1 длительность паузы уменьшается до 3 мс, а при размыкании контактов кнопки SB2 — увеличивается до 5 мс.

В изменении длительности импульсов и пауз кнопками на пульте управления передатчика и заключается принцип независимого телеуправления самоходной игрушкой или моделью. Можно одновременно нажимать две кнопки и тем самым получать различные комбинации длительности импульсов и пауз. При этом управляемая модель, получившая командный сигнал, будет двигаться вперед, назад, поворачивать влево-вправо и даже разворачиваться на месте.

Для управления одноканальной приемной аппаратурой используются только импульсные сигналы, формируемые симметричным мультивибратором.

Генератор колебаний высокой (несущей) частоты выполнен на транзисторе VT4 по схеме емкостной трехточки. Его колебательный контур, настроенный на частоту 27,12 МГц (отведенную Госстандартом электросвязи для радиоуправления моделями), образуют катушки L1, L2 и конденсатор C6. Через согласующую катушку L3 сигнал передатчика поступает в антенну и излучается ею в окружающее пространство.

Но генератор ВЧ передатчика работает не непрерывно. Он возбуждается, и антенна излучает соответствующий сиг-

нал лишь тогда, когда открывается транзистор VT3 манипулятора и через его малое сопротивление (и резистор R10) на генератор подается напряжение питания, источником которого служит батарея GB1. Открывается же этот транзистор лишь тогда, когда на его базу (относительно эмиттера) с коллектора транзистора VT2 мультивибратора поступает командный импульс. В это время антенна излучает пачку колебаний ВЧ, длительность которой соответствует длительности командного импульса (рис. 4, г).

Режим работы транзистора VT4 генератора ВЧ по постоянному току определяется делителем напряжения R11R12. Резистор R13 в эмиттерной цепи транзистора термостабилизирует работу генератора. Конденсатор C4 и резистор R10 образуют фильтр, подавляющий высокочастотные помехи в цепи питания.

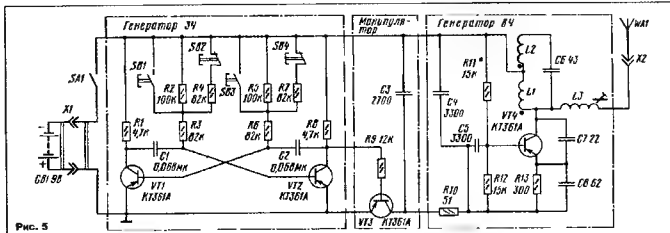
При напряжении источника питания 9 В мощность передатчика на превышает 10 мВт, потребляемый ток — 6...8 мА.

Все детали передатчика, кроме резисторов R2, R4, R5, R7 и переключателей SB1 — SB4 пульты управления, монтируют на печатной плате размерами 65x55 мм (рис. 6), выполненной из одностороннего фольгированного стеклотолста или гетинакса. Батарею питания ("Крона", "Корунд") размещают на стороне платы, свободной от других деталей передатчика.

Транзисторы, используемые для передатчика, высокочастотные кремниевые серии КТ361 (с любым буквенным индексом) с коэффициентом передачи тока базы ($\beta_{\text{эб}}$) не менее 60. Все резисторы — МЛТ-0,125 или МЛТ-0,25, конденсаторы — К10-7а, КМ-6. Катушки L1 и L2 контура генератора ВЧ — бескаркасные. Каждая из них содержит 8 витков провода ПЭВ-1 0,8, наматываемых на оправку диаметром 10 мм. Согласующую катушку L3 (рис. 7), содержащую 12 витков провода ПЭВ-1 0,4, наматывают на унифицированный каркас с ферритовым подстроечным диаметром 2,6 мм, например, на каркасе гетеродинамных катушек портативного транзисторного приемника.

Антенный передатчика служит отрезок упругой проволоки диаметром 1...2 мм и длиной 50...60 см, который через отверстие в корпусе вставляют в гнездо X2 (от разъемного соединителя), припаянное непосредственно к фольге печатной платы.

Об особенностях монтажа деталей и налаживания передатчика поговорим позже.



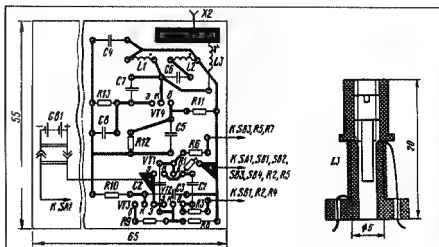


Рис. 6

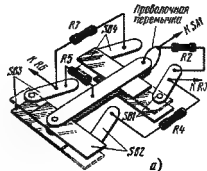


Рис. 7

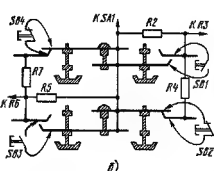


Рис. 8



Рис. 9

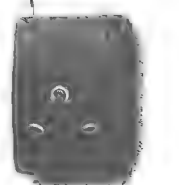


Рис. 10

Для тех на вас, кто уже имеет "Вездеход" (рис. 1) или аналогичную по электро-механической части игрушку-модель с пультом дистанционного управления, корпус этого пульта может стать корпусом передатчика, а его кнопки с контактными пластинками — пультом управления передатчиком. Но функцию органа управления передатчиком может также выполнять пара переключателей типа "тумблер", которые вместе с монтажной платой размещают в подходящем по размерам корпусе. Коротче говоря, предлагаем на выбор два варианта конструктивного оформления передатчика.

Внешний вид передатчика первого варианта со стороны пульта органа управления показан на рис. 8. Кабель и контакты дистанционного управления удалены, слева внизу на лицевой стенке корпуса размещен выключатель питания (тумблер МТ1), справа сверху — антенна. Функцию контактов кнопок управления выполняют пружинные пластины, укрепленные на внутренней стороне корпуса против кнопок (рис. 9а), которые надо доработать. Суть такой доработки заключается в следующем: сначала надо осторожно удалить (отрезать) части поперечных контактных пластин, обозначенные на рис. 9а шпиксовыми линиями, затем соединить отрезком провода продольные пластины, после чего смонтировать на пластины времязадающие резисторы R2, R4, R5 и R7 мультивибратора. Схема полностью доработанного пульта управления передатчика приведена на рис. 9.6. Надежность замыкания и размыкания контактов ключевых переключателей пульта нетрудно проверить омметром.

Теперь — о конструкции передатчика

второго варианта, внешний вид которого (со стороны пульта управления) показан на рис. 10. Его корпусом служит пластмассовая мыльница с внутренними размерами 95х65х40 мм, а органами управления — два тумблера П2Т-5 со средним (нейтральным) положением и такой же, как и в передатчике первого варианта, выключатель питания (SA1). Монтажную плату и батарею питания ("Крона", "Корунд") размещают внутри корпуса.

Группы контактов двух тумблеров П2Т-5 (или аналогичных переключных, например, П2Т-1, П2Т-23) передатчика выполняют те же функции, что и контакты четырех переключателей кнопочного типа. Один из тумблеров предназначен для коммутации частотозадающих резисторов левого (по схеме на рис. 5) плеча мультивибратора, а второй — правого его плеча. Но для выполнения тумблерами функций четырех независимых кнопок они требуют несложной доработки.

Основной тумблеров этого типа служат два каналоуказыва V-образных коромысла (рис. 11) и шесть контактов с выводами, нумерация которых выштампована на днище корпуса. Каждое коромысло и три контакта под ним образуют самостоятельный переключатель на два направления со средним нейтральным положением. Доработать же надо лишь одно коромысло каждого тумблера. Для этого придется снять с корпуса крышку вместе с ручкой управления, удалить пружины, воспрещающие ручку в среднее положение (они в дальнейшем не используются) и изогнуть коромысло таким образом, чтобы его контакт надежно замыкался с контактом в днище корпуса при среднем положении ручки переключателя.

Для сборки тумблера на его корпусе против доработанного контакта полезно сделать соответствующую пометку.

Аналогично поступают со вторым тумблером, после чего на их контактных выводах монтируют относящиеся к ним резисторы мультивибратора. Внешний вид доработанного тумблера, монтаж резисторов на нем и схема такого узла передатчика показаны на рис. 12. Указанные на них порядковые номера резисторов без скобок соответствуют левому плечу мультивибратора, а в скобках — его правому плечу. На лицевой стенке корпуса тумблеры размещают таким образом, чтобы свободные выводы 3 и 4 одного на них были направлены вверх, а второго — вниз, т. е. чтобы их корпуса оказались повернутыми на 180°.

Теперь — несколько подробное о монтаже, конструкции и испытании передатчика. Его монтажная плата, показанная на рис. 6, рассчитана на тугую посадку в корпусе дистанционного управления электро-механическими игрушками или в мыльнице соответствующих размеров без какого-либо дополнительного крепления. Монтаж передатчика первого варианта вы видите на рис. 13, а второго — на рис. 14.

Но, разумеется, корпус передатчика может быть иным, в том числе склеенным из пластин полистирола или оргстекла, в котором можно разместить плату, ключевые переключатели или тумблеры, а также батарею питания. В таком случае пластина фольгированного материала

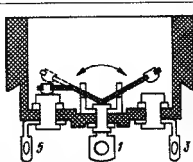


Рис. 11

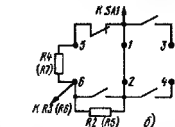
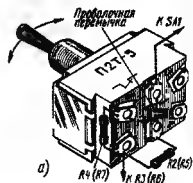


Рис. 12

ла для платы будет меньше и на ней могут быть предусмотрены отверстия крепления в корпусе. А если фольгированого стеклотекстолита или гетинакса нет, то монтаж деталей на плате может быть навесным, но обязательно прочным, чтобы обеспечить передатчику надежность

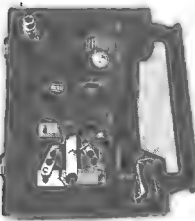


Рис. 13

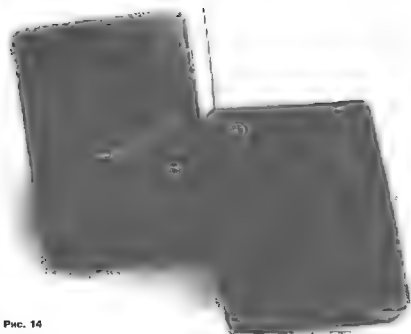


Рис. 14

в работе. Допустимы и некоторые изменения в размещении деталей на плате — в зависимости от конкретных конструктивных особенностей и габаритов подобранных деталей.

В мультивибраторе передатчика транзисторы КТ361А (VT1, VT2) можно заменить р-п-р транзисторами микросборки К16ВНТ8А, как это сделано в передатчике первого варианта (рис. 13).

При заводском исправных деталей и безосновном монтаже передатчик не требует особого налаживания. Надо только убедиться в его работоспособности и подбором индуктивности согласующей катушки L1 добиться максимальной мощности.

Работоспособность мультивибратора нетрудно проверить с помощью высокоомных головных телефонов, включая их между общим (плюсовым) проводником источника питания и коллекторами транзисторов VT1 и VT2. При замыкании контактов выключателя питания SA1 в телефонах должен прослушиваться звук низкого тона, соответствующий частоте мультивибратора (около 125 Гц). Звук такой же тональности в телефонах должен быть и при подключении их параллельно конденсаторам C3, C4.

Для проверки работоспособности и налаживания генератора ВЧ потребуется пробник электромагнитного поля, выполненный по схеме, приведенной на рис. 15. Этот простой измерительный прибор представляет собой детекторный приемник, нагрузкой которого служит вольтметр PV1. Колебательный контур пробника образуют катушка L1, постоянный конденсатор C1 (КТ-1, КД-2) и подстроенный C2 (КПК-1, КПК-МП). Катушка L1 должна содержать 10 витков провода ПЭВ-1 1...1,2 с шагом 4 мм, намотанных на бумажном или пластмассовом каркасе диаметром 25 мм. Отвод делают от 3-го витка, считая от нижнего (по схеме) конца катушки. Индикатором (PV1) может служить вольтметр постоянного тока с относительно высоким сопротивлением 10 КОм/В, например, вольтметр амперметра на пределе измерения до 0,1 В, а также любой микроамперметр на ток 50...100 мкА, в том числе индикаторы

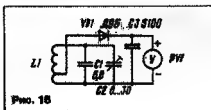


Рис. 15

уровня, используемые в магнитофонах или радиоприемниках.

Пробник располагают на расстоянии 50...60 см от антенны передатчика. Если генератор ВЧ исправен, то при включении источника питания передатчика стрелка вольтметра должна отклониться на некоторый угол от нулевой отметки шкалы. Вот теперь можно настроить генератор ВЧ на частоту 27,12 МГц, а затем подстроечным конденсатором, настраивая им контур пробника на частоту генератора, добиться наибольшего отклонения стрелки вольтметра.

Если же стрелка индикатора вообще никак не реагирует на настройку контура пробника, даже при меньшем расстоянии между ним и антенной, причиной тому может быть ошибка в монтаже деталей генератора, например, несоблюдение полярности включения катушек L1 и L2 или его невозбуждение. Возбуждения генератора и устойчивости генерируемых им колебаний добиваются тщательным подбором резистора R11.

Максимальной мощности высокочастотной энергии, излучаемой антенной передатчика, добиваются вращением подстроечника согласующей катушки L3. Настройкой генератора ВЧ можно считать законченной, если вольтметр пробника, отнесенный от антенны на расстояние до 1...1,2 м, показывает напряжение не менее 0,05 В.

К следующей нашей встрече, когда разговор пойдет о приемном устройстве радиуправляемой модели, работа по монтажу и налаживанию передатчика должна быть закончена.

УКВ ПРИЕМНИК — В ПАЧКЕ «MARLBORO»

Д. МАКАРОВ, г. Москва

Не столь важно, чем вы порою бываете заняты: загораете на пляже, бродите по лесу в поисках грибов или заканчиваете очередной этап строительства на даче. Но предлагаемый карманный УКВ приемник должен быть всегда рядом, поскольку он — нередко единственная возможность слушать любимую музыку и получать свежую информацию о происходящих в мире событиях, не прекращая своих занятий.

Как это ни странно, решившись бросить курить, человек страдает от отсутствия в кармане пачки сигарет. Может быть, избавиться от этих мучений поможет УКВ приемник, выполненный, скажем, в опустевшей пачке «Marlboro» (рис. 1). Носите его в кармане, и как только потянет закурить — вынимайте пачку и включайте радиоприемник. Глядишь, звуки музыки отелкут вас от мыслей о курении.

Одно из несомненных достоинств приемника — возможность приема около десятка популярных радиостанций в диапазоне 65,8...74 МГц или 88...108 МГц. Кроме того, приемник обладает непло-

хими параметрами: его чувствительность — не хуже 7 мкВ, выходная мощность — более 40 мВт, отношения сигнал/шум — из менее 40 дБ, ток потребления в режиме молчания (при отсутствии принимаемого сигнала) — максимум 10 мА, а потребляемый ток — из более 35 мА. Звуковой излучатель приемника (малогабаритная динамическая головка) воспроизводит сигналы в полосе частот 450...3150 Гц. Источник питания — батарея напряжением 3 В, работоспособность приемника сохраняется при снижении напряжения до 2 В. Если в качестве источника питания использовать два последова-

тельно соединенных элемента А316, они проработают непрерывно 40...50 ч. а с элементами «Varta» — 70...80 ч.

Основу приемника (рис. 2) составляет многофункциональная микросхема К174ХА34 (DA1), которая представляет собой готовый супергетеродинный УКВ приемник, поскольку содержит и гетеродин, и смеситель, и усилитель ПЧ, и частотный детектор, и предварительный усилитель ЗЧ. Кроме того, имеются амплитудный ограничитель и система автоподстройки частоты (АПЧ). Остается лишь подключить навесные элементы да «раскачать», при необходимости, выходной сигнал ЗЧ до нужной мощности — это и было осуществлено в радиолaborатории журнала «Радио», причем с максимальным использованием типового включе-

ния микросхемы. С антенны WA1 (ею служит плетеная ручка приемника из многожильного монтажного провода в изоляции) принимаемый сигнал поступает из широкополосный входной колебательный контур L2C11C13, рассчитанный из выбранного диапазона, а с контура — на вход микросхемы (выводы 12, 13). К другому входу микросхемы (выводы 4, 5) подключен контур гетеродина L1C2VD1. Изменением резонансной частоты этого контура настраивают приемник на нужную радиостанцию. Органом настройки в данном случае является варикап VD1. Его емкость изменяет электронный способ, подавая на варикап то или иное постоянное напряжение, снимаемое с движка переменного резистора R2. При этом частота настройки гетеродина превышает частоту сигнала принимаемой радиостанции на 75 кГц — значение промежуточной частоты.

Вся остальная обработка сигналов — смещение, усиление сигнала ПЧ, детектирование, предварительное усиление сигнала ЗЧ осуществляется микросхемой. В итоге на выводе 14 появляется сигнал ЗЧ амплитудой не менее 100 мВ, который, в принципе, можно подавать на головной телефон сопротивлением не менее 100 Ом. Для получения наибольшего выходного сигнала ЗЧ вывод 16 микросхемы соединен с общим проводом через конденсатор C9, а для кор-



Рис. 1

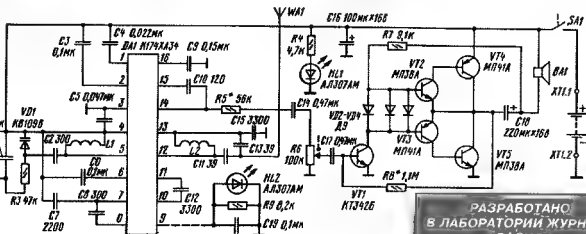


Рис. 2

РАЗРАБОТАНО
В ЛАБОРАТОРИИ ЖУРНАЛА
«РАДИО»

ме обладает несомненными преимуществами, поскольку способна работать при напряжении 0,9...4,5 В, отдавать в нагрузку сопротивлением 8 Ом при питающем напряжении 3 В до 300 мВт мощности, если использовать мостовое включение, коэффициент гармоник в этом случае не превышает 0,3%.

Любим из предложенных вариантов радиолубители сможет воспользоваться в зависимости от наличия соответствующей элементной базы.

А теперь несколько слов о конструкции приемника. Детали его смонтированы на сравнительно миниатюрной плате (рис. 4) из одностороннего фольгированного стеклотекстолита. Конечно, просто разместить плату и остальные элементы приемника внутри пачки от сигарет не удастся. Поэтому был изготовлен корпус из прозрачного органического стекла толщиной 3 мм (рис. 5). Если будет другой материал, например, цветной ударопрочный полистирол, подойдет и он. Однако прозрачное органическое стекло более удобно при разметке размещения элементов: видно, как расположить динамическую головку, сколько места занимают элементы питания, где удобнее просверлить отверстия под органы управления и т. д.

Правда, органическое стекло хуже склеивается, чем полистирол. Поэтому выпилные стенки корпуса приемника удалось скрепить отрезками канцелярских скрепок длиной 5...10 мм, вставляя их в стекло паяльником и удерживая пинцетом. Снаружи корпус склеен фольгой от пачки сигарет, что необходимо для экранировки приемника и уменьшения влияния помех. Внешняя габариты корпуса получились равными 86х66х34 мм.

Динамическая головка BA1 0,5ГДШ-4 (подходит 0,25ГДШ-3 диаметром 50 мм и высотой 18 мм) приклеена к передней стенке корпуса клеем "Момент-2". Напротив диффузора в стенке высверлены двухмиллиметровые отверстия. Печатная плата закреплена на стойках и прижата прямоугольными выступами задней крышки корпуса. Отсек питания отделен стойками из органического стекла, которые прикреплены к корпусу с помощью впаляемых отрезков канцелярских скрепок. В отсеке закреплены два пластины фольгированного стеклотекстолита толщиной 1,5 мм, одна из которых поделена продольно в фольге пополам и к одной из половин припаян соединительный провод от выключателя питания (контактная точка ХТ1.1), а к другой от общего провода приемника (точка ХТ1.2). Вторая пластина будет служить перемычкой между гальваническими элементами, соединяя их последовательно. Для замены элементов и доступа к печатной плате приходится снимать заднюю крышку, которая крепится к боковым стенкам с помощью двух винтов М3 и впаляемых в крышку гаек. Антенна-ручка закреплена вверху на боковой стенке корпуса.

Ручка настройки выведена с левой стороны сверху корпуса, а регулятор громкости с выключателем питания расположен справа на лицевой панели. Шкала настройки расположена горизонтально в верхней части корпуса — она сделана из переменного резистора R2, на движок которого наклеен красный светодиод HL1,

являющийся "стрелкой" шкалы и индикатором включения питания приемника.

Далее была выбрана пустая пачка из-под сигарет "Marlboro", хотя вполне пригодна любая другая красивая пачка, разрезана по периметру пополам и наклеена на корпус. Пространство между стенками половинки заклеено полосками, вырезанными из другой такой же пачки. Окошко шкалы настройки закрыто тонкой полоской органического стекла во избежание попадания в приемник влаги.

О деталях приемника. На месте VT1 можно установить любой транзистор серий КТ315, КТ342, КТ3102 с коэффициентом передачи тока не менее 50. С таким же или большим коэффициентом должны быть транзисторы выходного каскада: на месте VT2, VT5 желательно использовать МП35, МП37Б, МП38, а на месте VT3, VT4 — МП41, МП42А, МП42Б.

Диоды VD2, VD4 — германиевые серий Д2, Д9, Д18 с любым буквенным индексом. Варикап KB109В (VD1) можно заменить на KB109Г. Учтите, что вывод антоды у варикала маркируется белой точкой или полусферой. Светодиод HL1 (а также HL2) можно взять, например, AL307В, AL307ЕМ или любой другой, важно, чтобы он потреблял возможно меньший ток при наибольшей яркости свечения.

Постоянные резисторы — МЛТ-0,125 Вт, переменный R2 — СП3-35, а R6 — СП3-3. Оксидные конденсаторы C16 и C18 К50-35, остальные — любые. Допускается незначительный разброс емкостей конденсаторов по сравнению с указанными на схеме.

Гетеродина катушка L1 и входная L2 — бескаркасные, их наматывают виток к витку на цилиндрической оправке внешним диаметром 5 мм, провод — ПЭВ-1,09: L1 содержит 12 витков, L2 — 7. Можно использовать и более тонкий провод, но при этом снизится добротность катушек. После намотки катушки нужно растянуть так, чтобы L1 стала длиной 12...16 мм, а L2 — 7...10 мм. В дальнейшем длину каждой катушки придется скорректировать в зависимости от того, на какой диапазон нужно настроить приемник. Кстати, о подборе деталей цепей гетеродина и входного контура можно прочитать в [3]. С увеличением длины катушки (растяжением ее витков) ее индуктивность уменьшается, и наоборот. Если изменением длины подобрать нужную индуктивность не удается, иногда приходится отмотать один-два витка или столько же добавлять.

Собранный без ошибок и из исправных деталей приемник, как правило, начинает работать сразу, но настраивать его все же придется, хотя бы для получения наилучшего звучания. Настройка сводится, по существу, к подгонке индуктивности катушек входного и гетеродина контуров. Сначала подключают антенну через конденсатор емкости 20...60 пФ к выводу 12 микросхемы и изменением индуктивности катушки L1, а также переменным движком переменного резистора R2 из одного крайнего положения в другое настраивают приемник на выбранный диапазон (65,8...74 МГц или 88...108 МГц), контролируя работу приемника по принимаемым радиостанциям или подавая на антенный провод сиг-



Рис. 5

нал соответствующей частоты от генератора. После этого восстанавливают подключение антенны и настраивают входной контур по наибольшей громкости звучания передачи.

Усилитель ЗЧ настраивают либо после предыдущего этапа либо отдельно, подавая на его вход сигнал с генератора и наблюдая по осциллографу форму сигнала на выходе усилителя (на коллекторах транзисторов VT4, VT5). Первая задача — получить максимальный громкий и неискаженный сигнал в динамической головке, вторая — обеспечить при этом минимальное потребление тока от источника питания.

Минимальное потребляемый усилителем ЗЧ ток в режиме молчания не должен превышать 3,5 мА. Если необходимо уменьшить и его, то надо увеличить число параллельно включенных диодов VD2, VD4 [1]. Однако следует помнить, что в режиме малого тока losses возможно появление искажений типа "ступенчатый".

Далее необходимо подключить вольтметр постоянного тока между выводом коллектора любого выходного транзистора и общим проводом — измеренное напряжение должно соответствовать позднему напряжению источника питания. При необходимости его можно установить точнее — подбором резистора R6.

Резистор R5 — ограничительный, его сопротивление влиять, с одной стороны, на громкость звука, а с другой — на появление или исчезновение искажений, особенно при приеме сигналов близко расположенных и мощных радиостанций. Поэтому решать вопрос о подборе этого резистора нужно для конкретного места эксплуатации приемника и условий приема.

ЛИТЕРАТУРА

1. Полков В.Т. Транзисторный громкоговоритель — Радио 1994, № 8, с. 23.
2. Мичин Ю.А. ТВО аналоговых микросхем (справочник). — М.: Патриот, МП "Символ-Р" и редакция журнала "Радио", 1993.
3. Герасимов Н. Двухдиапазонный УКВ приемник. — Радио, 1994, № 8, с. 6-8.

ГИРЛЯНДОЙ УПРАВЛЯЕТ КОМПЬЮТЕР

Н. ВАСИЛЬЕВ, г. Москва

Компьютеризация проникает в самые различные, порой неожиданные, области человеческой деятельности, при этом появляются совершенно нетривиальные варианты применения компьютеров. Многие радиолобители, собравшие в свое время "Радио-86РК", давно положили его на полку, однако этот компьютер вполне может заставить гирлянды на вашей новогодней елке пераключаться по тому закону, который зададите вы.

Для тех же, кому не под силу сделать такое устройство управления, в следующем номере будет опубликовано описание двух более простых автоматов.

Ежегодно на страницах журнала "Радио" появляются описания разнообразных устройств для управления вольными гирляндами. Их схемы различаются числом и допустимой мощностью ламп в гирляндах либо используемыми коммутационными элементами (реле, транзисторы, триггеры), но закон управления реализуется, как правило, самый простой: поочередное периодичное или псевдослучайное зажигание и гашение одной или нескольких гирлянд.

Однако многим хотелось бы иметь более совершенный автомат, который мог бы задавать длительную неповторяющуюся световую программу. Он должен состоять из двух основных блоков: электронных ключей (в идеальном случае по ключу на каждую лампу) и управления ключами. Беда в том, что блок управления в этом варианте, если он реализует достаточно сложную программу, на дискретных элементах или микросхемах малой степени интеграции получается слишком сложным. Затраты времени и средств на разработку, изготовление и налаживание такого блока неоправданно велики, поскольку активно эксплуатируются он будет примерно с неделю. А уж к следующему новому году празднику наварняка захочется сменить программу, что для устройства с "жесткой" логикой означает полную его переделку.

Выход из положения очевиден: нужен от "жесткой" логики переходить к "гибкой" и сделать программируемый блок управления на базе микропроцессора или однокристальной микро-ЭВМ. Если же использовать персональный компьютер, даже такой простой, как "Радио-86РК", во время новогоднего праздника он вполне может взять на себя управление лампами вольных гирлянд, реализовав сколь угодно сложные световые эффекты, а затем использоваться по прямому назначению.

Предлагаемый блок электронных ключей (рис. 1) соединяют с компьютером двумя парами проводов. По одному из проводов каждой пары (контакты Х3 и Х5) поступает "рабочий" сигнал — "Синхронизация" и "Данные". Вторые провода (контакты Х4 и Х6) служат общим проводом. Для формирования нужных сигналов можно воспользоваться двумя разрядами любого из имеющихся в компьютере параллельных портов выхода данных. В IBM PC это может быть порт для подключения принтера, в "Радио-86РК" — один из портов микросхемы КР5801К55

(D14 на схеме в "Радио", 1986, № 5, с. 33). Подходящий порт можно найти и в любом другом компьютере. Даже если в нем нет параллельного интерфейса, нужные сигналы нетрудно сформировать на выходах RTS и DSR последовательного интерфейса RS-232C.

Кроме коммутации вольной гирлянды, блок может найти и более серьезные применения, скажем, в управлении различными информационными и рекламными табло.

Сигналы от компьютера поступают на входы элементов DD11 и DD11.3, которые совместно с элементами DD11.2 и DD11.4 выполняют роль буферных каскадов. В исходном состоянии оба сигнала имеют высокий логический уровень, и пока он на линии "Данные" поддерживается неизменным, на любые изменения сигнала "Синхронизация" автомат не реагирует.

Сигналом начала передачи служит переход уровня на линии "Данные" с высокого уровня на низкий при наличии низкого уровня на линии "Синхронизация". В этот момент на выходе элемента DD22.2 формируется импульс, устанавливающий низкий уровень на выходе 12 триггера DD23.2, который, в свою очередь, разрешает работу счетчика DD24.

После стартового сигнала по линии "Данные" последовательно передаются восемь разрядов кода адреса блока ключей, каждый из которых сопровождается импульсом низкого уровня по линии "Синхронизация". Наличие адреса позволяет при необходимости подключить к компьютеру параллельно до 255 блоков, аналогичных описываемому, причем каждый будет принимать только предназначенную для него информацию.

Дешифрация адреса происходит так. Подсчитывая импульсы синхронизации, счетчик DD24 поочередно формирует на своих выходах импульсы высокого уровня. Двоичная схема ИЛИ формирует из них эталон адресного кода. Для этого на плате блока должны быть оставлены только те из диодов VD2...VD9, что подключены к выходам счетчика, которым в коде адреса соответствует логическая 1. Элемент DD12.4 сравнивает эталон с адресом, передаваемым компьютером, и при первом же несовпадении формирует сигнал, изменяющий состояние триггера DD23.2 и возвращающий устройство в исходное состояние.

Если сравнение адресов успешно завершено, высокий уровень устанавлива-

ется на выходе 11 счетчика, что изменяет состояние триггера DD23.1, а также запрещает дальнейшую работу самого счетчика и всех каскадов узла сравнения адресов. На выходе 1 триггера устанавливается высокий уровень, разрешающий прохождение импульсов синхронизации на регистр сдвига (микросхемы DD13—DD20). С каждым таким импульсом информация, поступающая по линии "Данные", записывается в регистр и продвигается по нему. После 64 импульсов синхронизации все принятые данные будут записаны в регистр.

Далее компьютер формирует сигнал конца передачи: во время действия очередного импульса синхронизации сменяет низкий уровень на линии "Данные" высоким. Этот переход выделяется элементом DD22.1, после чего устройство возвращается в исходное состояние.

Лампами гирлянды непосредственно управляют микросхемы DD1—DD10, каждая из которых содержит по семь транзисторных ключей. Управляющие входы ключей подключены к выходам регистра сдвига. Оставшиеся свободными шесть ключей (в микросхеме DD10) резерв, который может быть использован в случае выхода из строя какого-нибудь из действующих ключей.

Каждый ключ коммутирует нагрузку, потребляющую ток не более 350 мА при напряжении до 30 В. Резисторы R1—R8 ограничивают броски тока (ведь в момент включения лампы накаливания потребляет ток примерно в пять раз больший номинального) и одновременно защищают ключи от выхода из строя при случайном коротком замыкании нагрузки.

Авторский вариант гирлянды составлялся из ламп КМ24-90 (24 В, 90 мА) и CM37 (27 В, 90 мА). Если понадобятся коммутируемые более мощные лампы, придется заменить микросхемы K1109K23 соответствующим числом транзисторных ключей нужной мощности.

Гирлянда питается от источника постоянного тока напряжением от 9 до 30 В (в зависимости от номинального напряжения лампы), подключаемого к контактам X1 и X2. Это же напряжение подается на стабилизатор, собранный на транзисторе VT1 и стабилизаторе VD1. Выходное напряжение стабилизатора используется для питания микросхем.

Предлагаемый блок позволяет изменить число управляемых им ламп — для этого достаточно увеличить или уменьшить число микросхем регистре сдвига и электронных ключей, подключив их аналогично показанным на схеме. Если нет необходимости управлять от одного компьютера несколькими блоками ключей, автоматизм можно упростить, исключив микросхемы DD21—DD24 и диоды VD2—VD9. Импульсы синхронизации на регистры сдвига в этом случае подаст непосредственно с выхода элемента DD11.4. Естественно, все изменения потребуют вмешательства и в программу управления, выполняемую компьютером (об этом будет сказано позже).

Вместо микросхем K561IP2 можно установить K561IP6 или удвоенное число K561IP9. Микросхемы серии K561 допустимо заменить аналогами из серий 564 или K176. В последнем варианте придется повысить напряжение питания, заменив стабилизатор КС156А на Д814В. При этом уровень сигналов, поступающих от компьютера, может оказаться недостаточным для нормальной работы устройств. Поэтому желательно использовать на месте DD11 микросхему K564IP6 либо

применить транзисторное устройство согласования уровней, схема которого приведена на рис. 2, а элементы DD11.1 и DD11.3 исключить. Вместо K1109KT23 подойдет K1109KT63, которых понадобится на десять, а восемь, поскольку каждая такая микросхема содержит восемь ключей. Все резисторы — МЛТ, конденсатор С1 — К50-24. Правда, на схеме не

показаны еще восемь конденсаторов К10-17 емкостью 0,1 мкФ, которые блокируют цепи питания микросхем и распределяются на печатной (или монтажной) плате равномерно.

Что касается платы (рис. 3), то при ее разработке необходимо помнить, что цепь, соединяющая выводы 8 микросхем DD1—DD10, должна быть выполнена про-

водниками, возможно, большего сечения, которые должны соединяться с общим проводом питания остальных микросхем в одной точке, в месте подключения микрового провода источника питания.

Несколько слов о размещении ламп и конструкции гирлянд. В простейшем случае лампы закрепляют непосредственно на ветвях вилки. К каждой из них

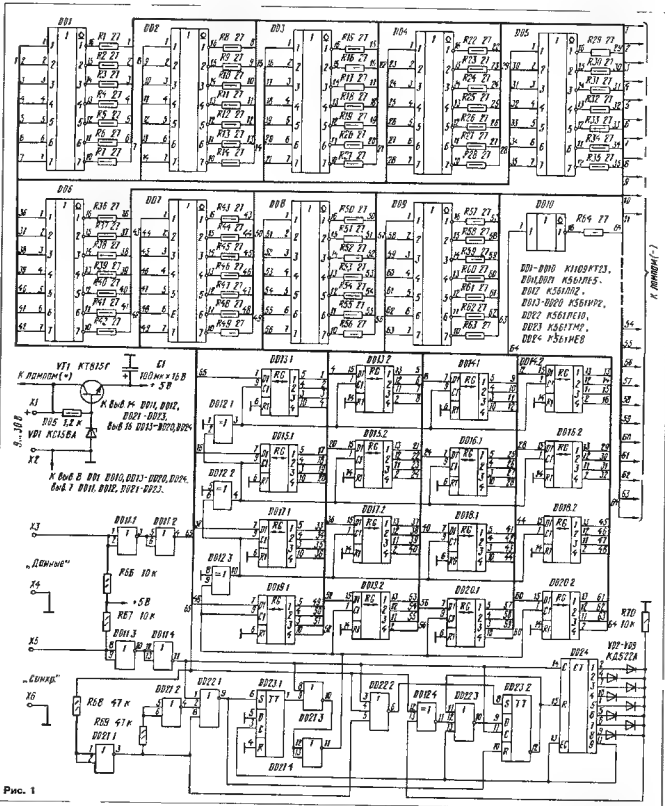
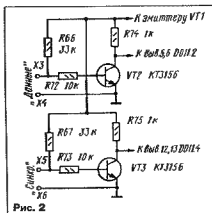


Рис. 1



подводят по два провода, один из которых соединяют с плюсом источника питания (контакт Х1), а второй — с соответствующим выходом электронных ключей.

В табл. 1 приведены коды программы управления гирляндой, которая предназначена для компьютера "Радио-86РК". С периодом примерно 0,25 с она передает каждому из подключенных к компьютеру блоков ключей новую порцию данных для управления лампами. Сигнал "Синхронизации" формируется на выводе РА1 микросхемы D14 компьютера, а сигнал "Данные" — на выводе РА0.

Информация о порядке зажигания и гашения ламп содержится в таблице, которая должна начинаться с адреса 00Н. В ее первом байте записывают код адреса блока ключей, которому информация должна передаваться первой. Затем следуют восемь байт (то есть 64 двоичных разряда), описывающие состояние ламп в данном такте.

Горящей лампе соответствует двоичная единица, погашенной — ноль. Соответствие между разрядами кода и положением ламп в гирлянде определяется порядком, в котором лампы соединены с выходами блока ключей.

В последующих байтах аналогичным образом указывают адреса и данные для всех блоков ключей. Таким образом, полное описание одного такта занимает 9Н байт, где N — число подключенных блоков. Описание каждого последующего такта необходимо начинать с адреса и дан-

ных для того же блока, с которого начинался первый такт. Признаком конца таблицы данных служит код адреса 0FFH. Встретив его, программа возвращается к началу таблицы. Таким образом, все эффекты циклически повторяются до выключения компьютера (или нажатия кнопки сброса). Понятно, что использование 0FFH в качестве адреса какого-либо блока недопустимо.

В табл. 2 приведен пример таблицы данных для двух блоков ключей с адресами 0 (на плате на установлен ни один из диодов VD2—VD9) и 1 (на плате установлен только диод VD9). При соответствующем подключении ламп к блокам управления будут получены перемежающиеся вертикальные и горизонтальные световые линии, сформированные каждая из восьми ламп.

Второй вариант программы приведен в табл. 3. Он предназначен для управления упрощенным блоком ключей, из которого исключен узел дешифрации адреса. Таблица данных в этом случае упрощается — из нее исключаются все адреса, а каждые восемь байт описывают один такт горения гирлянды. Конец таблицы никак не обозначается, вместо этого в ее первых двух байтах записыва-

Таблица 1

0000	C3	09	00	08	04	FF	FF	00	00	31	09	00	30	32	03
0010	A0	3E	43	32	00	A0	21	03	00	71	32	00	00	00	00
0020	C0	40	00	34	01	00	3C	32	07	C0	95	00	23	34	07
0030	00	30	E2	27	00	00	60	00	36	FF	00	CA	07	34	08
0040	00	00	00	00	00	00	00	00	00	00	00	00	00	00	00
0050	00	00	00	00	00	00	00	00	00	00	00	00	00	00	00
0060	00	00	00	00	00	00	00	00	00	00	00	00	00	00	00
0070	C0	BA	00	30	32	00	00	00	00	00	00	00	00	00	00
0080	C3	00	00	34	32	00	A0	C9	E3	21	07	00	00	00	00
0090	00	00	00	00	00	00	00	00	00	00	00	00	00	00	00
00A0	00	00	00	00	00	00	00	00	00	00	00	00	00	00	00
00B0	00	00	00	00	00	00	00	00	00	00	00	00	00	00	00
00C0	00	00	00	00	00	00	00	00	00	00	00	00	00	00	00
00D0	00	00	00	00	00	00	00	00	00	00	00	00	00	00	00
00E0	00	00	00	00	00	00	00	00	00	00	00	00	00	00	00
00F0	00	00	00	00	00	00	00	00	00	00	00	00	00	00	00

Контрольная сумма: 0F96

Таблица 2

0000	00	00	00	00	00	00	00	00	00	00	00	00	00	00	00
0010	00	00	00	00	00	00	00	00	00	00	00	00	00	00	00
0020	00	00	00	00	00	00	00	00	00	00	00	00	00	00	00
0030	00	00	00	00	00	00	00	00	00	00	00	00	00	00	00
0040	00	00	00	00	00	00	00	00	00	00	00	00	00	00	00
0050	00	00	00	00	00	00	00	00	00	00	00	00	00	00	00
0060	00	00	00	00	00	00	00	00	00	00	00	00	00	00	00
0070	00	00	00	00	00	00	00	00	00	00	00	00	00	00	00
0080	00	00	00	00	00	00	00	00	00	00	00	00	00	00	00
0090	00	00	00	00	00	00	00	00	00	00	00	00	00	00	00
00A0	00	00	00	00	00	00	00	00	00	00	00	00	00	00	00
00B0	00	00	00	00	00	00	00	00	00	00	00	00	00	00	00
00C0	00	00	00	00	00	00	00	00	00	00	00	00	00	00	00
00D0	00	00	00	00	00	00	00	00	00	00	00	00	00	00	00
00E0	00	00	00	00	00	00	00	00	00	00	00	00	00	00	00
00F0	00	00	00	00	00	00	00	00	00	00	00	00	00	00	00

Контрольные суммы: 0000 — 00FF 0200
0100 — 0170 FFFF
0000 — 0170 0777

Таблица 3

0000	C3	08	00	00	00	FF	FF	00	00	31	00	00	30	32	03
0010	3E	00	32	00	A0	24	00	00	00	71	21	00	00	00	00
0020	00	32	07	00	00	21	A2	00	00	00	34	03	00	00	00
0030	00	00	00	00	00	00	00	00	00	00	00	00	00	00	00
0040	2E	00	00	00	00	00	00	00	00	00	00	00	00	00	00
0050	00	00	00	00	00	00	00	00	00	00	00	00	00	00	00
0060	00	00	00	00	00	00	00	00	00	00	00	00	00	00	00
0070	00	00	00	00	00	00	00	00	00	00	00	00	00	00	00
0080	00	00	00	00	00	00	00	00	00	00	00	00	00	00	00
0090	00	00	00	00	00	00	00	00	00	00	00	00	00	00	00
00A0	00	00	00	00	00	00	00	00	00	00	00	00	00	00	00
00B0	00	00	00	00	00	00	00	00	00	00	00	00	00	00	00
00C0	00	00	00	00	00	00	00	00	00	00	00	00	00	00	00
00D0	00	00	00	00	00	00	00	00	00	00	00	00	00	00	00
00E0	00	00	00	00	00	00	00	00	00	00	00	00	00	00	00
00F0	00	00	00	00	00	00	00	00	00	00	00	00	00	00	00

Контрольные суммы: 0001

ют шестнадцатичное число, равное количеству описываемых тактов.

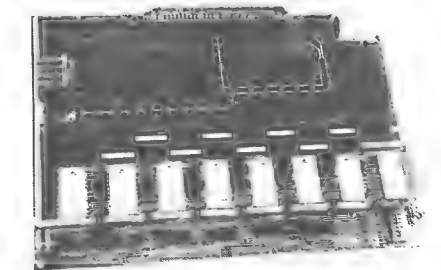
При использовании данных из табл. 4 лампы будут зажигаться и гаснуть попеременно ("бегущий огонь"), что удобно для проверки правильности их подключения к блоку.

Для составления и редактирования таблиц можно воспользоваться одним из многочисленных вариантов программы DIMSPROC, публиковавшихся на страницах журнала "Радио". Общая длина таблицы ограничена только объемом памяти компьютера. Например, 16К достаточно для описания примерно 25 минут работы гирлянды. Готовую таблицу рекомендуется записать на магнитофон вместе с программой управления.

В обеих приведенных выше программах некоторые параметры можно изменять. Число по адресу 3H задает количество байт данных, передаваемых каждому блоку управления в одном такте. Оно должно быть равно количеству разрядов в регистре сдвига блока управления, данному на в. Естественно, при изменении этого числа необходимо соответственно изменить и таблицы данных.

По адресу 4H записана константа, определяющая длительность импульсов управления, формируемых компьютером. Ее минимально допустимое значение зависит в основном от длины и качества линии связи между компьютером и блоком управления. А при слишком большом значении этой константы может стать заметным мигание ламп в процессе приема данных от компьютера.

В ячейках 5H и 6H находится двухбайтовая константа, от которой зависит длительность такта, т. е. скорость выполнения световой программы. Эту константу можно изменять по своему желанию для получения наилучшего эффекта.



PIC И ЕГО ПРИМЕНЕНИЕ

Д. ГАНЖЕНКО, Е. КАБАКОВ, И. КОРШУН, г. Зеленоград

PIC (Peripheral Interface Controller) — это класс микропроцессорных устройств, малоизвестных в нашей стране. Они предназначены для построения несложных контроллеров с малым током потребления. На базе этих устройств фирма "Телесистем ЛТД" разработала немало интересных конструкций, о которых будет рассказано в этой и последующих статьях.

НЕМНОГО О PIC-КОНТРОЛЛЕРЕ

Для построения контроллеров ранее у разработчиков было несколько вариантов. Основу могли составлять большие интегральные схемы (БИС), что требовало, к сожалению, значительных материальных затрат и уйму времени. Не исключалось и применение программируемых логических интегральных схем (ПЛИС), но из-за дороговизны применение их оправдывалось лишь в изделиях с очень малым тиражом.

Что касается варианта с жесткой логикой, то для реализации даже простого алгоритма потребуются десятки микросхем. А это дорого и ненадежно.

Неплохой вариант — использовать микроконтроллеры (87C42, 87C48, 87C51, ...) и микропроцессоры (Z80, 8085, 8088...). В этом случае реализация контроллера сводится к использованию достаточно дорогого микроконтроллера с внутренним ПЗУ и ОЗУ или более дешевой, но громоздкой комбинации — микропроцессор—ПЗУ—ОЗУ. Кроме того, придется еще повозиться с тактовым генератором, организацией системы сброса, системы защиты от сбоя, каковой-нибудь вешалкой адреса, адресных дешифраторов, системы управления потребляемой мощностью...

В PIC (далее речь пойдет о PIC фирмы MicroChip Inc. серии PIC16CXX) решены почти все вышеперечисленные проблемы.

Начнем с аппаратных возможностей. Все PIC обладают встроенными ПЗУ (0,5...4 килобита) и ОЗУ (32...256 байт). Основная часть контроллеров поставляется с однократно программируемым ПЗУ. Впрочем, есть отладочные кристаллы с ультрафиолетовым стиранием, с мочным ПЗУ, а PIC 16C84 снабжен памятью программ и данных, выполненной на базе электрически программируемого ПЗУ. Кроме того, PIC снабжены таймерами (от 1 до 3 шт.), встроенной системой сброса, системой защиты от сбоя (watchdog timer), внутренним тактовым генератором, который может запускаться как от кварцевого резонатора, так и от RC-цепи в широком диапазоне частот — от 0 до 25 МГц. PIC обладают статической памятью и поэтому могут работать на сколь угодно низкой частоте. Число разрядов портов ввода-вывода — от 12 до 33. Каждый разряд порта может быть

запрограммирован на ввод или вывод. Нагрузочная способность каждого разряда — 25 мА. PIC 16C64 дополнительно имеет выход с ШИМ, с помощью которого можно реализовать ЦАП с разрешением до 16 разрядов, а также последовательный двунаправленный синхронно-асинхронный порт.

PIC 16C71 и PIC 16C74 снабжены внутренним восьмиразрядным АЦП с устройством выборки-хранения и входным аналоговым мультиплексором. PIC работает в широком диапазоне напряжений — 2,5...6 В, при этом ток потребления составляет 15 мА на частоте 32 кГц, 1...2 мА — на частоте 4 МГц, 5...7 мА — на 16 МГц, а в режиме микропотребления (SLEEP mode) — 1...2 мкА.

Ко всему сказанному добавим, что PIC поставляются в трех видах корпусов: DIP (шаг выводов 2,54 мм), SOIC (планарный корпус, шаг выводов 1,252 мм), SSOP (планарный корпус, шаг выводов 0,625 мм). Температурные диапазоны: коммерческий — от 0 до +70°C, индустриальный — от -40°C до +85°C, автомобильный — от -40°C до +125°C.

С программной точки зрения PIC представляет собой 8-разрядный RISC (Reduced Instruction Set Command) процессор с гарвардской архитектурой, т. е. с

разделенной памятью команд и данных. Память программы имеет разрядность от 12 до 14 бит в зависимости от типа процессора. Благодаря сокращенному числу команд (от 33 до 35) все они имеют одинаковую длину в одно слово. Время выполнения каждой команды, кроме команд ветвления, составляет 4 такта ОЗУ. Представляет, в сущности, рагистровый файл с возможностью непосредственной адресации в коде команды к любой ячейке. Стек реализован аппаратно, и его максимальная величина равна или 2, или 8 в зависимости от типа PIC. Почти во всех PIC есть система прерываний, источником которых может быть таймер, а также изменение состояния некоторых входов. В PIC предусмотрен бит защиты памяти программ, который на позволяет нелегально копировать ваше устройство.

Такая архитектура PIC позволяет создавать программы с очень эффективным кодом как в смысле его компактности, так и в смысле скорости выполнения. Кроме того, системе команд "ортogonalна" и легка в освоении. Основные характеристики различных типов PIC приведены в таблице.

Применение PIC наиболее целесообразно в несложных контроллерах с ограниченным током потребления (устройство с автономным питанием, питанием от телефонной линии и т.д.). Наличие системы защиты от сбоя позволяет создавать надежные устройства для различных условий эксплуатации. Фирмой "Телесистем" разработан ряд таких устройств: "калькулятор" (телефонная приставка с АОН, выполненная на базе полного калькулятора с жидкокристаллическим индикатором), "СТРАЖ-2М" (система охраны с оповещением по телефонной линии), автоматический телефонный коммутатор (устройство, обеспечивающее подключение к одной телефонной линии двух независимых групп телефонов), микро-АТС для небольшого офиса или квартиры. Сегодняшний рассказ — о первой из этих конструкций.

PIC	16C54	16C55	16C56	16C57	16C54	16C71	16C74	16C84
Тактовая частота, МГц	16	16	16	16	25	16	20	10
Память программ, килобайт	EPROM EEPROM	0,5	0,5	1	2	2	1	4
		-	-	-	-	-	-	1
Память данных, байт	36	36	72	72	120	36	192	36
EEPROM память данных, байт	-	-	-	-	-	-	-	64
Глубина стека	2	2	2	2	8	8	8	8
Таймер 0 (8+8 бит)	+	+	+	+	+	+	+	+
Таймер 1 (16 бит)	-	-	-	-	+	-	+	-
Таймер 2 (8 бит)	-	-	-	-	+	-	+	-
ШИМ выход	-	-	-	-	+	-	+	-
Последовательный порт	-	-	-	-	+	+	+	-
АЦП (8 разрядов), число каналов	-	-	-	-	-	4	8	-
Система прерываний	-	-	-	-	+	+	+	+
Ввод-вывод, число разрядов	13	21	13	21	33	13	33	13
Число выводов корпуса	18	28	18	20	40	18	40	18

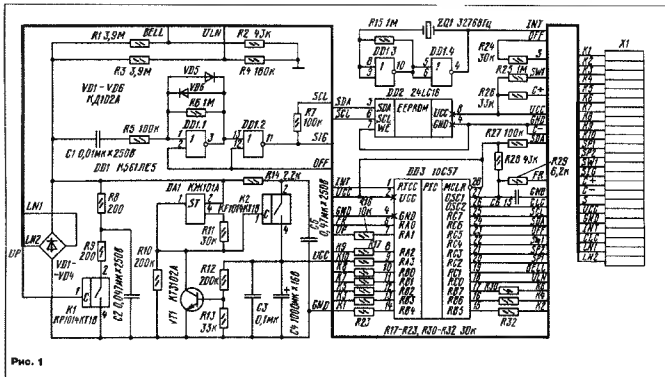


Рис. 1

КАЛЬКУЛОН

В настоящее время на нашем рынке присутствует достаточно широкий выбор импортной телефонной техники: телефоны, радиотелефоны, автоответчики, факсы. Как правило, она обладает хорошим дизайном, надежна и удобна в работе, но, к сожалению, не обладает такими распространенными в России функциями, как автоматическое определение номера звонящего абонента и автоматическое дозвонивание до занятого абонента. Многофункциональные телефоны с АОН, разработанные фирмой "Телесистем" (см. "Радио", 1992, № 12; 1993, № 1; 1994, № 7), решают эту проблему, однако во многом дублируют функции имеющегося, пусть и радиотелефона, обладают достаточно невыразительной индикацией, требуют, как правило, дополнительного источника питания и, потом, два телефона на одном столе — это уж слишком. напрашивается вывод — необходимая приставка-АОН, подключаемая к имеющемуся телефону (радиотелефону, автоответчику, факсу). Более того, хотелось бы, чтобы она на повторила недостатков существующих телефонов с АОН, обладала современным дизайном.

Нам, кажется, удалось найти достаточно изящное решение этой проблемы. Мы предлагаем встроить эту приставку в обычный настольный калькулятор с жидкокристаллическим индикатором (ЖКИ). Поэтому и возникло это название — "калькулон".

Почему именно в калькулятор? Во-первых, — приятный дизайн, широкий выбор различных моделей; во-вторых, — вертикальный ЖКИ (высота цифры — 15...20 мм, 12 разрядов); в-третьих, — удобная клавиатура. Ко всему этому добавим плату — контроллер телефонной

линии — и кальфон готов. При отключенной телефонной линии он работает как калькулятор с двойным питанием (солнечная и гальваническая батареи), а при подключенной — как телефонная приставка и калькулятор. При этом кальфон не требует никакого дополнительного питания. Он подключается параллельно имеющемуся телефону.

Что же он умеет? Вот его основные возможности:

- автоматическое определение номера звонящего абонента;
- память 100 номеров звонивших абонентов и времени звонка (в качестве памяти используется электрически стираемое ПЗУ — flash, которое позволяет сохранять содержимое памяти при отсутствии питания);
- автоматическое дозвонивание до занятого абонента;

- записная книжка на 100 номеров;
- быстрый набор номеров из записной книжки;
- установка числа знаков номера АТС;
- установка количества звонков перед автоподнятием (необходимо для корректной работы кальфона с факсом или автоответчиком);
- часы.

Кроме того, использование кальфона повышает надежность работы вашего телефона (кальфон уменьшает время воздействия вызывного звонка на параллельный телефон). И еще один существенный момент. Благодаря расширенной клавиатуре и небольшому количеству функций он очень прост в освоении и использовании. Понравилось? Теперь перейдем к тому, как это сделано.

За счет использования узлов калькулятора для ввода и вывода информации,

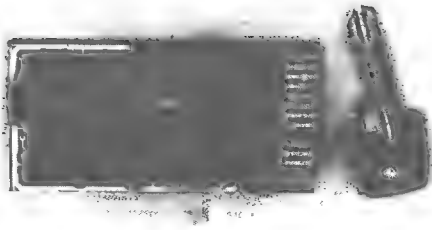


Рис. 2

ОБМЕН ОПЫТОМ

ДОРАБОТКА ЗАРЯДНОГО УСТРОЙСТВА

а также благодаря современной элементной базе (PIC-контроллер) устройство получается очень компактным (рис. 1).

Электрически стираемый ПЗУ 24LC16 имеет емкость 2 Кбайта и последовательный ввод-вывод (шина I²C) и используется для хранения информации о номере.

Частота тактирования микропроцессора может изменяться по сигналу FR. Во время определения номера и в некоторых других ситуациях микропроцессор тактируется с частотой примерно 4 МГц, а в остальное время — 500 кГц. При этом на частоте 4 МГц он потребляет ток менее 2 мА, а на частоте 500 кГц — менее 350 мкА.

Работу тактового генератора можно проверить на выводе OSC2, на который выводится тактовая частота, поделенная на 4. Точные временные метки создаются таймером, тактируемым кварцевым генератором на частоте 32768 Гц.

Прием сигналов с линии осуществляется с помощью компаратора, собранного на элементах DD1.1 и DD1.2. Для уменьшения потребления тока элемент DD1.1 и DD1.2 выводится из активного состояния сигналом OFF. Эмуляция подъема трубки осуществляется сигналом UP. Выдача сигналов в линию осуществляется этим же сигналом с помощью широтно-импульсной модуляции.

Напряжение питания формируется из напряжения телефонной линии стабилизатором на элементах DA1, K1, K2. Напряжение питания должно составлять 3÷0,1 В. Стабилизатор должен правильно работать в диапазоне напряжения на линии в пределах 8...230 В (230 В — импульсы помех).

Соединение калькулятора с калькулятором осуществляется 13-жильным шлейфом, десять жил которого подключаются к клавиатуре (K1—K10), две — к солнечной батарее калькулятора (C+, C-), одна — к входу переключения тактовой частоты опроса клавиатуры BIC калькулятора.

Размеры платы калькулятора составляют 70х35 мм (рис. 2). Плата снабжена отладочным разъемом, на который выведены контрольные сигналы. Благодаря наличию такого разъема резко упрощается контроль работоспособности в условиях промышленного производства. Правильно собранный калькуфон не нуждается в какой-либо настройке и должен заработать сразу.

Нами была проверена возможность создания калькуфона на базе калькуляторов Citizen SDC-885, Olivett 750, Aurora B85. Проблем не возникало, габариты платы позволяли разместить ее внутри калькулятора.

От редакции. В редакции журнала (ком. 102) можно приобрести готовые калькуфоны, наборы для сборки калькуфонов, отпаянные платы калькуфонов, документацию для промышленного производства калькуфонов, программаторы для PIC-контроллеров. Справки по тел. (095) 207-77 28.

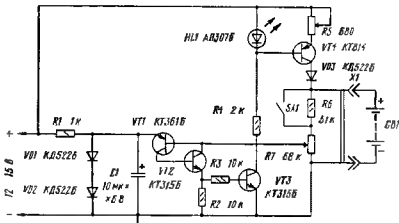
Недостаток автоматического зарядного устройства, описанного в [1], — невозможность заряжать в отдельности один или два аккумулятора типа Д-0,1, одиночные элементы СЦ-21, 373 и т. п.

В предлагаемом варианте зарядного устройства (см. схему) этот недостаток устранен. Кроме того, с целью упрощения конструкции, повышения эксплуатационных удобств, зарядки батарей или отдельных аккумуляторов, в устройство вместо генератора и триггера Шмитта, выполненных на элементах микросхемы К561ЛА7, введен источник образцового напряжения (R1, VD1,

и после выключения источника тока напряжение на ней снижается, процесс зарядки автоматическим возобновляется, так как снова открывается аналог однопереходного транзистора.

Устройство пригодно для зарядки как батареи, составленной из нескольких дисковых аккумуляторов (до 7 шт.), так и по отдельности каждого аккумулятора. Надо лишь резистором R7 установить соответствующий порог срабатывания однопереходного транзистора. Аналогично заряжаются и гальванические элементы.

Переключатель SA1, шунтирующий



VD2, C1) и пороговый элемент в виде аналога однопереходного транзистора [2] на транзисторах VT1, VT2.

Устройство работает так. При подключении питания на выходе порогового элемента (эмиттер транзистора VT2) формируется сигнал высокого уровня, который открывает транзистор VT3 и тем самым включает источник тока на транзисторе VT4. К выходу источника тока подключены заряжаемая аккумуляторная батарея (или аккумулятор, гальванический элемент) и делитель напряжения R6R7. По мере зарядки батареи напряжение на движке резистора R7 возрастает. Аналог однопереходного транзистора закрывается, а управляющее коллекторное напряжение транзистора VT3 выключает источник тока VT4 зарядка батарей прекращается. Этот процесс можно визуально контролировать по свечению светодиода HL1. Если батарея заряжена на полностью

резистор R6, введен для более точной установки порога срабатывания однопереходного транзистора при зарядке от одного до трех, соединенных последовательно, аккумуляторов или гальванических элементов.

Практика зарядки дисковых аккумуляторов и гальванических элементов показывает, что наиболее оптимальный ток их зарядки должен быть близким к одной десятой их емкости.

А. ЧИСТЯКОВ

г. Москва

ЛИТЕРАТУРА

1. Скридневоцкий Н. Автоматическое зарядное устройство для аккумуляторов батареек — Радио, 1991, № 12, с. 28—30.
2. Дмитриев Л.П. Тиристорные реле и регулируемые устройства. — М.: Энергоатомиздат, 1986.

АВТОСТОРОЖ

А. ОЖЕГОВ, г. Москва

Это электронное охранное устройство существенно проще многих ему подобных (например, сторожа "Сюрприз" заводского изготовления), но по функциональным возможностям не только им не уступает, но даже и превосходит. Оно может работать совместно как с контактными (дверными) датчиками, так и датчиком качания кузова. Предусмотрена также смена "звукового рисунка" тревожного сигнала.

В описываемом автостороже используются микросхемы структуры КМОП, обеспечивающие высокую его экономичность. Он имеет некоторые эксплуатационные удобства, отсутствующие в других подобных устройствах. Переход в дежурный режим происходит при закрытии двери водителя (а не по истечении некоторого времени), сигналу тревоги присуще характерное звучание, позволяющее хозяину легко отличить сигнал именно своего автомобиля. Автосторож имеет светодиодный индикатор режима работы и переключатель режима звучания сигнала. В длительном режиме сигнал звучит до выключения питания, в кратковременном — ограниченное время.

При повторной попытке вскрытия автомобиля в кратковременном режиме сигнал звучит в два раза дольше, чем при первой, при третьей — в шесть раз. Устройство допускает в определенных пределах выбор задержки срабатывания после открывания двери, длительности звучания сигнала, временного "рисунка" тревожного сигнала. Все временные соотношения определяет один генератор с конденсатором относительно небольшой емкости, оксидные конденсаторы не используются.

Принципиальная схема автосторожа показана на рис. 1. На ней также показаны

контакты SF1 двери водителя, контакты SF2—SF8 других дверей, капота и крышки багажника, выключатель питания SA1, переключатель SA2 выбора режима, лампа EL1 плафона, светодиод HL1 индикации сторожевого режима, реле сигнала K1 автомобиля. Подключают автосторож к элементам, установленным вне его, выводами, промаркированными на схеме цифрами 1—7.

При включении питания (как при открытой, так и при закрытой двери водителя) короткий импульс высокого уровня с дифференцирующей цепи C2R3 устанавливает триггер DD2.1 и счетчик DD4.2 в нулевое состояние. Высокий уровень с инверсного выхода этого триггера через диод VD2 поступает на вход R триггера DD2.2 и устанавливает его в нулевое состояние. Высокий уровень с инверсного выхода триггера DD2.2 устанавливает в нулевое состояние и счетчик DD4.1. Низкий уровень с прямого выхода триггера DD2.1 запрещает работу генератора, собранного на элементах DD3.2, DD3.3, светодиод HL1 включен непрерывно, индицируя подачу питания на сторож.

Если автосторож был включен при открытой двери водителя, то при ее открывании для выхода из автомобиля замкнутся контакты SF1, через цепь R2C1DD1.1, подавляющую импульсы дребезга этих

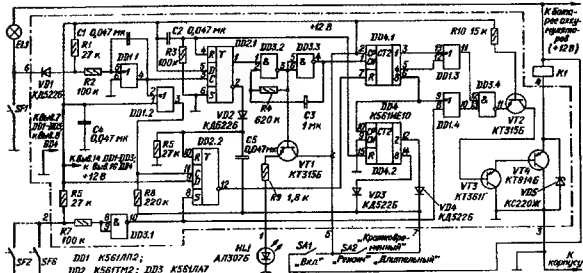
контактов, и инвертор DD1.2 на тактовый вход С триггера DD2.2 поступает плюсовой перепад напряжения. Он на вызывает переключения триггера, удерживаемого в нулевом состоянии сигналом высокого уровня с инверсного выхода триггера DD2.1.

При закрытии двери плюсовой перепад поступает на вход С триггера DD2.1, и он переключается в единичное состояние, так как к его входу D приложен единичный сигнал. Высокий уровень с прямого выхода триггера DD2.1 разрешает работу генератора, светодиод HL1 начинает мигать, сигнализируя о переходе автосторожа в дежурный режим. Счетчик DD4.1 заторможен, поскольку на его вход R поступает высокий уровень с инверсного выхода триггера DD2.2. В этом режиме ток, потребляемый от бортовой сети — около 3 мА, — расходуется в основном светодиод HL1.

Теперь в момент открывания двери водителя триггер DD2.2 переключится в единичное состояние и низкий уровень с его инверсного выхода разрешит работу счетчика DD4.1. Сигналы с его выходов 1 и 4 поступят на входы элемента DD1.3 — сумматора — по модулю 2. Результат сложения вместе с другими сигналами показан на рис. 2.

Если сторож не выключить, через 6 с на выходе 8 счетчика DD4.1 появится высокий уровень, который, пройдя через элемент DD1.4, откроет элемент DD3.4, и сигнал с выхода сумматора DD1.3 поступит на выходной коммутатор тока, собранный на транзисторах VT2—VT4 (см. статью С. Бирюкова "Усовершенствованный автосторож "Сюрприз" в "Радио", 1993, № 8, с. 34—36 и 1994, № 8, с. 49). Транзисторы открываются и закрываются одновременно. Периодически срабатывает реле сигнала K1 и звучит тревожный сигнал с определенным "рисунком": короткий—длинный—короткий; короткий равен половине длинного. Такие серии сигналов будут повторяться с интервалом 7,5 с.

Если дверь закрыть, то при указанном



на схеме положении переключателя SA2 "Режим" — "Кратковременный" — через 24 с, т. е. по окончании двух серий тревожных сигналов, на выходе 2 счетчика DD4 2 появится высокий уровень. Пройдя через диод VD4 и дифференцирующую цепь C5R5 и превратившись в короткий импульс высокого уровня, он переключит триггер DD2.2 в исходное состояние. Таким образом автозасторож перейдет в дежурный режим.

Попытка снова открыть дверь приведет к тому, что через 6 с зазвучит сигнал, но поскольку счетчик DD4 2 не установлен в нулевое состояние, высокий уровень на его выходе 2 появится только через 48 с. Поэтому и сигнал будет в два раза длительнее (рис. 3).

При третьей попытке открыть дверь автомобиля плюсовой перепад в точке соединения диодов VD3 и VD4 появится только через 144 с, поэтому прозвучит 12 серий тревожных сигналов. При последующих попытках сигнал будет состоять поочередно из четырех, то из двенадцати серий.

Если дверь останется открытой, диоды VD3 и VD4 окажутся закрытыми высоким уровнем, поданным на их катоды с выхода цепи подавления дребезга через резистор R8, и серии сигналов с указанными интервалами будут звучать до выключения автозасторожа.

Когда контакты переключателя SA2 замкнуты (режим "Длительный"), диоды VD3 и VD4 закрыты постоянно и серии сигналов звучат до выключения сторожа.

Если в дежурном режиме открыть любую другую дверь, кроме двери водителя, капот или крышку багажника, окажутся замкнутыми контакты одной из кнопок SF2—SF6. Высокий уровень с выхода инвертора DD3.1 переключит триггер DD2.2 и разрешит работу счетчика DD4.1. Сигнал, сформированный на выходе сумматора DD1.3, пройдет через элемент DD3.4, так как на его нижний по схеме вход через элемент DD4.1 поступает высокий уровень с выхода инвертора DD3.1. Сигнал тревоги включается практически без задержки.

Так же, как и при открывании двери водителя, прозвучат серии сигналов короткий—длинный—короткий, только теперь низкому уровню на выходе 8 счетчика DD4.1 соответствует подача сигнала, а высокому — пауза. Если открытую дверь, капот или крышку багажника закрыть, дальнейшее поведение автозасторожа будет таким же, как и при открывании и закрывании двери водителя.

Диод VD1 исключает подачу напряжения питания на выключенный автозасторож через лампу пилфона EL1 и резистор R1. Той же цепи служит транзистор VT2, без него напряжение от батареи аккумулятора могло бы попасть в цепь питания сторожа через реле сигнала K1, эмиттерные переходы транзисторов VT4, VT3 и внутренний диод выходной цепи элемента DD3.4. Резистор R7 уменьшает вероятность порчи микросхем DD3 статическим электричеством. Стабилитрон VD5 защищает транзисторы VT2—VT4 в мо-

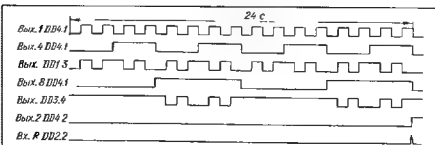


Рис. 2

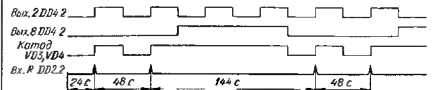
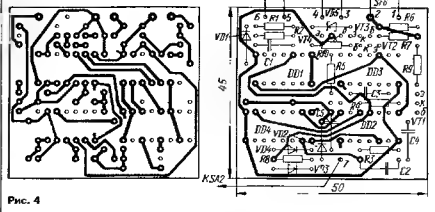


Рис. 3



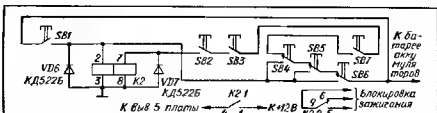


Рис. 5

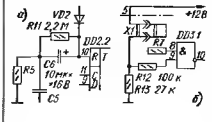


Рис. 6

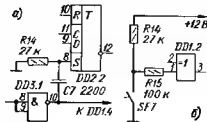


Рис. 7

обходимости скорректировать подборкой резистора R4, а временной "рисунк" звучания сигнала или длительности сигнала тревоги изменить подключением входов элементов DD1.3, DD1.4 и диодов VD3 и VD4 к различным выходам счетчиков DD4.1 и DD4.2.

Светодиод HL1 устанавливают в салоне перед ветровым стеклом так, чтобы световые сигналы были видны снаружи. Чтобы паче было контролироваться включение сторожа в солнечную погоду, когда свечение светодиода малозаметно, целесообразно в нижней части приборной доски или в другом затененном месте установить еще один светодиод, соединенный последовательно с HL1 (скорректировав, если необходимо, сопротивление резистора R9).

Выключатель SA1 должен быть установлен в тайном месте автомобиля, однако доступном с места водителя. Поскольку таких мест немного, целесообразно включать и выключать автосторж дистанционным переключателем, например, РПС-20. Выключает автосторж кнопкой, расположенной открыто в любом удобном месте, а выключает с помощью простейшего кодового замка. Он может состоять из нескольких кнопок, расположенных так, чтобы набираемый код был не виден постороннему, например под приборной панелью.

Вариант схемы включения сторожа дистанционным переключателем показан на рис. 5. При нажатии на кнопку SB1 подается напряжение на обмотку с выходами 2, 3 дистанционного переключателя, замыкаются контакты 4 и 1 группы K2.1, подавая питание на автосторж.

Для выключения автосторожа необходимо нажать одновременно на кнопки SB2, SB3, SB7 кодового замка. При нажатии на кнопки в любом другом сочетании автосторж на выключается, а если он не был включен, то может включиться. Это свойство замка позволяет обойти без кнопки SB1, однако лучше иметь открыто расположенную кнопку включения, чтобы не раскрывать место расположения кнопок выключения.

Разумеется, кнопки выключения можно и соединить по-иному, и изменить их

число. Дистанционный переключатель РПС-20 должен быть на рабочее напряжение 12 В (паспорт РС4 521.752).

Вторую группу контактов K2.2 удобно использовать для блокировки системы зажигания (для чего, впрочем, можно использовать и вторую группу контактов выключателя SA1). Следует только помнить, что ток первичной обмотки катушки зажигания слишком велик для того, чтобы его можно было пропустить через контакт дистанционного переключателя РПС-20.

Переключатель SA2 также следует установить скрытно, например под капотом, так как его переключение в определенные циклы работы сторожа приводит к выключению сигнала тревоги и переходу в дежурный режим.

Если в автомобиле к какому-либо из выключателей SF2—SF6 подключен из второй плафон, между выводами 2 и точкой соединения резисторов R6 и R7 необходимо включить еще один диод подобно диоду VD1.

При монтаже автосторожа на автомобиле ГАЗ-24 "Волга", в котором выключатель SF1 подключен к плюсовому выводу бортовой сети, а лампа плафона к корпусу, необходимо вход С триггера DD2.1 переключить к выходу элемента DD1.2, а вход С триггера DD2.2 и верхний по схеме вывод резистора R8 — к выходу элемента DD1.1.

Маятниковый датчик качания кузова автомобиля допустимо подключить параллельно контактам SF1, однако в момент закрывания двери водителя из-за вибрации кузова может преждевременно зазвучать тревожный сигнал. Чтобы исключить это явление, автосторж следует дополнить цепью временной задержки триггера DD2.2 в нулевом состоянии после закрывания двери водителя (рис. 6а). На пачатной плате возможность установки этих дополнительных элементов предусмотрена. При отсутствии датчика качания вместо резистора R11 или конденсатора С6 устанавливают проволочную перемычку. При указанных номиналах задержка перехода автосторожа в дежурный режим после закрывания двери водителя равна примерно 18 с,

что вполне достаточно для успокоения датчика.

Сторож способен, если необходимо, контролировать замкнутые контакты, например, размыка прицепе. Эту функцию иллюстрирует фрагмент схемы на рис. 6,б. Здесь показана перемычка на разрыве со стороны прицепа. При аварийной расстановке разрыва Х1 высокий уровень на нижнем (по схеме) входе элемента DD3.1 сменится низким.

При использовании автосторжом следует помнить, что в случае, когда к выводу 6 платы подключен только выключатель двери водителя, после включения автосторожа эту дверь можно открывать только один раз, и она должна быть закрыта последней. Если же к выводу 6 подключить контакты нескольких дверей, то можно открывать и закрывать их в произвольном порядке, лишь бы в любой момент после открывания первой двери хотя бы одна дверь была открыта в момент закрывания последней двери сторож перейдет в дежурный режим.

В том случае, когда после попытки вскрытия автомобиля и включения тревожного сигнала дверь или капот остаются открытыми, независимо от положения переключателя SA2 сигнал будет звучать до прихода хозяина. Такой режим, конечно же, вызывает недовольство жителей близлежащих домов.

Чтобы в кратковременном режиме сигнал прекращался независимо от состояния дверей, капота и крышки багажника, автосторж необходимо дополнить дифференцирующей цепью С7R14 (рис. 7,а), а верхний по схеме вывод резистора R8 (см. рис. 1) подключить к общему проводу. При такой доработке автосторж остается чувствительным к открыванию крышки багажника при открытой двери или к открыванию двери при открытой крышке багажника. Однако автосторж не почувствует включения еще одного датчика из группы параллельно соединенных, если хотя бы один в этой группе находится во включенном состоянии.

Поэтому, чтобы в любом режиме, независимо от состояния датчиков двери, капота или крышки багажника, автосторж оставался чувствительным к сигналу датчика вибрации SF7, его необходимо подключить в соответствии со схемой на рис. 7,б. В результате при первом же замыкании контактов маятникового датчика из-за дребезга на вход С триггера DD2.2 пройдет несколько импульсов и он парализует в единичном состоянии, что с задержкой в 6 с вызовет тревожный сигнал.

Ультразвуковой датчик с выходным n-p-n транзистором с открытым коллектором (датчик "Ультразвук" промышленного производства) можно подключить аналогично вместо маятникового датчика, при этом также необходима установка цепи R11C6 по схеме на рис. 6,а.

Если выключатель SA2 установлен далеко от автосторожа, возможно переключение триггера DD2.2 от помех в бортовой сети, например, при включении клаксона. Для того чтобы этого не произошло, необходимо между выводами 7 платы и общим проводом (или параллельно резистору R5) подключить конденсатор емкостью 6800...10000 нФ.

"ОКНО-ТВ"



Собственный телецентр - престиж, прибыль и успех!

Если Вы живете в небольшом городе или поселке, то наверняка не раз безуспешно пытались поймать хотя бы одну радиостанцию на магнитоле в своем автомобиле. Местная телестанция также вряд ли предложит Вам более двух центральных программ. При наличии желания и небольшого стартового капитала с помощью акционерного общества **"ОКНО-ТВ"** Вы сможете исправить это положение, создав собственный телерадиоцентр и обеспечив тем самым гарантированный источник прибыли и уникальную возможность воздействовать на умы и сердца огромной аудитории телезрителей и радиослушателей.

Работая на рынке телевидения с 1991 года, наша фирма предлагает весь спектр профессионального телевизионного и радиооборудования, необходимого для создания вещательного центра, студии или кабельной сети:

- **СТУДИЙНАЯ ВИДЕОТЕХНИКА** форматов **S-VHS, Betacam, MII, D2, D3, U-MATIC** от фирм **SONY, PANASONIC, JVC**;
- **ТЕЛЕВИЗИОННЫЕ И РАДИОПЕРЕДАТЧИКИ** в том числе фирмы **HARRIS (USA)**;
- **ВСПОМОГАТЕЛЬНОЕ ТЕЛЕОБОРУДОВАНИЕ** (транскодеры, модуляторы, синхронизаторы, головные станции, видеомаркеры, коммутаторы);
- **ТИТРОВАЛЬНЫЕ МАШИНЫ И СТАНЦИИ КОМПЬЮТЕРНОЙ ГРАФИКИ**, специализированное **ПРОГРАММНОЕ ОБЕСПЕЧЕНИЕ** для создания эффективной рекламы;
- **СИСТЕМЫ СПУТНИКОВОГО ТЕЛЕВИДЕНИЯ** от фирм **ECHOSTAR, GARDINER, PACE**;
- **ЗВУКОВАЯ, ИЗМЕРИТЕЛЬНАЯ И ОСВЕТИТЕЛЬНАЯ ТЕХНИКА** от фирм **DOD, ALESIS, TASCAM, CAISER, IKUSI, UNOMAT**

При необходимости наши специалисты составят для Вас подробный проект студии и смету затрат, проведут необходимые замеры на местности, помогут в юридическом оформлении Вашей деятельности.

Собственные производственные мощности и прямые связи с поставщиками позволяют нам поставлять оборудование **немедленно со склада по предельно низким ценам**. Кроме того, предусмотрены самые выгодные условия заключения сделок: **гибкая систем скидок** в зависимости от суммы и спецификации заказа, **льготы** постоянным клиентам и **представителям местных администраций**, разнообразные формы оплаты, работа с посредниками. Все оборудование обеспечивается **гарантийным в течение одного года** и послегарантийным обслуживанием, возможна его **доставка в любую точку России**, монтаж и обучение персонала. Свяжитесь с нами и вы бесплатно получите наш каталог и исчерпывающие консультации по всем интересующим Вас вопросам!

Приглашаем к сотрудничеству региональных дилеров и представителей организаций.

Наш адрес: 125124, Москва, ул. М. Расковой, д. 12.
Телефоны: 212-05-91(тел./ф.), 214-04-11, 212-11-53.
Пейджер 927-05-60 для абонентов 30541 и 30539.

ВАРИАНТ БЛОКА ПИТАНИЯ АНТЕННОГО УСИЛИТЕЛЯ

И. НЕЧАЕВ, г. Курск

В отличие от других подобных конструкций, предлагаемый вниманию читателей блок питания антенного усилителя не содержит собственного выключателя и начинает работать одновременно с включением телевизора.

Это устройство (рис. 1), представляющее собой источник стабилизированного напряжения 10...12 В при токе нагрузки до 20 мА, пригодное для питания сравнительно простых телевизионных антенных усилителей и конвертеров ДМВ, например, описанных в [1, 2]. Отличительная особенность блока заключается в том, что в нем вместо классического трансформатора, понижающего напряжение сети, использован трансформатор тока Т1, первичная обмотка которого включена последовательно с первичной цепью питания телевизора.

Трансформатор тока, на основе которого строит, например, индикаторы потребляемой мощности [3], работает следующим образом. Протекающий через первичную обмотку ток, потребляемый телевизором, создает на ней падение напряжения 2...3 В. Оно не превышает 1...2 % от сетевого напряжения и, конечно же, не сказывается на нормальной работе телевизора. Переменное напряжение вторичной обмотки трансформатора выпрямляется мостом VD1—VD4, а пульсации выпрямленного тока сглаживаются конденсатором С1.

На транзисторах VT1—VT3 собран компенсационный стабилизатор напряжения. С его выхода стабилизированное напряжение +10...12 В через дроссель L1 подают на гнездо X3, к которому подключают центральный провод кабеля снижения антенны с размещенным на ней усилителем. Вилку X4 подключают к антенному входу телевизора. Сетевую вилку телевизора подключают к гнездам X2 устройства, а вилку X2 — к сети.

В устройстве можно применить транзисторы КТ315В — КТ315Е, КТ312Б или их серии КТ3102 с буквенными индексами А, Б; диоды — любые выпрямительные (лучше германиевые). Конденсатор С1 — К50-16, С2 и С3 — К50-6, С4 — КД, КТ, КЛС. Дроссель L1 типа ДМ-01 индуктивностью 20...50 мГн, или самодельный, выполненный на кольцевом магнитопроводе диаметром 5...10 мм из феррита 1000...2000Н. Обмотка содержит 30 витков провода ПЭВ-2 0,1...0,15.

Трансформатор тока намотан на магнитопроводе абонентского громкоговорителя, подойдет также магнитопровод трансформатора УЗЧ радиоспиральника "Ангелист-407" или аналогичный. Первой наматывают вторичную обмотку — она содержит 1000 витков провода ПЭВ-2 0,1.

Затем, обернув ее слоем надежной изоляции, наматывают первичную обмотку, число витков которой зависит от мощности, потребляемой телевизором. Так, для телевизора, потребляющего мощность 60 Вт, первичная обмотка должна содержать примерно 150 витков провода ПЭВ-2 0,4. Для телевизоров с большей потребляемой мощностью число витков этой обмотки уменьшают, а диаметр используемого для нее провода пропорционально увеличивают. Окончательное число витков первичной обмот-

кироу из проволоки для вентиляционное отверстие, или непосредственно на подставке телевизора.

Испытание и налаживание блока питания проводят в такой последовательности. К его выходу подключают эквивалент нагрузки (резистор) сопротивлением 680 Ом, а на конденсатор С1 подают от внешнего источника напряжение 15...20 В. Затем подбором резистора R3 устанавливают на выходе стабилизатора (на конденсаторе С3) напряжение 10...12 В. Далее к плате припаявают проводники от вторичной обмотки трансформатора, а блок питания с подключенным к нему шнуром питания телевизора подключают к электросети. После включения телевизора напряжение на конденсаторе С1 должно быть в пределах 15...18 В. Добиться этого можно соответствующим подбором числа витков первичной обмотки трансформатора.

Описанный вариант блока питания антенного усилителя может стать универсальным, т. е. пригодным для телевизоров с различной потребляемой мощностью, если первичную обмотку такого трансформатора выполнить с отводами и переключать их в зависимости от модели телевизора.

В случае совместной работы такого блока питания с антенным усилителем, описанным в [1], необходимость в дросселе

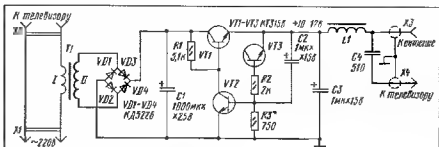


Рис. 1

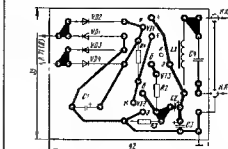


Рис. 2

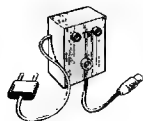


Рис. 3

ки трансформатора устанавливают сплитным путем при наладке устройства.

Все детали блока питания, кроме разъемных соединителей и трансформатора, монтируют на печатной плате из фольгированного стеклотекстолита (рис. 2). Плату и трансформатор размещают в корпусе подходящих размеров из изоляционного материала. Розетку X2 и гнездо X3 устанавливают на лицевой стенке корпуса. Проводник, соединяющий плату с гнездом X3, должен быть минимальной длины — не более 20...30 мм. Готовый блок питания (рис. 3) располагают на задней стенке телевизора вблизи антенного гнезда, закрывая его с помощью

L2 и конденсаторе С9 его развязывающего узла питания отпадает.

Если появятся помехи в виде медленно передвигающихся по экрану горизонтальных полос, диоды выпрямительного моста нужно зашунтировать керамическими конденсаторами емкостью в несколько тысяч пикофард.

ЛИТЕРАТУРА

1. Нечаев И. Телевизионный антенный усилитель. — Радио, 1992, № 6, с. 38, 39.
2. Илев М. Простые антенны и конвертер ДМВ. — Радио, 1988, № 2, с. 40, 41.
3. Нечаев И. Индикатор потребляемой мощности. — Радио, 1986, № 2, с. 49, 50.

РАЗРАБОТАНО
В ЛАБОРАТОРИИ ЖУРНАЛА
"РАДИО"

НИЗКОВОЛЬТНЫЙ СТАБИЛИЗАТОР НАПРЯЖЕНИЯ

В. БОРЗЕНКОВ, г. Киров

Электронно-механическим часам (например, "Январь"), свойственен один недостаток. Если отрегулировать их ход где-то в середине срока эксплуатации гальванического элемента, то к концу его разрядки часы за сутки будут "убегать" примерно на минуту; после замены элемента свежим — на столько же за сутки "отстают". Стабилизатор, рекомендуемый автором публикуемой здесь статьи, позволит отрегулировать точность хода часов на все время работоспособности гальванического элемента, а также увеличить продолжительность работы элемента в 1,5...2 раза.

Полевой транзистор, включенный по схеме рис. 1, при достаточно высоком сопротивлении нагрузки уже обладает свойством стабилизатора напряжения — напряжение на нагрузке близко к напряжению отсечки этого транзистора. При таком включении он, кроме того, на подвержен перегрузкам, и максимальный ток стабилизатора при коротком замыкании в нагрузку равен начальному току стока. Недостаток такого стабилизатора — большой выходной сопротивление.

Этот недостаток компенсирует стабилизатор, схема которого показана на рис. 2. Для нормальной его работы необходимо, чтобы:

- напряжение отсечки тока транзистора VT1 было меньше напряжения стабилизации диода VD2 и падения напряжения на эмиттерном переходе транзистора VT2;

- диод VD1 был германиевым точечным, чтобы обеспечить полевому транзистору наилучший режим работы;

- биполярный транзистор VT2 был кремниевым с незначительным обратным током коллекторного перехода.

Работает устройство следующим образом. После включения источника входного напряжения полевой транзистор VT1 оказывается открытым.

Напряжение на нагрузке увеличивается до момента открывания стабилизатора VD2, после чего в базовой цепи транзистора VT2 появляется открывающий его ток. В свою очередь ток открытого транзистора VT2 создает на диоде VD1 и переходе затвор-исток транзистора VT1 падение напряжения, которое закрывает транзистор VT1. Это приводит к снижению роста тока и напряжения на нагрузке устройства и началу стабилизации его выходного напряжения.

Стабилизатор, выполненный по схеме рис. 2, маломощный — на более 1,5 мВт. Повысить выходную мощность до 100 мВт можно, дополнив его регулирующим транзистором VT3, как показано на рис. 3.

Выходное напряжение стабилизаторов устанавливается подбором числа диодов

в цепи базы транзистора VT2, а также номинала резистора R1.

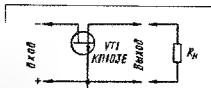


Рис. 1

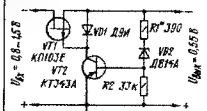


Рис. 2

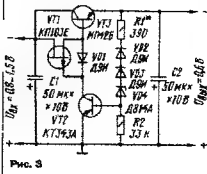


Рис. 3

Стабилизаторы обоих вариантов имеют достаточно высокие КЛД и коэффициент стабилизации, обладают свойством ограничения тока короткого замыкания на выходе. Пригодны для стабилизации напряжения источников питания не только настольных или настенных электромеханических часов, но и многих других маломощных приборов и электронных устройств.

НА КНИЖНОЙ ПОЛКЕ



ЗАЙЦЕВ А.А., МИРКИН А.И.,
МОКРЯКОВ В.В. и др.

ПОЛУПРОВОДНИКОВЫЕ
ПРИБОРЫ.
ТРАНЗИСТОРЫ
МАЛОЙ МОЩНОСТИ.
СПРАВОЧНИК

В этой книге, выпущенной в прошлом году издательством "Радио и связь" и фирмой "КУК-а", приведены электрические и эксплуатационные характеристики полупроводниковых приборов — полевых и биполярных транзисторов малой мощности, используемых во входных каскадах усилителей, широкополосных балансных дифференциальных и операционных усилителей, фазовых детекторов, генераторов низкой и высокой частоты, а также импульсных усилителей, селекторов телевизионных приемников, переключателей и других устройств разнообразной радиоэлектронной аппаратуры.

Для конкретных типов приборов приведены сведения об основном назначении, маркировке, предельных эксплуатационных режимах и условиях работы.

Приведены справочные данные более 40 типов биполярных маломощных низкочастотных транзисторов р-р-п, свыше 180 типов транзисторов р-п-р и другая полезная информация.

В этих изданиях вышло и второе издание справочника тех же авторов — "Транзисторы средней и большой мощности", расширяющее об их использовании в выходных каскадах усилителей мощности, операционных, дифференциальных и импульсных усилителях, генераторах кадровой и строчной развертки и др. Справочник отличается от подобных изданий, вышедших ранее, расширенной номенклатурой приборов и большей полнотой сведений о параметрах и их зависимости от режимов применения.

В книге описаны приборы для измерения параметров биполярных и полевых транзисторов и особенности их использования в радиоэлектронной аппаратуре.

Как первый, так и второй справочники предназначены для инженерно-технических работников, занимающихся разработкой, эксплуатацией и ремонтом радиоэлектронной аппаратуры. Они могут быть полезны и квалифицированным радиолюбителям.

Москва,
издательство "Радио и связь"
и издательская фирма "КУК-а",
1994

БЛОК ПОМЕХОЗАЩИТЫ

А. ТРИФОНОВ, г. Санкт-Петербург

Если не принимать мер по борьбе с сетевыми помехами, они способны в ряде случаев сделать чувствительную аппаратуру полностью неработоспособной. Автор публикуемой ниже статьи предлагает практическое средство для подавления помех из электросети.

Защитность электронного устройства от внешних помех можно обеспечить экранированием его первичной цепи, включая сетевую обмотку трансформатора блока питания, от других частей, фильтрующей энергетической сети и экранированием устройства в целом [1]. Необходимостью и объемом применяемых средств помехозащиты определяется соотношением уровня помех в энергетической сети и чувствительностью к помехам устройства, от нее питаемого.

К числу защищаемых относят самую разнообразную аппаратуру, в особенности работающую при малых значениях уровня и длительности сигналов. Примерами могут служить компьютер, радиоприемник высшего класса, работающий в диапазоне длинных или средних волн, осциллограф С1-83, измеряющий напряжение от 400 мкВ на частоте до 5 МГц и т. д. Блок помехозащиты включает между энергетической сетью и устройством—потребителем, чувствительным к помехам от сети или генерирующим собственные помехи.

Ниже описан один из практических вариантов блока помехозащиты, имеющего следующие основные технические характеристики:

Коэффициент защитного действия на частоте 1 МГц, не менее	50
Частота среза фильтра нижних частот, кГц	6
Номинальная мощность нагрузки, Вт	100
Напряжение на входе, В	220
Напряжение на выходе, В	220
Число выходов, изолированных и экранированных от сети	2
Масса, кг	6
Габариты, мм	280х140х115

Из схемы помехозащиты в блоке (его способ показан на рис. 1) используются фильтрация режекторным дросселем L1L2 и экранирование сетевой обмотки трансформатора Т1. Кроме того, экранирована и выходная обмотка трансформатора Т2, что наряду с пространственным разнесением входных и выходных цепей блока уменьшает емкостную связь между ними.

Электростатическим экраном сетевой обмотки трансформатора Т1 и входной обмотки трансформатора Т2 служат магнитопроводы, арматура и низковольтные промежуточные обмотки трансформаторов, расположенные поверх высоковольтных и соединенные с общим проводом блока и устройства—потребителей. Падение напряжения промышленной частоты на индуктивном сопротивлении режекторного дросселя L1L2 практически равно нулю. Направление магнитного и индуктивного обмоток дросселя одинаковы, а ток через обмотку L1 равен и противофазен току через обмотку L2, поэтому сумма магнитных полей обмоток равна нулю и результирующее сопротивление всего дросселя току промышленной частоты равно активному сопротивлению обмоток

Включение симметричного фильтра нижних частот L1C1L2C2 в промежуточную цепь блока ликвидирует зависимость напряжения прикосновения на общем проводе или электропроводящем корпусе устройства—потребителя от емкости конденсаторов фильтра, существующую при включении фильтра в цепь сетевой обмотки. Сетевой емкостатель SA1 с целью снижения возникающих коммутационных помех в 2...10 раз включен "за нагрузкой" [2].

В блоке использованы два готовых идентичных трансформатора Т1 и Т2 на стержневом магнитопроводе ПЛ16х32-65, рассчитанные на напряжение высоковольтных обмоток 2х110 В и низковольтных 2х18 В. Их аналогами являются унифицированные трансформаторы ТП296-127/220-50 [3]. Режекторный дроссель выполнен на ферритовом магнитопроводе К65х32х8 из корыта М4000. Обе обмотки наматываются одновременно, "в два провода": число витков — 20, провод — МГШВ-0,5. Индуктивность каждой обмотки дросселя — около 1,5 мГн. Конденсаторы С1, С2 — МБГЧ.

Блок смонтирован в прочной коробке из изоляционного материала. Расположение основных узлов схематически представлено на рис. 2.

Коэффициент защитного действия блока измерен с помощью генератора Г6-28 и осциллографа С1-68 следующим образом. Общие провода генератора и осциллографа соединяют, образуя общий провод измерительной установки (рис. 3). Выход генератора подключают к замкнутой съемной перемычке проводником отключенной от сети вилки X1, а вход Y осциллографа — к также замкнутому проводнику разъема X2.

Общий провод блока подключают к общему проводу измерительной установки и измеряют амплитуду А₂ сигнала на

выходе блока. Затем общий провод блока отключают от общего провода измерительной установки и снова измеряют амплитуду — теперь уже А₁ — сигнала на выходе блока. Коэффициент защитного действия блока на частоте измерения рассчитывают как отношение А₂/А₁.

В процессе измерения имитируется проникновение не энергетической сети через блок помехозащиты в устройство—потребитель несимметричных помех при включении элементов помехозащиты (измерение А₁) и их отключении (измерение А₂). Несимметричные помехи опасны тем, что в отличие от симметричных стабилизаторы и сглаживающие накопительные элементы источников питания их подавить не могут.

При повторении блока копирование описанной здесь конструкции не обязательно. Тип магнитопровода трансформаторов и промежуточные напряжения не критичны, важно обеспечить симметрию всех промежуточных обмоток, а также симметрию (или развальность на две части) высоковольтных обмоток. Предпочтительна однослойная обмотка режекторного дросселя.

У режекторного дросселя также не критичны типоразмер, магнитная проницаемость магнитопровода, число колец в нем, число витков обмотки. Тип и емкость конденсаторов С1, С2 могут отличаться от указанных. Важно лишь, чтобы частота среза симметричного фильтра нижних частот L1C1L2C2 превышала частоту энергетической сети. Частота среза 6 кГц обеспечивает блоку работоспособность в энергетической сети 220 В/50 Гц и 115 В/400 Гц.

Наилучшей заменой конденсаторам МБГЧ могут быть проходные конденсаторы любого типа. Допустимо параллельное включение конденсаторов меньшей емкости, имеющих по возможности широкие и несовпадающие рабочие частотные интервалы.

Трансформаторы Т1, Т2 можно изготовить самостоятельно, переделав два одинаковых имеющихся под рукой трансформатора подходящей мощности. Если в каждом самодельном трансформаторе между высоковольтной и низковольтной обмотками будет помещен электростатический экран из листа фольги в виде одного витка с перфорацией, но незамкнутого, на всю ширину катушки трансформатора, то коэффициент защитного действия блока будет существенно больше из-за уменьшения собственной индуктивнос-

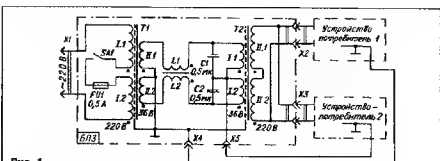


Рис. 1

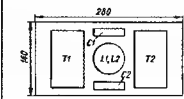


Рис. 2

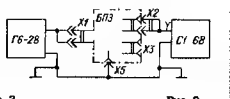


Рис. 3

ти экранов. Все экраны необходимо подключить к общему проводу блока.

Не исключены поэтапное изготовление блока и его временная эксплуатация без таких элементов, как С1, С2 и L1L2. Полезно предусмотреть возможность установки второго рожкасторного дросселя соосно с первым. Это позволит превратить фильтр в Т-образный с соответствующим увеличением коэффициента защитного действия блока и рационально использовать внутренний объем коробки.

Существует возможность повышения помехозащищенности, в том числе и от фона переменного тока основной частоты энергетической сети, при условии, что устройство—потребитель имеет электропроводящую кожух или внутренний общий экран. Здесь с позиции непрерывности экранирования должно рассматриваться единая система, состоящая из блока помехозащиты и защищаемого устройства—потребителя. В этом случае повышение помехозащищенности реализуется путем экранирования блока помехозащиты и проводов питания устройства—потребителя.

Экран блока может представлять собой, например, фольгу или сетку, укрепленную на всей внутренней поверхности коробки, в которой размещен блок. Экраны блока и проводов питания подключают к общему проводу.

Кроме основного назначения, блок допустимо использовать и как разделительный трансформатор для бестрансформаторных устройств—потребителей. Если предусмотреть возможность коммутации обмоток трансформатора блока, он будет работать как повышающий или понижающий трансформатор мощностью до 100 Вт.

В ходе испытаний помех как средства локализации помех в реальных условиях радиоприема, полученная кратность снижения помех не менее 4. Измерения проведены в крупном жилом массиве северной части Санкт-Петербурга в частотной полосе 175...2000 кГц по методике, описанной в [4], с использованием телеграфно-телефонного восьмилангового радиоприемника без собственных средств помехозащиты. Приемная антенна—вертикальный штырь длиной 1,5 м, непосредственно соединенный с антенным входом.

Полученные результаты испытаний свидетельствуют о том, что, во-первых, при отсутствии блока помехозащиты свдвиг трех четвертей "объема" помех проникло в радиоприемник через энергетическую сеть, менее одной четверти—воздействовало непосредственно на антенну. Дальнейшее повышение помехозащищенности радиоприема после подключения блока возможно путем применения антенны, защищенной от промышленных помех. Во-вторых, без блока помехозащиты при указанных выше условиях дать оценку защищенности различных антенн практически невозможно.

В заключение автор выражает сожаление о том, что уже не может выразить признательности (Дмитрию Борису Терзишвили), обеспечившему испытания блока.

ЛИТЕРАТУРА

1. Эрглис К. Э. Защита электронной аппаратуры и измерительных систем от внешних помех. Приборы и техника эксперимента, 1969, № 4, с. 5—17.
2. Гурвич И. С. Защита электронных вычислительных машин от внешних помех. — М.: Энергия, 1975, с. 143—148.
3. Сидоров И. Н. и др. Малогабаритные трансформаторы и дроссели. — М.: Радио и связь, 1985, с. 120.
4. Григорьев А. Г., Матисен А. И. Защита радиоприема на судах от помех. — Л.: Судостроение, 1973, с. 189—191.

ЭЛЕКТРОННОЕ УСТРОЙСТВО — ЭПОКСИДНЫЙ БРИКЕТ

М. ЕЛЕНИН, г. Москва

При окончательном оформлении различных конструкций радиолюбители нередко испытывают затруднения в изготовлении корпусов, особенно если изготавливаемой конструкции предстоит работать в тяжелых условиях, например под капотом автомобиля. Очень хороший выход из положения предлагает автор публикуемой ниже статьи.

В тех случаях, когда изготавливаемое устройство имеет сравнительно небольшие размеры, можно рекомендовать полную заливку конструкции эпоксидным клеем ЭКФ с наполнителем, в качестве которого проще всего использовать твиль. Готовое изделие в этом случае представляет собой прямоугольный брикет сарочичного цвета из эпоксидной смолы с гладкими гранями.

Для заливки плату с деталями помещают в специально изготовленную сборно-разборную форму. Наилучший материал для формы—листовое органическое стекло. Дно удобно тем, что практически не имеет адгезии (прилипания) к эпоксидному клею и обеспечивает изготовленной отливке чистые глянцевые поверхности.

На рис. 1 показан пример конструкции произвольной на практике формы для заливки небольшого устройства, собранного на печатной плате 1. Детали 2 и 3 формы следует изготовить из листа органического стекла толщиной 6 мм, а деталь 4 мм. Основание 8 может быть дюралюминиевым (толщиной 5...6 мм) или стальным.

Детали 2 и 3 лучше всего отфрезеровать на станке. В этом случае легко обеспечить точность, необходимую для того, чтобы можно было обойтись одним винтом для крепления каждого угла формы. Если детали формы изготавливать вручную, практически невозможно вырезать пазы, обеспечивающие жесткость формы при скреплении деталей угла одним винтом. В этом случае придется использовать по два винта на каждый угол. Для односторонней заливки боковые стенки формы можно склеить.

Чертеж на рис. 1 показывает, что плату под заливку следует изогнуть так, чтобы она удовлетворяла двум требованиям. Во-первых, она должна иметь припуски по длине с обеих сторон, после затвердевания смолы и разборки формы припуски могут быть обрезаны.

Во-вторых, монтаж на плату должен быть "поверхностным", т. е. детали монтируются со стороны печатных дорожек, припаявая выводы прямо к фольге. Нижние отверстия под выводы деталей сверлить не предусматривается. Разумеется, этот вариант монтажа потребует индивидуальной разводки печатных проводников. Таким образом, у готового брикета пять граней—эпоксидные, а шестая представляет собой наружную сторону платы.

Выводы от платы, выполненные гибким проводом в ПВХ изоляции (или лучше в полиэтиленовой), перед заливкой пропускать через отверстия в стен-

ке формы. Можно оформлять выводы в виде контактных площадок на припущенных частях платы для дальнейшего крепления проводов винтами или пайкой.

На печатной плате среди прочих радиоэлементов могут быть регулировочные и подстроечные резисторы, малогабаритные переключатели (тумблеры), светодиодные индикаторы, контактные лампы, винты и другие детали, требующие обеспечения доступа к ним в процессе эксплуатации. В этом случае на соответствующую часть такой детали перед заливкой следует надеть отрезок трубки из поливинилхлорида так, чтобы часть трубки оказалась внутри заливки, а в стенке формы с лицевой стороны будущего изделия просверлить отверстие точно по наружному диаметру трубки. Несколько подобных примеров показано на рис. 2. Если деталь имеет отверстие, через которое смола может попасть внутрь механизма (как, например, у тумблера МТ-1), их необходимо закрыть полоской лигной ленты, трубки из ПВХ или пластилином.

После затвердевания смолы трубку с радиоэлементом снимают, при этом на ее месте остается кольцевое углубление.

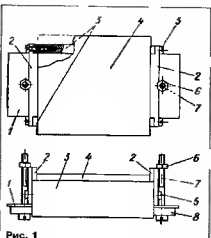


Рис. 1

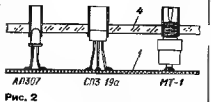


Рис. 2

Если диаметр имеющейся трубки меньше необходимого, ее перед наведением на деталь следует в течение некоторого времени выдерживать в ацетоне или растворителе 746 (либо 747).

Светодиодные цифровые индикаторы можно установить вплотную к одной из стенок формы, перед заливкой их лицевую поверхность целесообразно покрыть тонким слоем эпоксидного клея без наполнителя.

В припусковых частях платы сверлят по отверстию диаметром 3...4 мм под винты 7 (рис. 1) для сборки формы. Эти отверстия можно потом использовать как крепежные для готового изделия. Пластина — основание 8 — служит для того, чтобы при натяжке гаек 6 на происходило изгибание платы (особенно, если она тонкая).

При отверждении эпоксидная смола дает некоторую усадку, в результате чего на поверхности изделия, как правило, в середине той грани, которая была обращена вверх, могут образоваться небольшие углубления — раковины. Уменьшение усадки способствует введению в смолу наполнителя. Лучшим наполнителем считают порошкообразную окись алюминия. Удовлетворительные результаты дает применение хорошо высушенных порошков гипса, мела и других.

Для того чтобы раковина не появилась из граней брикета, в центральной части платы, в относительно свободном от деталей месте, сверлят дренажное отверстие диаметром 1,5...2 мм. Оно даст возможность в дальнейшем заполнить образовавшуюся под платой раковину.

Заливку начинают со сборки формы Винтами 5 (рис. 1) соединяют ее боковые стенки. Тщательно обезжиренную и просушенную установку устанавливают в форму, подложив под нее основание 8, и закрепляют винтами 7 с гайками 6. Если есть радиодетали, выходящие за лицевую поверхность, проверяют соосность отверстий с лицевой пластинке формы.

В отверстия, через которые из формы пропущены выводы, следует ввести с внешней стороны небольшое количество жидкого масла. Дренажное отверстие заглушить отрезком ситки.

В чистой посуде приготавливают необходимое количество эпоксидного клея, добавляя в него наполнитель и тщательно перемешивают. Желательно, чтобы при этом в смесь не попалось слишком много пузырьков воздуха (эта пенка после может доставить много хлопот). Готовый компаунд должен иметь вязкость, очень густой сметаны. Клей ЭКФ с теплом дает после затвердевания непрозрачную заливку приятного о серо-коричневого цвета, а из клея ЭДП получается полупрозрачная заливка красно-коричневого цвета. Для заливки годится также эпоксидная шпатлевка без дополнительного наполнителя.

Заливают полость в форме с небольшим избытком, следя за тем, чтобы компаунд заполнил все ее углы. Если сверху оказалось много пены, ее следует осторожно снять и в форму добавить компаунда без пены.

Закрывая форму пластиной 4 и фиксируют ее нитками или резинковыми кольцами. После этого форму переворачивают лицевой поверхностью вниз, вынимая заливку из дренажного отверстия и прокачивая его. Оставляют форму для затвердевания смолы в теплом месте не менее чем на 10 часов. Остатки компаунда необходимо убрать в морозильную камеру холодильника.

После затвердевания смолу форму

разбирают, зачищают облой, снимают с выступающих радиодеталей трубки. Хранившиеся в холодильнике остатки компаунда дают принять комнатную температуру и через дренажное отверстие в плате заполняют образовавшуюся раковину, после чего изделие оставляют еще на несколько часов для отверждения.

Описанным способом было изготовлено несколько десятков экземпляров различных электронных устройств для автомобиля. За 2...3 года эксплуатации ни одно не вышло из строя.

В зависимости от требований к изготовляемому устройству, от желания и возможностей радиолобителя можно широко варьировать размеры и конструкцию как платы, так и самой заливочной формы. Так, например, плату можно изготовить по традиционной технологии (печатать на одной стороне, детали — на другой) и заливать ее со всех сторон. Принцип заливки можно в два приема — сначала с одной стороны, в а затем — с другой, а можно и в один.

От редакции. Способ заливки изделий эпоксидным компаундом открывает широкое поле для экспериментов и часто дает прекрасные результаты, следует только учитывать технологические свойства исследуемых материалов. В этой связи мы сочли необходимым сделать к статье несколько дополнений.

Не следует считать описанную в статье конструкцию формы образцовой или самой удобной. Она лишь оказалась оптимальной для условий решения поставленной автором задачи. В других условиях и для иных задач эту конструкцию можно и много изменить.

В качестве материала для заливочной формы годится не только органическое стекло, но и винипласт, эбонит, поликарбонат, доролонит, латунь и другие. Необходимо лишь обеспечить зеркальную ровность внутренних поверхностей формы и отсутствие больших зазоров между ее деталями, куда смола может затечь и затруднить разборку после отверждения. Если даже эти смолы к материалу формы оказались слишком большой, перед заливкой рабочей поверхности следует покрыть раствором парафина в бензине или тонким слоем густой смазки.

Необходимо помнить, что при отверждении смолы в толще брикета возникают внутренние усадочные напряжения, причем место их концентрации — вблизи усадочной раковины. Эти напряжения в отдельных случаях могут стать причиной разрушения деталей заливочного устройства, причем риск тем больше, чем толще брикет.

Особое внимание следует уделять тем случаям, когда в заливочном устройстве есть ферритовые магнитопроводы и другие изделия из материалов, изменяющих физические свойства при приложении механических усилий. Такие детали следует монтировать на плату в толстом корпусе или из эластичной резины, глотного поролона или в индивидуальной жесткой коробке.

Замечу, что внутренние напряжения резко уменьшаются при введении в заливочный компаунд специальных добавок — пластификаторов. Но, к сожалению, они практически недоступны для большинства радиолобителей.

В ряде случаев дренажное отверстие приходится сверлить в стенке формы и отверждать заливку в положении этой стеной вверх. Усадочная раковина образуется извернувшись вблизи дренажного отверстия. Эту раковину можно залить после разборки формы избыточным количеством смолы и затем удалить излишки материала напильником.

Если остаток смолы, хранищийся в холодильнике, сильно загустел и потерял текучесть, можно попробовать без разности, добавив некоторое количество ацетона. Допустимо добавлять ацетон и в компаунд для первой заливки, следует только убедиться в том, что он не растворит материала формы.

НА КНИЖНОЙ ПОЛКЕ



БУНЦЕВ Н. И. АОН. Часть I. ПРИНЦИП РАБОТЫ

В книга, изданная в 1993 г., подробно рассмотрены вопросы функционирования системы автоматического определения номера (АОН) на примере популярной в радиолобительской практике конструкции телефона из микропроцессора Z-80. Рассказано о принципе работы АОН, приведена его структурная схема.

Автор книги уделит много места рассказу о работе узлов по принципиальной схеме цифровой части (центральной процессора, постоянной и временной памяти, таймера и порта ввода-вывода) и аналоговой части (узла сброса, задающего генератора, узлов выбора, индикации и сброса, кнопки, определяющей положения трубки, охранного устройства, управления магнитной формы, анализа состояния линии, компаратора, анализа вызова из линии, выдачи сигналов в телефонную линию, формирования звука, разговорной схемы и выжимателя).

Описаны выносные и встроенные блоки питания АОН, приведены их схемы, даны советы по безопасной эксплуатации АОН.

Автор считает, что наиболее перспективным следует считать АОН с использованием специальных БИС. Это снижает энергопотребление, позволяет записывать АОН от телефонной сети, упрощает конструкцию, наладку и ремонт.

Более подробно вопросы сборки, наладки и ремонта АОН рассмотрены во второй части этой книги, вышедшей в 1995 г. Ее авторами, кроме Б. В. и Суходолских П. Б. Здесь рассказывается, с чего следует начинать подготовку к самостоятельной сборке АОН, описывается сам процесс сборки и наладки телефона.

Безусловный интерес представляет та часть книги, где авторы приводят универсальный алгоритм поиска неисправностей, перечень возможных неисправностей и предлагают разработанные ими методы их устранения.

Москва, Центр "СКС",
1993 и 1995

ПОПРАВКА

В "Радио" № 9 за 1995 г. при электронной верстке произошел технический брак. На с. 21 в первой колонке строку 26 сверху следует читать: "... не менее ±20 % дается по такту".

На с. 67 номинал резисторов R1 и R3 (рис. 3) — 39 кОм.

МИКРОСХЕМА K174XA34

Микросхема K174XA34 предназначена для работы в приемном тракте ЧМ радиоприемника. Включенная по типовой схеме с навесными компонентами, она способна реализовать усиление, преобразование, демодуляцию ВЧ сигналов и предварительное усиление напряжения ЗЧ. В паре со стереодекодером K174XA35 образует стереофонический радиопри-

емник УКВ стерео в "Радио", 1994, № 11, с. 15–17.

В настоящее время налажен серийный выпуск микросхемы K174XA34 в 16-выводном пластмассовом корпусе 2103.18-9 (по внешнему виду мало отличающемся от 2104.18-6). Поэтому дальнейший рассказ об этой микросхеме будет соответствовать 16-выводному варианту. Укажем лишь различия в цоколевке между

цый провод, минусовой вывод питания; выв. 4 — плюсовой вывод питания; выв. 5 — подключения контура гетеродина; выв. 6 — подключение блокировочного конденсатора; выв. 7 и 8 — подключение конденсаторов фильтра ПЧ; выв. 9 — подключение индикатора уровня несущей; выв. 10 и 11 — подключение конденсатора фильтра ПЧ; выв. 12 и 13 — вход сигнала РЧ (к симметричной антенне; несимметричную антенну подключают к выв. 12, а выв. 13 используют для подключения входного контура и элементов блокировки); выв. 14 — выход сигнала ЗЧ (к

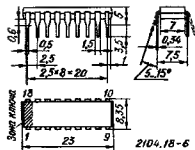


Рис. 1

Рис. 2

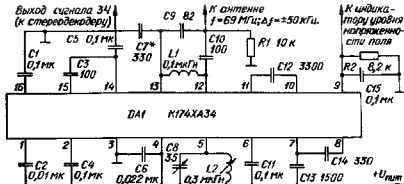
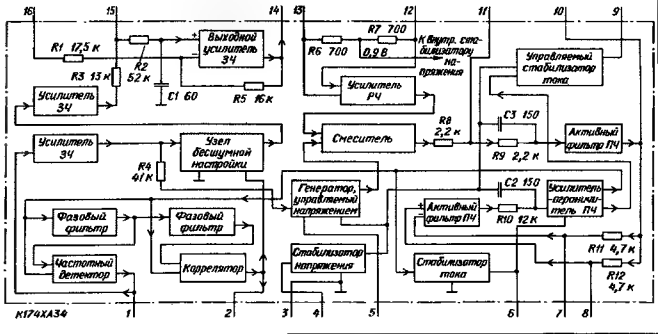


Рис. 3



Первые партии микросхем K174XA34 (зарубежный аналог — TDA7021T) выпускались в пластмассовом корпусе 2104.18-6 (238.18-3) с восемью выводами (рис. 1). Масса прибора — не более 1,5 г. С одними из первых в популярной литературе публикации о радиоприемнике на этой микросхеме можно познакомиться в статьях Н. Герасимова "Двухдиапазонный УКВ приемник" в "Радио", 1994, № 8, с. 6–8 и "Двухдиапа-

зонный УКВ стерео" в "Радио", 1994, № 11, с. 15–17.

Упрощенная структурная схема прибора показана на рис. 2, а типовая схема включения — на рис. 3. Цоколевка микросхемы: выв. 1 и 2 — подключение блокировочных конденсаторов; выв. 3 — об-

соединение конденсатора обратной связи усилителя ЗЧ; выв. 16 — подключение блокировочного конденсатора усилителя ЗЧ.

(Окончание следует)

Материал подготовил
С. ГВОЗДЕВ

г. Саранск, Мордовия

ЭТОТ СПОСОБ СВЯЗИ



УЖЕ НЕ ТРЕБУЕТСЯ НАШИМ КЛИЕНТАМ.

Успех в бизнесе - это власть над обстоятельствами.

Эту власть могут дать Вам только **современные средства связи.**

По-настоящему Современные Средства Связи можем дать Вам только мы

Все мыслимые и немыслимые средства связи те, о которых Вам рассказывали знакомые, те, о которых Вы читали в газетах, те, которые Вы считали, существуют только в Вашем воображении - всё это великолепие Вы можете уже сегодня приобрести в фирме **ЮНИКОМ**

RF

STANDARD

KENWOOD

YAESU

WIRCOM

PolyPhaser



Москва, АО «Радиосвязь» (095) 9466831
 Санкт-Петербург, ЗАО «Радиолинк» (812) 1106577
 Барнаул, АО «Лес» (385 2) 778832
 Белгород, АО «Деловая телекоммуникация» (072-22) 74845
 Воронеж, м. «Зоран» (073) 2-560072 736810, 736812 fax
 Владимир, НПП «Эком» (092-22) 9 1859
 Елабуга, ТОО «Алекс» (843-57) 34140
 Липецк, Юником-Дельта (074) 2-435030
 Новороссийск, (861 34) 30416
 Орск, ПКФ «Диама» (353 2) 726622
 Ставрополь, НПО РКС (865) 2-248452
 Самара, АО «МТТ» (846) 2-582706
 Тюмень, ПКФ «Спейсер» (345) 2-261736, fax 224524

ЮНИКОМ

Тел./факс : (095) 938 89 94

Телефон отдела рекламы 208-99-45, телефон/факс 208-77-13

Техника молодежи

КНИГИ

Иллюстрированная ЭНЦИКЛОПЕДИЯ ТЕХНИКИ

Вышли из печати и продаются.

- Серия 1. Стрелковое оружие:
Пистолеты и револьверы;
Винтовки и автоматы;
- Серия 5. Флот:
Броненосцы типа Полтава;
- Серия 7. История войн, сражений:
боевого искусства:
Армия Петра Великого;
Униформа Красной
Армии и Вермахта;
Оружие. Коллекция Петра I

условия подписки и перечень
выпускаемых изданий публикуются
в каждом номере журнала
Техника — молодежи

НПО "ЭЛЕКТРОНИКА" И INTERNATIONAL RECTIFIER

ОФИС КОМПАНИИ IR:
Канзас Стрит, Эль Сегундо,
Калифорния 90245-0914.
Факс (310) 322-3331

НПО "ЭЛЕКТРОНИКА" АООТ "ВЭПП" :
Ленинский пр-кт, 119а
Воронеж, Р.Ф.
Телетайп 153154 Воронеж Тайм
Телефон: 22-29-52

Интернейшл Ректифайр (IR) и НПО "Электроника" заявляют о сотрудничестве в развитии и внедрении применения продукции мощных полупроводниковых приборов на быстро растущем рынке силовой электроники.

Сотрудничество предполагается осуществлять во многих областях производства и сбыта приборов силовой электроники, но не является эксклюзивным, в частности, в следующих направлениях: силовой автоэлектронике, источниках питания, сверхмощных ключей, телекоммуникаций, электроприводов, источников бесперебойного питания.

Запатентованные фирмой мощные МОП ИТ с гексагональной топологией и БТИЗы сделали фирму "IR" мировым лидером по полевым транзисторам и транзисторам с изолированным затвором. Технологические достижения компании обеспечивают применение продукции с высокой энергетической эффективностью электронного и электрического оборудования в автомобилях, бытовой электронике, периферийной технике, ЭВМ, освещении, телекоммуникациях и управления аппаратами в космосе. Фирма IR является одной из главных мировых поставщиков мощных полупроводниковых приборов.

Фирма "Электроника" широко известна, как один из ведущих изготовителей приборов микроэлектроники в России, в частности, основные направления: силовая микроэлектроника, однокристалльные микропроцессоры, СВЧ-транзисторы.

В результате политический/экономической конверсии "Электроника" переориентирована и сосредоточена на вертикальной интеграции производства. Используя новейшие методы сборки, "Электроника" расширяет номенклатуру своей продукции комплектующими и изделиями силовой электроники, автоэлектроники, телевидения и бытовой электроники, продукцией радио- и телекоммуникаций, отвечающими мировым стандартам качества.

Транзистор (совместное производство завода "Транзистор" НПО "Интеграл" г. Минска и НПО "Электроника" г. Воронежа) будет импортировать и распространять продукцию фирмы "IR" через их представительства в г.г. Минск и Воронеж.

Центр исследования и развития систем силовой электроники (СКТБ ЭС НПО "Электроника") будет работать с техническим управлением фирмы "IR" по новым конструкциям для совершенствования применения, упрощения схем и уменьшения стоимости в широкой области различных применений и для помощи потребителям в решении технических вопросов.

International Rectifier в Р.Ф.
ул. Успенская, 24/2
125315, Москва, Россия
Тел., факс: 231-96-46

НПО "ЭЛЕКТРОНИКА"
Тел., факс: 073-223-3823

intel®

Фирма "ЭФО" предлагает

ALTERA

ДОСКА ОБЪЯВЛЕНИЙ

Современную элементную базу

Микросхемы самых популярных в России семейств: **MCS-51, MCS-251, MCS-86, Intel186/188, Intel386EX, Flash memory, MAX5000, MAX7000, MAX9000, FLEX8000, Flashlogic, Classic.**

Весь спектр процессоров

- ♦ Intel486: -5X-25, -DX2-66, -DX4-100, -OverDrive.
- ♦ Pentium: -75, -90, -100, -120, -133, -OverDrive.

Полноценная техническая поддержка

Отечественные и импортные программаторы, внутрисхемные эмуляторы фирмы **NOHAU**, отладочные платы, одноплатные контроллеры, САПРы для проектирования на базе микросхем программируемой логики, отладчики и компиляторы фирм **Franklin/Kell** и **BSO/Taaking**.

Техническую документацию

Каталоги, руководства пользователей, брошюры с характеристиками микросхем фирм **Intel** и **Altera**, информационно-обучающие программы, каталоги на CD-ROM.

Консультации и обучение

Консультации по оптимальному выбору элементной базы по критерию цена/функциональные возможности. Однодневные тематические семинары и курсы повышения квалификации.

Проектирование и изготовление специализированных СБИС

Центр технической поддержки продукции фирмы **Altera**, созданный совместно с **Санкт-Петербургским Государственным Техническим Университетом**, осуществляет на базе СБИС программируемой логики фирмы **Altera** проектирование сложных цифровых устройств и их реализацию в виде единой СБИС.

- ♦ Сложность цифровых устройств - до 20000 эквивалентных логических вентилей, что соответствует использованию до 7 корпусов БМК 1515XM1.
- ♦ Быстродействие - до 180 МГц.
- ♦ Время проектирования и изготовления - от 1 до 6 месяцев.
- ♦ Стоимость проекта - в 10...20 раз ниже, чем для эквивалентного по сложности проекта на БМК 1515XM1.
- ♦ Минимальная партия СБИС: возможно *штучное изготовление*.
- ♦ Внесение изменений в проект допускается на любой стадии проектирования и изготовления СБИС.

Фирма "ЭФО"

194021 г.С.Петербург, ул. Политехническая, д.21

Тел. (812) 247-89-40, 247-81-58, 327-88-54 Факс (812) 247-88-40

Представитель в Москве: (095) 915-67-34

 ПЛАТАН

РОССИЙСКИЕ
И ЗАРУБЕЖНЫЕ
ЭЛЕКТРОННЫЕ
КОМПОНЕНТЫ

*Цены
снижены
на 20%*

ОТ МИКРОСХЕМ ДО РЕЗИСТОРОВ

**ЗАКАЖИТЕ
БЕСПЛАТНЫЙ
КАТАЛОГ!**



Москва, ул. Гиляровского, 39
(ст. метро "Проспект Мира")
тел.: (095) 284-36-69, 284-56-78
факс: 971-31-45
Почта: 129110 Москва, а/я 996



НАУЧНО-ТЕХНИЧЕСКИЙ ЦЕНТР "ЭЛЕКТРОН-СЕРВИС"



ЭЛЕКТРОННОЕ ОБОРУДОВАНИЕ ВЕДУЩИХ ЗАРУБЕЖНЫХ ПРОИЗВОДИТЕЛЕЙ

ЭЛЕКТРОННЫЕ КОМПОНЕНТЫ

Промэлектроника

Датчики и сенсоры
Дисплеи и клавиатуры
Источники питания
AC/DC, DC/AC, DC/DC
1W - 10kW

Изделия особой надежности

Электронные компоненты
промышленного,
авиационно-технического
и морского назначения

ИЗМЕРИТЕЛЬНАЯ ТЕХНИКА

Fluke, Wavetek, Tektronix

Мультиметры
Тестеры
Анализаторы
Блоки питания
Осциллографы
Генераторы
Регистраторы
Счетчики

ОБОРУДОВАНИЕ SIEMENS, STRECKFUSS ДЛЯ ПРОИЗВОДСТВА ПЕЧАТНЫХ ПЛАТ - ОТ ПРОЕКТА ДО УПАКОВКИ

Печать и травление плат
Флюсы, припой, химикаты

Формовка выводов компонентов
Pick-and-place

Пайка волной
IR-пайка

CooperTools

Мировой лидер по производству электро-монтажного
и паяльного оборудования

ПРЕДЛАГАЕТ

самую современную технологию и широкий спектр профессионального инструмента
следующих известных серий:

WELLER — паяльные и отпаивательные станции, ремонтные системы, низковольтные, сетевые и газовые паяльники с эффективным контролем температуры и уникальным диапазоном сменных жал, насадок и приспособлений;

XCELITE и EREM — прецизионный инструмент для любых монтажных операций;

WIRE-WRAP — оборудование для намоточного монтажа.

НТЦ "Электрон-Сервис" — эксклюзивный дистрибутор CooperTools в России и СНГ — реализует всю гамму изделий по ценам каталога фирмы за рубль со склада в Москве, обеспечивает гарантию и послегарантийное обслуживание, предоставляет 10% — юю скидку для оптовых покупателей. Кроме того, предлагаем весь ассортимент продукции фирмы



MULTICORE — ведущего производителя припоев, флюсов, специальных химикатов для всех видов пайки

Впечатляющее повышение производительности труда и практически полное исчезновение брака в Вашей работе окупает затраты за 1-2 месяца. Совсем недорого — за удовольствие работать превосходным инструментом!

НТЦ "ЭЛЕКТРОН-СЕРВИС" — 105037 Москва, 1-я Парковая 12;
факс: 367-1818; тел: 367-1001, 163-0380, 163-0388, 163-1249.

Научно-технический центр
"Электрон-Сервис"

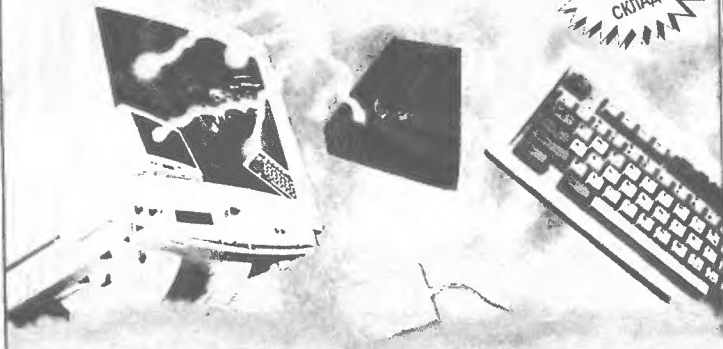


- ✓ Профессиональные видеостудии
- ✓ Системы цифрового и линейного монтажа
- ✓ Станции компьютерной графики
- ✓ Видеолаты ввода-вывода (ЕМ РС)

- ✓ Низкие цены
- ➔ Консультации и обучение
в студиях фирмы
- ✓ Гарантийное и
постгарантийное
обслуживание



НЕМЕДЛЕННО
СО
СКЛАДА!



тел.: (095) 556-21-51, 556-20-24,
556-24-65, 556-24-63.

факс: (095) 556-21-51,
556-24-62.

Наш адрес: 140160, Россия, г. Жуковский Московской обл., ул. Амет-Хан-Султана д. 5.